

Научный журнал
«Вестник Уральского государственного
университета путей сообщения»
№ 2 (26), 2015 год

**Главный редактор,
научный редактор**
Василий Михайлович Сай

Литературный и выпускающий редактор
Людмила Станиславовна Барышникова

Техническое редактирование и верстка
Светлана Николаевна Наймушина
Дизайн обложки
Ольга Петровна Игнатьева

Учредитель и издатель:
Уральский государственный
университет путей сообщения
(УрГУПС)

Адрес для корреспонденции:
620034, Екатеринбург,
ул. Колмогорова, 66, УрГУПС,
редакция журнала
«Вестник УрГУПС»

Телефон редакции: (342) 221-25-60.
Веб-сайт: www.vestnik.usurt.ru;
e-mail: vestnik@usurt.ru.

Журнал издается по решению
ученого совета университета
©УрГУПС

Свидетельство о регистрации
средства массовой информации
Роскомнадзора ПИ № ФС77–38188
от 30 ноября 2009 г.

Подписной индекс журнала
в общероссийском
каталоге «Роспечать» — 70070

Отпечатано в издательстве
Уральского государственного
университета путей сообщения,
620034, Екатеринбург,
ул. Колмогорова, 66.

Подписано в печать 3.07.2015.

Тираж 300. 1-й з-д: 1–80.
Формат 70×100/16.
Заказ 105

Scientific journal «Herald of the
Ural State University
of Railway Transport»
№ 2 (26), 2015

**Editor-in-chief,
Science editor**
Vasily M. Say

Script and copy editor
Lyudmila S. Baryshnikova

Technical editing and make-up
Svetlana N. Naymushina

Cover design
Olga P. Ignatjeva

Founder and publisher:
The Ural State University
of Railway Transport
(USURT)

Correspondence address:
«Herald of USURT» editorial office
The Ural State University of
Railway Transport»
66 Kolmogorov Street,
620034, Ekaterinburg,

Telephone: +7 (342) 221-25-60.
Web-site: www.vestnik.usurt.ru;
e-mail: vestnik@usurt.ru.

The journal is published by the decision of
University Academic Board
©USURT

Certificate of registration of mass media
by the Federal Service for Supervision
in the sphere of communications,
information technology and mass communications
(Roskomnadzor) PI № FS77–38188
of November 30, 2009.

Subscription reference number of the issue
in the All Russia Catalogue «Rospechat» — 70070

Printed in the Publishing house
of the Ural State University of
Railway Transport
66 Kolmogorov Street,
620034, Ekaterinburg.

Passed for printing 3.07.2015.

Circulation 300. 1-й з-д: 1–80.
Format 70×100/16.
Order 105

МЕЖДУНАРОДНЫЙ РЕДАКЦИОННЫЙ СОВЕТ

Кейт Бурнхам, профессор, Университет г. Ковентри, факультет машиностроения и вычислительной техники, Великобритания

Петер Копачек, профессор, Венский технологический университет, Венский институт транспорта и робототехники, интеллектуальный транспорт и робототехника, Вена, Австрия

Владимир Цыганов, д-р техн. наук, профессор, Институт проблем управления Российской академии наук, Москва, Россия

Сергей Герман-Галкин, д-р техн. наук, профессор, Морская академия, Институт судовой автоматики и электротехники, Щецин, Польша

Клаус Беккер, профессор, Университет прикладных наук г. Кельна, Институт автомобильной техники, лаборатория NVH, Германия

Василий Сай, д-р техн. наук, профессор, Уральский государственный университет путей сообщения, Екатеринбург, Россия

РЕДКОЛЛЕГИЯ

Вовк Алексей Александрович, д-р экон. наук, профессор, МГУПС, Москва

Воскресенская Тамара Петровна, д-р техн. наук, профессор, СибГИУ, Новокузнецк

Воробьев Александр Алексеевич, д-р техн. наук, профессор, МГУПС, Москва

Ефимов Александр Васильевич, канд. техн. наук, профессор, УрГУПС, Екатеринбург

Корнилов Сергей Николаевич, д-р техн. наук, профессор, МГТУ, Магнитогорск

Нестеров Валерий Леонидович, д-р техн. наук, профессор, УрГУПС, Екатеринбург

Сапожников Валерий Владимирович, д-р техн. наук, профессор, С.-ПГУПС, Санкт-Петербург

Сизый Сергей Викторович, д-р техн. наук, профессор, УрФУ, Екатеринбург

Щурин Константин Владимирович, д-р техн. наук, профессор, ОГУ, Оренбург

Тимофеева Галина Адольфовна, д-р физ.-мат. наук, профессор, УрГУПС, Екатеринбург

INTERNATIONAL EDITORIAL BOARD

Keith Burnham, professor, Coventry University, Faculty of Engineering and Computing, Great Britain

Peter Kopachek, professor, Vienna University of Technology, Vienna Institute of Transportation and Robotics, Intelligent Transportation and Robotics, Vienna, Austria

Vladimir Tsyganov, DSc, professor, Russian Academy of Sciences, Institute of Control Sciences, Moscow, Russia

Sergey German-Galkin, DSc, professor Maritime Academy, Institute of naval automation and electric engineering, Szczecin, Poland

Klaus Becker, professor, Cologne University of Applied Sciences, Institute of Automotive Engineering, NVH Laboratory, Germany

Vasily Say, DSc, professor, The Ural State University of Railway Transport, Ekaterinburg, Russia

EDITORIAL BOARD

Vovk Alexei Aleksandrovich, DSc, professor, Moscow State University of Railway Transport, Moscow

Voskresenskaya Tamara Petrovna, DSc, professor, Siberian State Industrial University, Novokuznetsk

Vorobjev Alexander Alexeevich, DSc, professor, Moscow State University of Railway Transport, Moscow

Efimov Alexander Vasilievich, DSc, professor, The Ural State University of Railway Transport, Ekaterinburg

Kornilov Sergey Nikolaevich, DSc, professor, Magnitogorsk State Technical University, Magnitogorsk

Nesterov Valery Leonidovich, DSc, professor, The Ural State University of Railway Transport, Ekaterinburg

Sapozhnikov Valery Vladimirovich, DSc, professor, Saint-Petersburg State University of Railway Transport, Saint-Petersburg

Sizyi Sergey Viktorovich, D. Sc. in engineering, professor, Ural Federal University, Ekaterinburg

Shchurin Konstantin Vladimirovich, DSc, professor, Orenburg State University, Orenburg

Timofeeva Galina Adolfovna, DSc, professor, The Ural State University of Railway Transport, Ekaterinburg

Содержание

Математические модели технологических процессов

- 4 Н. П. Чуев. Об ортогональном разложении пространства вектор-функций в теории ньютоновского потенциала
- 13 А. Л. Казаков, Л. Ф. Спевак. О подходах к численному решению нелинейного уравнения теплопроводности

Управление в технических системах

- 21 Х. Т. Туранов, А. А. Гордиенко. Математические модели скорости скатывания вагона на втором скоростном участке сортировочной горки при воздействии встречного ветра малой величины
- 36 М. А. Оськина. Управление светофорами по волоконно-оптическим линиям связи
- 41 Р. Я. Сулейманов. Очистка гололеда с проводов контактной сети индукционным способом

Организация образовательного процесса

- 48 М. Н. Оськина. Оценка результатов обучения по образовательным программам высшего образования (ФГОС) в условиях неопределенности
- 57 С. В. Балакин. Математическое и лингвистическое моделирование концептуальных основ синтетической деривации
- 71 Н. А. Линькова-Даниелс. Технология организации учебного процесса по физическому воспитанию студентов оздоровительного отделения

Аспирантская тетрадь

- 77 Аль-Саиди Сабах Хасан Джасим, Форгани Маджид Али. Регрессионная модель потребления природного газа в зависимости от населения и температуры в регионе Миссана (Аль-Амара)
- 83 И. Д. Громов, Т. К. Чернушевич. Оценка рисков в деятельности сетевых организационных структур
- 90 Аль-Фарттуси Сами Атия Саид, Форгани Маджид Али. Регрессионная модель для соотношения возраста и уровня холестерина с кровяным давлением

Contents

Mathematic models of technological processes

- 4 N. P. Chuyev. Orthogonal decomposition of vector functions space in newtonian potential theory
- 13 A. L. Kazakov, L. F. Spevak. Approaches to numerical solution of nonlinear heat equations

Control in engineering systems

- 21 Kh. T. Turanov, A. A. Gordienko. Mathematical models of car speed rolling down on second high-speed section of a hump when exposed to light headwind
- 36 M. A. Oskina. Traffic light control via fiber optic communication lines
- 41 R. Ya. Suleymanov. De-icing of contact wires using induction method

Study process organization

- 48 M. N. Oskina. Assessment of learning outcomes in educational programs of higher education (fgos) under conditions of uncertainty
- 57 S. V. Balakin. Mathematical and linguistic modeling of conceptual framework of synthetic derivation
- 71 N. A. Linkova-Daniels. A method for organizing physical education learning process at health departments

Research of young scientists

- 77 Sabah Alsaidi, Majid Forghani. Natural Gas Consumption Regression Model for The Relationship With Population and Temperature in Missan Region (Al Amara)
- 83 I. D. Gromov, T. K. Chernushevich. Risk assessment in activities of network organizational structures
- 90 Sami Atiyah Sayyid Al-Farttoosi, Majid Forghani. A Regression Model for The Relationship Between Age and Blood Cholesterol on Blood Pressure

Математические модели технологических процессов

УДК 517.98 + 533.1 + 517.958

Н.П. Чув

Об ортогональном разложении пространства вектор-функций в теории ньютоновского потенциала

UDK 517.98 + 533.1 + 517.958

N.P. Chuyev

Orthogonal decomposition of vector functions space in Newtonian potential theory

Аннотация

В данной статье исследуется возможность применения идей и методов функционального анализа к задачам, возникающим при математическом моделировании трехмерных течений самогравитирующего газа, в частности, определения дифференциальных связей функций $\vec{u}(\vec{x}, t)$ – скорости частиц газа, $\rho(\vec{x}, t)$ – плотности газа и $\vec{F}(\vec{x}, t) = \text{grad } \Phi(\vec{x}, t)$, где $\Phi(\vec{x}, t)$ – ньютоновский потенциал, создаваемый массой газа, сосредоточенной в переменной области $\Omega_t(\vec{x})$ со свободной границей этой области Γ_t .

Указанные функции являются основными величинами системы дифференциальных уравнений газовой динамики, описывающими движение газа. В статье используется метод разложения гильбертова пространства H на два ортогональных подпространства G и F . На основании разложения построено дифференциальное уравнение, связывающее между собой \vec{F} , \vec{u} и ρ .

Ключевые слова: система уравнений газовой динамики; ньютоновский потенциал; уравнение Пуассона; гильбертово пространство; разложение пространства на прямую сумму; дифференциальные операторы.

Summary

This article explores the possibility of applying the ideas and methods of functional analysis to problems arising in mathematical modeling of three-dimensional self-gravitating gas flows, in particular, to determination of differential relations of functions $\vec{u}(\vec{x}, t)$ – speed of gas particles, $\rho(\vec{x}, t)$ – gas density, and $\vec{F}(\vec{x}, t) = \text{grad } \Phi(\vec{x}, t)$, where $\Phi(\vec{x}, t)$ is a Newtonian potential created by the mass of the gas concentrated in variable domain $\Omega_t(\vec{x})$ with free area boundary Γ_t .

These functions are the basic values of a gas dynamics differential equations system, describing motion of the gas. The article employs the method of decomposition of Hilbert space H into two orthogonal subspaces G and F . Based on decomposition, the differential equation is built, connecting \vec{F} , \vec{u} and ρ with each other.

Keywords: gas dynamics equations system; Newtonian potential; Poisson equation; Hilbert space; decomposition of space into direct sum; differential operators.

Николай Павлович Чув, канд. физ.-мат. наук, доцент; кафедра «Высшая и прикладная математика» Уральского государственного университета путей сообщения; Екатеринбург, Россия. E-mail: n_chuev@mail.ru.

Nikolay Pavlovich Chuyev, PhD in Physico-Mathematical Science, Associate Professor; Higher and Applied Mathematics Department, Ural State University of Railway Transport; Ekaterinburg, Russia. E-mail: n_chuev@mail.ru.

Вспомогательные предложения

В данной работе рассматриваются вещественные вектор-функции точки $\vec{x} = \{x, y, z\}$ вещественного евклидова пространства E_3 и зависящие от времени t . Пусть Q_t – область пространства E_4 ; $Q_t = \Omega_t \times (0, T)$. Граница Γ_t области $\Omega_t \subset E_3$ при $t \in [0, T]$ принадлежит C^∞ . Данные функции исследуются в гильбертовом пространстве H вектор-функций $\vec{U}(\vec{x}, t) = \{U(\vec{x}, t); V(\vec{x}, t); W(\vec{x}, t)\}$, заданных в области Ω_t компоненты которых интегрируемы с квадратом [1], а область Ω_t может совпадать со всем пространством E_3 . Область Ω_t является выпуклой односвязной областью. Скалярное произведение в H определим формулой

$$(\vec{U}, \vec{V}) = \iiint_{\Omega_t} \vec{U} \cdot \vec{V} d\tau = \\ = \iiint_{\Omega_t} (U_1 U_2 + V_1 V_2 + W_1 W_2) d\tau,$$

где
$$\vec{U} = U_1 \vec{i} + V_1 \vec{j} + W_1 \vec{k}; \\ \vec{V} = U_2 \vec{i} + V_2 \vec{j} + W_2 \vec{k}, d\tau = dx dy dz.$$

В дальнейшем будем использовать понятие «финитность». Дадим определение финитности в Ω_t .

Определение. Функция $f(\vec{x}, t)$ называется финитной в Ω_t , если она равна нулю вне некоторой строго внутренней ограниченной подобласти Ω_t . Вектор-функция $\vec{u}(\vec{x}, t)$ называется финитной в Ω_t , если все ее компоненты являются функциями финитными в Ω_t .

Рассматриваемые вектор-функции гильбертова пространства H , заданные в области Q_t , являются гладкими функциями четырех переменных (x, y, z, t) . Данные функции могут быть как свободными векторами пространства H , так и связанными между собой динамическими и физическими свойствами сплошной среды.

Так, например, множество функций $\{\vec{u}(\vec{x}, t), \vec{\rho}(\vec{x}, t), \vec{F}(\vec{x}, t)\}$ и их суперпозиции $\vec{f}(\vec{x}, t) = \vec{f}(\vec{u}, \vec{\rho}, \vec{F})$, принадлежащие H , которые являются решениями системы газовой динамики [2], описывающей

течения изэнтропического самогравитирующего газа

$$\begin{cases} \frac{d\vec{u}}{dt} = -\frac{1}{\rho} \nabla p + \vec{F} \\ \frac{d\rho}{dt} = -\text{div} \rho \vec{u} \end{cases}, \quad (2)$$

где $\vec{u}(\vec{x}, t) = \{u(\vec{x}, t), v(\vec{x}, t), w(\vec{x}, t)\}$ – вектор скорости частиц газа; $\rho(\vec{x}, t)$ – плотность; $p(\vec{x}, t)$ – давление; div – оператор дивергенции.

Для системы (2) можно поставить задачу Коши с дополнительным условием, что функция плотности $\rho = \rho(\vec{x}, t)$ на границе Γ_t будет равна нулю, т.е. $\rho|_{\Gamma_t} = 0$.

Сила $\vec{F}(\vec{x}, t)$ с компонентами $\{F_1, F_2, F_3\}$ – сила гравитации, которая выражается через ньютоновский потенциал $\Phi(\vec{x}, t)$

$$\vec{F} = \nabla \Phi, \quad (3)$$

где ∇ – оператор градиента функции Φ , удовлетворяющей уравнению Пуассона

$$\Delta \Phi = -4\pi G \rho, \quad (4)$$

где Δ – оператор Лапласа; G – гравитационная постоянная.

Гравитационный потенциал $\Phi(\vec{x}, t)$ равен

$$\Phi(x, t) = G \iiint_{\Omega} \frac{\rho(\vec{x}', t)}{|\vec{x} - \vec{x}'|} d\vec{x}', \quad (5)$$

где $|\vec{x} - \vec{x}'|$ – расстояние между двумя точками переменной области Ω_t .

Функция $\Phi(\vec{x}, t)$, определенная формулой (5), определена в E_4 , в безграничной области e_3 , заключающей в себе конечный объем Ω_t массы газа, является решением уравнения Пуассона (4) внутри объема. В остальной части пространства, где $\rho(\vec{x}, t) = 0$ Φ представляет решение уравнения Лапласа

$$\Delta \Phi = 0, \quad (6)$$

причем $\Phi|_{\infty} = O\left(\frac{1}{r}\right)$.

В теории ньютоновского потенциала [3, 4] доказывается, что ньютоновский потенциал (5) дает единственное решение уравнения (4), обращающееся на бесконечности в нуль. Подчеркнем, что решение (5) уравнения (4) удовлетворяет условию

$$\Phi(\vec{x}, t)|_{r \rightarrow \infty} = 0. \quad (7)$$

Сделаем еще одно заключение об области Ω_t с E_3 . Главная особенность рассматриваемой в работе области состоит в том, что область $\Omega_t(\vec{x})$ заранее неизвестна и ее граница Γ_t является свободной. Если искать уравнение свободной границы в виде $f(\vec{x}, t) = 0$, то будет выполняться условие

$$\frac{df}{dt} = f_t + \nabla f \cdot \vec{u} = 0. \quad (8)$$

Это замечание об области $\Omega_t(\vec{x})$ как о переменной области со свободной границей Γ_t будет использоваться в дальнейшем.

Пространство H вектор-функций и его разложение на ортогональные подпространства

В математической физике широко используется важнейшая теорема, известная в векторном анализе как теорема векторного анализа Гельмгольца [5] об ортогональном разложении (расщеплении) гладкого векторного поля $\vec{u}(\vec{x}, t)$ в области E_3 на два: потенциальное $\vec{u}(\vec{x}, t) \in G$ и соленоидальное $\vec{u}_2(\vec{x}, t) \in F$.

Основополагающей в этом направлении является работа Г. Вейля [6], опубликованная в середине прошлого столетия. Для решения проблем динамики жидкости метод ортогональных проекций развивался выдающимися учеными: С.Л. Соболевым [7], О.А. Ладыженской [8], Э.Б. Быховским, Н.В. Смирновым [9] и др.

Имеются разные способы определения ортогональных подпространств [6–9]. В классическом векторном анализе [5] доказано, что всякую гладкую

вектор-функцию в трехмерном пространстве можно представить в виде

$$\begin{aligned} \vec{u}(\vec{x}, t) &= \frac{1}{4\pi} \operatorname{rot} \int_{E_3} \frac{\operatorname{rot}(\vec{u}(\vec{x}', t))}{|\vec{x} - \vec{x}'|} d\tau - \\ &- \frac{1}{4\pi} \operatorname{grad} \int_{E_3} \frac{\operatorname{div}(\vec{u}(\vec{x}', t))}{|\vec{x} - \vec{x}'|} d\tau \equiv \\ &\equiv \operatorname{rot} \vec{A} + \operatorname{grad} p \end{aligned} \quad (9)$$

при фиксированном значении $t \geq 0$ и при условии, что под знаками rot и grad стоят гладкий вектор \vec{A} , функция p , убывающие на бесконечности как r^{-2} с производными, убывающими как r^{-3} , при $r \rightarrow \infty$.

Формула (9) дает разложение для функции $\vec{u}(\vec{x}, t)$ обращающейся в нуль на бесконечности и гладких финитных функций $\operatorname{rot} \vec{u}(\vec{x}, t)$ и $\operatorname{div} \vec{u}(\vec{x}, t)$, определенных в некоторой конечной области.

Однако в общем случае, при рассмотрении конечной области возникают определенные трудности, и классическое разложение неоднозначно: можно добавить градиент любой гармонической функции – если $\nabla^2 \Phi = 0$, то $\nabla \Phi$ одновременно и соленоидально, и потенциально. Для однозначности разложения нужно использовать условие на Γ_t (или на бесконечности).

Приведем пример разложения в виде (9), когда задана конечная область $\Omega_t(\vec{x})$ с условием на границе Γ_t

$$\operatorname{rot} \vec{u} \cdot \vec{n} = 0, \quad (10)$$

где \vec{n} – внешняя нормаль.

Легко проверить, что

$$\operatorname{div} \vec{u} = \Delta p = -\Delta \frac{1}{4\pi} \iiint_{\Omega_t} \frac{\operatorname{div} \vec{u}}{|\vec{x} - \vec{x}'|} d\tau = \operatorname{div} \vec{u},$$

$$\begin{aligned} \operatorname{rot} \vec{u} &= \operatorname{rot} \left(\operatorname{rot} \frac{1}{4\pi} \iiint_{\Omega_t} \frac{\operatorname{rot} \vec{u}}{|\vec{x} - \vec{x}'|} d\tau \right) = \\ &= \operatorname{grad} \left(\operatorname{div} \frac{1}{4\pi} \iiint_{\Omega_t} \frac{\operatorname{rot} \vec{u}}{|\vec{x} - \vec{x}'|} d\tau \right) - \\ &- \Delta \frac{1}{4\pi} \iiint_{\Omega_t} \frac{\operatorname{rot} \vec{u}}{|\vec{x} - \vec{x}'|} d\tau = \operatorname{rot} \vec{u}. \end{aligned}$$

В последнем равенстве было учтено, что

$$\begin{aligned} \operatorname{div} \frac{1}{4\pi} \iiint_{\Omega_i} \frac{\operatorname{rot} \vec{u}}{|\vec{x} - \vec{x}'|} d\tau &= \\ &= \frac{1}{4\pi} \iiint_{\Omega_i} \operatorname{rot} \vec{u} \cdot \operatorname{grad} \frac{1}{|\vec{x} - \vec{x}'|} d\tau = \\ &= -\frac{1}{4\pi} \iiint_{\Omega_i} \operatorname{div}_{\vec{x}'} \left(\frac{\operatorname{rot} \vec{u}}{|\vec{x} - \vec{x}'|} \right) d\tau = \\ &= -\frac{1}{4\pi} \iint_{\Omega_i} \frac{\operatorname{rot} \vec{u} \cdot \vec{n}}{|\vec{x} - \vec{x}'|} d\sigma = 0. \end{aligned}$$

Изменение знака обусловлено заменой дифференцирования $\operatorname{div}_{\vec{x}}$ по \vec{x} дифференцированием по \vec{x}' .

Векторное поле $\vec{u}(\vec{x}, t)$ по формуле (9) разложено на соленоидальную и потенциальную составляющие, однако заметим, что когда функция $\vec{u}(\vec{x}, t)$ определяется с помощью функций $\operatorname{div} \vec{u}$, то этом случае в равенстве (9) должна быть добавлена гармоническая функция $h = h(\vec{x}, t)$, для которой может быть поставлена задача Неймана.

Таким образом,

$$\vec{u}(\vec{x}, t) = \operatorname{rot} \vec{A} + \operatorname{grad} p + \nabla h,$$

где $\Delta h = 0$ для $\vec{x} \in \Omega_i$ и

$$\begin{aligned} \left. \frac{\partial h}{\partial n} \right|_{\Gamma_i} &= \vec{u} \cdot \vec{n} - \operatorname{rot} \vec{A} \cdot \vec{n} - \left. \frac{\partial p}{\partial n} \right|_{\Gamma_i} = \\ &= g(\vec{x}, t) - \operatorname{rot} \vec{A} \cdot \vec{n} - \left. \frac{\partial p}{\partial n} \right|_{\Gamma_i}, \end{aligned}$$

при этом должно выполняться равенство

$$\iint_{\Gamma_i} \frac{\partial h}{\partial n} d\sigma = \iiint_{\Omega_i} \Delta h d\tau = 0$$

или

$$\begin{aligned} \iint_{\Gamma_i} \frac{\partial h}{\partial n} d\sigma &= \iint_{\Gamma_i} \left(\vec{u} \cdot \vec{n} - \operatorname{rot} \vec{A} \cdot \vec{n} - \frac{\partial p}{\partial n} \right) d\sigma = \\ &= \iiint_{\Omega_i} (\operatorname{div} \vec{u} - \Delta p) d\tau = 0. \end{aligned}$$

Условие $\operatorname{rot} \vec{u} \cdot \vec{n}$ на Γ_i означает, что вихревые линии частиц газа являются кривыми, расположенными на поверхности Γ_i .

Рассмотрим разложение гильбертова пространства H вещественных вектор-функций и построим его разложение на ортогональные подпространства, когда Ω_i совпадает со всем пространством E_3 . Определим два подпространства H : $G(E_3)$ – замыкание множества векторов вида $\operatorname{grad} p(\vec{x}, t)$, где $p(\vec{x}, t)$ – бесконечно дифференцируемые функции, убывающие на бесконечности как r^{-2} с первыми производными, убывающими как r^{-3} ; $F(E_3)$ – замыкание множества векторов вида $\operatorname{rot} \vec{A}$, порядок убывания на бесконечности которых и его производных такой же, как и для $p(\vec{x}, t)$. Формирование подпространств G и F будем проводить с учетом применения полученных результатов для ортогонального разложения пространства вектор-функций, описывающих системой (2) движение самогравитирующего газа. В работе [7] доказана теорема об ортогональном разложении гильбертова пространства H векторов, заданных в области Ω для случая, когда Ω есть все трехмерное пространство.

Теорема Соболева. *Гильбертово пространство H вектор-функций $\vec{u}(\vec{x}, t)$ допускает представление*

$$H(E_3) = G(E_3) \oplus F(E_3), \quad (13)$$

где знак \oplus обозначает прямую сумму подпространств G и F .

Проверим справедливость этой теоремы для функций бесконечно дифференцируемых, убывающих на бесконечности как r^{-2} с первыми производными, убывающими как r^{-3} .

Доказательство проведем, опираясь на основные идеи работы [7].

Пусть вектор-функции $\vec{u}_1(\vec{x}, t) \in G(E_4)$, где $G(E_4)$ – множество векторов вида

$$\vec{u}(\vec{x}, t) = \operatorname{grad} p(\vec{x}, t), \quad (14)$$

и вектор-функции $\vec{u}_2(\vec{x}, t) \in F(E_4)$, где $F(E_4)$ – множество векторов вида

$$\vec{u}_2(\vec{x}, t) = \text{rot} \vec{A}(\vec{x}, t). \quad (15)$$

Скалярное произведение в H функций $\vec{u}_1(\vec{x}, t)$ и $\vec{u}_2(\vec{x}, t)$ равно при фиксированном $t \in [0, T]$.

$$\begin{aligned} & \iiint_{E_3} \vec{u}_1(\vec{x}, t) \cdot \vec{u}_2(\vec{x}, t) d\tau = \\ &= \iiint_{E_3} \text{grad} p \cdot \text{rot} \vec{A} d\tau = \\ &= \iiint_{E_3} (\text{div}(p \cdot \text{rot} \vec{A}) - p \cdot \text{div}(\text{rot} \vec{A})) d\tau = \\ &= \iiint_{E_3} \text{div}(p \cdot \text{rot} \vec{A}) d\tau, \end{aligned}$$

так как $\text{div}(\text{rot} \vec{A}) = 0$.

Далее. Если рассмотрим шар $\Omega \subset E_3$ радиуса R , ограниченного сферой S , то последний интеграл по формуле Остроградского – Гаусса равен

$$\begin{aligned} & \iiint_{E_3} \text{div}(p \cdot \text{rot} \vec{A}) d\tau = \\ &= \iiint_{\Omega(R \rightarrow \infty)} \text{div}(p \cdot \text{rot} \vec{A}) d\tau = \\ &= \iint_{S(R \rightarrow \infty)} p \cdot \text{rot} \vec{A} d\sigma = 0 \end{aligned}$$

в силу ограничений, наложенных на p , $\text{rot} \vec{A}$.

Итак, множества вектор-функций $\vec{u}_1(\vec{x}, t)$ и $\vec{u}_2(\vec{x}, t)$ ортогональны между собой.

Возьмем вектор $\vec{u}(\vec{x}, t)$ из H , ортогональный к подпространствам G и F . Пусть

$$\begin{aligned} 0 &= \iiint_{E_3} \vec{u} \vec{u}_1 d\tau = \iiint_{E_3} \vec{u} \text{grad} p d\tau = \\ &= \iiint_{E_3} \text{div}(p \vec{u}) d\tau - \iiint_{E_3} p \cdot \text{div} \vec{u} d\tau. \end{aligned}$$

Устремляя радиус шара Ω к бесконечности, т.е. $R \rightarrow \infty$, получим

$$\begin{aligned} 0 &= \iiint_{E_3} \vec{u} \vec{u}_1 d\tau = \iiint_{S(R \rightarrow \infty)} \vec{u} p \vec{n} d\sigma = \\ &= \iiint_{\Omega} p \cdot \text{div} \vec{u} d\tau. \end{aligned}$$

Первое слагаемое левой части равенства равно нулю, так как при $R \rightarrow \infty$ функции p и \vec{u} убывающие функции порядка $O(R^{-2})$.

В силу ортогональности получим соотношение

$$\iiint_{E_3} p \cdot \text{div} \vec{u} d\tau = 0,$$

которое выполняется при любом p в любой конечной области, то есть

$$\text{div} \vec{u} = 0.$$

Аналогично, если вектор $\vec{u}(\vec{x}, t) \in H$, ортогональный любым функциям $\vec{u}_2(\vec{x}, t) \in F(E_4)$, то справедливы равенства

$$\begin{aligned} 0 &= \iiint_{E_3} \vec{u} \vec{u}_2 d\tau = \iiint_{E_3} \vec{u} \text{rot} \vec{A} d\tau = \\ &= \iiint_{E_3} (\text{div}(\vec{A} \times \vec{u}) + \vec{A} \text{rot} \vec{u}) d\tau. \end{aligned}$$

Для шара $\Omega \subset E_3$ радиуса $R \rightarrow \infty$ получим

$$\begin{aligned} \iiint_{E_3} \vec{u}_1 \vec{u}_2 d\tau &= \iiint_{S(R \rightarrow \infty)} (\vec{A} \times \vec{u}) \vec{n} d\sigma = \\ &= \iiint_{\Omega(R \rightarrow \infty)} \vec{A} \text{rot} \vec{u} d\tau = 0. \end{aligned}$$

Интеграл по поверхности сферы стремится к нулю при $R \rightarrow \infty$; окончательно получим

$$\iiint_{E_3} \vec{A} \text{rot} \vec{u} d\tau = 0.$$

Отсюда в силу произвольности \vec{A} следует $\text{rot} \vec{u} = 0$. Таким образом, из условия ортогональности $\vec{u}(\vec{x}, t)$ множествам $\vec{u}_1(\vec{x}, t)$ и $\vec{u}_2(\vec{x}, t)$ получим

$$\text{div} \vec{u} = 0, \quad (16)$$

$$\text{rot} \vec{u} = 0. \quad (17)$$

Тогда из (17) следует, что

$$\vec{u} = \nabla h(\vec{x}, t);$$

после подстановки в (16) получим уравнение Лапласа

$$\Delta h = 0,$$

то есть $h(\vec{x}, t)$ – гармоническая функция, следовательно, вектор-функция $\vec{u}(\vec{x}, t)$ – гармоническая функция, равная нулю на бесконечности. Значит, $\vec{u}(\vec{x}, t) = \vec{0}$.

Из ортогональности функций $\vec{u}_1(\vec{x}, t) \in G(E_3)$ и $\vec{u}_2(\vec{x}, t) \in F(E_3)$ следует ортогональность $G(E_3)$ и $F(E_3)$. Кроме этого, в H нет ни одного элемента, который был бы ортогонален G и F (кроме нуль-вектора).

Теорема доказана.

Следствие. Если в пространстве E_4 определена переменная область $Q_t = \Omega_t \times (0, T)$ с достаточно гладкой границей Γ_t области Ω_t и в этой области определены бесконечно дифференцируемые функции $\vec{u}(\vec{x}, t)$ и $p(\vec{x}, t)$, удовлетворяющие следующим свойствам:

$$\operatorname{div} \vec{u} = 0 \text{ в } \Omega_t, \quad \vec{u} \vec{n} = 0 \text{ на } \Gamma_t, \quad (18)$$

$$\iiint_{\Omega_t} \vec{u} \nabla p d\tau = 0, \quad (19)$$

то равенства (18) и (19) для произвольных $p(\vec{x}, t)$ эквивалентны.

Действительно, пусть будет справедливо равенство (19), при условии, что $p(\vec{x}, t)$ – любая финитная функция, обращающаяся в нуль на границе Γ_t .

Применим интегрирование по частям, получим

$$\begin{aligned} 0 &= \iiint_{\Omega_t} \vec{u} \nabla p d\tau = \\ &= \iiint_{\Omega_t} (\operatorname{div}(p\vec{u}) - p \operatorname{div} \vec{u}) d\tau = \\ &= \iint_{\Gamma_t} p \vec{u} \vec{n} d\tau - \iiint_{\Omega_t} p \operatorname{div} \vec{u} d\tau. \end{aligned}$$

В силу того, что $p|_{\Gamma_t} = 0$, получим для любой функции $p(\vec{x}, t)$

$$\iiint_{\Omega_t} p \cdot \operatorname{div} \vec{u} d\tau = 0.$$

В силу произвольности $p(\vec{x}, t)$ следует, что $\operatorname{div} \vec{u} = 0$ в Ω_t . Если выполняется условие $\operatorname{div} \vec{u} = 0$, то при произвольном p получим

$$\begin{aligned} 0 &= \iiint_{\Omega_t} \vec{u} \nabla p d\tau = \iiint_{\Omega_t} (\operatorname{div}(p\vec{u}) - p \operatorname{div} \vec{u}) d\tau = \\ &= \iint_{\Gamma_t} p \vec{u} \vec{n} d\tau - \iiint_{\Omega_t} p \operatorname{div} \vec{u} d\tau, \end{aligned}$$

и тогда $\vec{u} \vec{n} = 0$.

Обратно, если $\operatorname{div} \vec{u} = 0$ и $\vec{u} \vec{n} = 0$, то (19) – очевидно.

Используя результаты, доказанные в теореме и следствии, рассмотрим финитные бесконечно дифференцируемые функции в Q_t при фиксированном $t \in [0, T]$: $\rho(\vec{x}, t) \cdot \vec{u}(\vec{x}, t)$; $\rho(\vec{x}, t) \cdot \vec{F}(\vec{x}, t)$ и гладкую функцию $p(\vec{x}, t)$ в E_4 .

Разложим вектор-функцию $\rho(\vec{x}, t) \times \vec{u}(\vec{x}, t)$ на градиентную и соленоидальную части, соответствующие (13):

$$\rho \vec{u} = \vec{V} + \operatorname{grad} p. \quad (20)$$

Определим $\vec{V}(\vec{x}, t)$, чтобы выполнялось следствие

$$\operatorname{div} \vec{V} = 0 \text{ в } \Omega_t, \quad (21)$$

$$\vec{V} \cdot \vec{n} = 0 \text{ на } \Gamma_t. \quad (22)$$

С этой целью выберем векторное поле $\vec{A}(\vec{x}, t)$ бесконечно дифференцируемых и равных нулю на Γ_t вектор-функций. Определим на границе Γ_t произвольный контур $L \subset \Gamma_t$ и рассмотрим интеграл

$$\oint_L \vec{A}(\vec{x}, t) d\vec{r} = \iint_{\sigma_t \subset \Gamma_t} \operatorname{rot} \vec{A} \cdot \vec{n} d\tau = 0$$

в любой окрестности любой точки $x \in \Gamma_t$.

В силу произвольности $\sigma_t \subset \Gamma_t$ получим

$$\operatorname{rot} \vec{A} \cdot \vec{n}|_{\Gamma_t} = 0. \quad (23)$$

Взяв в качестве $\vec{V}(\vec{x}, t) = \operatorname{rot} \vec{A}$, получим выполнение условий (21) и (22).

Рассмотрим систему дифференциальных уравнений газовой динамики (2). Предположим, что существуют гладкие функции $\rho(\vec{x}, t)$, $\vec{u}(\vec{x}, t)$, $\vec{F}(\vec{x}, t)$, удовлетворяющие этой системе. Пусть $\vec{A} = \rho \cdot \vec{F}$, составим (20), где $p(\vec{x}, t)$ – неизвестная функция (не связанная с давлением газа в системе (2))

$$4\pi G\rho\vec{u} = \text{grad}p + \text{rot}p\vec{F}. \quad (24)$$

Функции $\rho\vec{u}$, $\rho\vec{F}$ для $\vec{x} \in \Gamma_t$ равны нулю, тогда из (23) следует

$$\text{rot}\rho\vec{F} \cdot \vec{n}|_{\Gamma_t} = 0. \quad (25)$$

Зададим условия для $p(\vec{x}, t) = 0$ на бесконечности. Вычислим от обеих частей (24) оператор div , учитывая, что $\text{div}(\text{rot}\vec{F}\rho) = 0$, получим

$$\Delta p = 4\pi G\text{div}(\rho\vec{u}), \quad (26)$$

$$\text{при } p|_{|\vec{x}| \rightarrow \infty} = 0. \quad (27)$$

Уравнение Пуассона (26) при условии (27) имеет единственное решение [2, 3]

$$\begin{aligned} p(\vec{x}, t) &= -G \iiint_{E_3} \frac{\text{div}\rho\vec{u}}{|\vec{x} - \vec{x}'|} d\tau = \\ &= -G \iiint_{\Omega_t} \frac{\text{div}\rho\vec{u}}{|\vec{x} - \vec{x}'|} d\tau. \end{aligned} \quad (28)$$

Используя из системы (2) последнее уравнение, формулу (28) перепишем в виде

$$\begin{aligned} p(\vec{x}, t) &= G \iiint_{\Omega_t} \frac{\rho(\vec{x}', t)}{|\vec{x} - \vec{x}'|} d\tau = \\ &= G \frac{\partial}{\partial t} \iiint_{\Omega_t} \frac{\rho(\vec{x}', t)}{|\vec{x} - \vec{x}'|} d\tau, \end{aligned} \quad (29)$$

при условии, что $\rho(\vec{x}, t)|_{\Gamma_t} = 0$.

В равенстве (29) последний интеграл по области Ω_t есть частная производная по t ньютоновского потенциала

$$\Phi(\vec{x}, t) = G \iiint_{\Omega_t} \frac{\rho(\vec{x}', t)}{|\vec{x} - \vec{x}'|} d\tau.$$

Таким образом, окончательно получаем равенство

$$4\pi G\rho\vec{u} = \nabla\Phi + \text{rot}p\vec{F}$$

или, учитывая (3), для неизвестной вектор-функции \vec{F} получим уравнение с частными производными первого порядка

$$\vec{F}_t = 4\pi G\rho\vec{u} - \text{rot}p\vec{F}. \quad (30)$$

В работе [10] с использованием векторного анализа получено аналогичное уравнение:

$$\vec{F}_t = 4\pi G\rho\vec{u} + \text{rot}[u \times \vec{F}].$$

Простой проверкой можно убедиться, что равенство (30) будет справедливо, если вместо вектор-функции $\vec{A}(\vec{x}, t)$ взять $\rho\vec{u}$ и вообще произвольную вектор-функцию $f(\vec{x}, t)$, удовлетворяющую условию (23).

Докажем единственность представления функции $4\pi G\rho\vec{u}$ в виде (30).

Используя ортогональность \vec{F}_t и $\text{rot}p\vec{F}_t$, предположим, что существует для функции $4\pi G\rho\vec{u}$ два разложения в виде (20)

$$4\pi G\rho\vec{u} = \vec{V}_1 + \text{grad}p_1,$$

$$4\pi G\rho\vec{u} = \vec{V}_2 + \text{grad}p_2.$$

Тогда

$$0 = \vec{V}_1 - \vec{V}_2 + \text{grad}(p_1 - p_2). \quad (31)$$

Умножим левую и правую части (31) на $\vec{V}_1 - \vec{V}_2$, получим, вычислив скалярное произведение на Ω_t :

$$\begin{aligned} 0 &= \iiint_{\Omega_t} \left(|\vec{V}_1 - \vec{V}_2|^2 + \right. \\ &\quad \left. + (\vec{V}_1 - \vec{V}_2) \cdot \text{grad}(p_1 - p_2) \right) d\tau. \end{aligned}$$

Ортогональность $\vec{V}_1 - \vec{V}_2$ и $\text{grad}(p_1 - p_2)$ приводит к равенству

$$\iiint_{\Omega_t} |\vec{V}_1 - \vec{V}_2|^2 d\tau = 0,$$

отсюда $|\vec{V}_1 - \vec{V}_2| = 0 \Rightarrow \vec{V}_1 = \vec{V}_2$. Кроме этого, получим $\text{grad}p_1 = \text{grad}p_2$ или $p_1 = p_2 + \text{const}$.

Если $p_1 = p_2 = 0$ при $|\vec{x}| \rightarrow \infty$, то и $p_1 = p_2$ в Ω_t .

Единственность разложения доказана.

В заключение обратим внимание на интересное свойство функции \vec{F}_t . Если

в (30) обе части равенства умножить на \vec{n} , то в силу $\rho\vec{u}\vec{n}|_{\Gamma_t} = 0, \text{rot}\rho\vec{F} \cdot \vec{n}|_{\Gamma_t} = 0$ следует, что и

$$\vec{F}_t \cdot \vec{n}|_{\Gamma_t} = 0, \quad (32)$$

то есть силовая функция \vec{F}_t направлена по касательной к поверхности Γ_t .

Замечание. Справедливость (32) следует из (25) и (30), однако в этом можно убедиться, рассмотрев интеграл по произвольной области $\sigma_t \in \Gamma_t$

$$\begin{aligned} I &= \iint_{\sigma_t} \vec{F}_t \cdot \vec{n} d\sigma = \\ &= \iint_{\sigma_t} \left(G \nabla \iiint_{\Omega_t} \frac{\text{div} \rho \vec{u}}{|\vec{x} - \vec{x}'|} d\tau \right) \cdot \vec{n} d\sigma. \end{aligned}$$

Интегрирование по области Ω_t осуществляется по переменной \vec{x}' , а по поверхности σ_t – по переменной \vec{x} . По теореме Фубини данный интеграл запишется в виде

$$I = G \iiint_{\Omega_t} \text{div} \rho \vec{u} \iint_{\vec{A}} \frac{\partial}{\partial n} \left(\frac{1}{r} \right) d\sigma d\tau, \quad (33)$$

где $r = |\vec{x} - \vec{x}'|$.

В равенстве (33) поверхностный интеграл есть известный интеграл Гаусса, связанный с измерением телесных углов поверхностей, хорошо изученный в теории ньютоновского потенциала. Интеграл Гаусса есть непрерывная функция по переменной \vec{x}' в замкнутой области Ω_t , где принимает для каждого \vec{x}' ограниченные постоянные значения. Обозначим при фиксированном значении t :

$$f(\vec{x}') = \iint_{\sigma_t} \frac{\partial}{\partial n} \left(\frac{1}{r} \right) d\tau,$$

тогда по теореме о среднем для кратного интеграла [10]

$$\begin{aligned} \iiint_{\Omega_t} \text{div}(\rho \vec{u}) f(\vec{x}') d\tau &= f(Q) \iiint_{\Omega_t} \text{div}(\rho \vec{u}) d\tau = \\ &= f(Q) \iint_{\Gamma_t} \rho \vec{u} \vec{n} d\tau = 0. \end{aligned}$$

Здесь Q – некоторая точка Ω_t , $f(Q) = \text{const}$. Таким образом, интеграл равен нулю. В силу произвольности σ_t следует справедливость (32). ■

Литература

1. Треногин В.А. Функциональный анализ. М. : Физматлит, 2002, 488 с. ISBN 5-9221-0272-9.
2. Овсянников Л.В. Лекции по основам газовой динамики. М.-Ижевск : Институт компьютерных исследований, 2003. 336 с. ISBN 5-93972-201-6.
3. Гюнтер Н.М. Теория потенциала и ее применение к основным задачам математической физики. М. : Гостехиздат, 1953. 415 с.
4. Сретенский Л.Н. Теория ньютоновского потенциала. М.-Л. : ОГИЗ, 1946. 318 с.
5. Кочин Н.Е. Векторное исчисление и начала тензорного исчисления. М. : Изд. «Наука», 1965. 427 с.
6. Weyl H. The method of orthogonal projection in potential theory. Duke Math. Journal, 7 (1940). Pp. 411–444.
7. Соболев С.Л. Об одной новой задаче математической физики // Изв. АН СССР. Сер. : Математика. № 18 (1954). С. 3–50; Соболев С.Л. Избранные труды; Т. 1. М. : Изд. Института математики СО РАН, 2003. 692 с.
8. Ладыженская О.А. Математические вопросы динамики вязкой несжимаемой жидкости. М. : Изд. «Наука», 1970, 288 с.
9. Быховский Э.Б., Смирнов Н.В. Об ортогональном разложении пространства вектор-функций квадратично суммируемых по заданной области, и операторов векторного анализа/ Тр. МИАН СССР/М., 1960; Т. 59. – С. 5–36.
10. Чуев Н.П. Построение трехмерной эволюционной дифференциальной модели политропного самогравитирующего газа // Вестник УрГУПС. № 1 (9).2011. С. 14–21. ISBN 2079-0392.
11. Никольский С.М. Курс математического анализа; Т. II. М. : «Наука», 1983. 448 с.

References

1. Trenogin V.A. Funktsionalny analiz. [Functional analysis.] M. : Fizmatlit, 2002, 488 s. ISBN 5-9221-0272-9.
2. Ovsyannikov L.V. Lektsii po osnovam gazovoy dinamiki. [The lectures on the basics of gas dynamics.] M.-Izhevsk : Institut kompyuternykh issledovaniy, 2003. 336 s. ISBN 5-93972-201-6.
3. Gyunter N.M. Teoria potentsiala i ee primeneniye k osnovnym zadacham matematicheskoy fiziki. [Potential theory and its application to the basic problems of mathematical physics] M. : Gostekhizdat, 1953. 415 s.
4. Sretensky L.N. Teoria nyutonovskogo potentsiala. [The theory of Newtonian potential.] M.-L. : OGIZ, 1946. 318 s.
5. Kochin N.Ye. Vektornoe ischislenie i nachala tenzornogo ischisleniya. [Vector calculus and beginning of tensor calculus.] M. : Izd. «Nauka», 1965. 427 s.
6. Weyl H. The method of orthogonal projection in potential theory. Duke Math. Journal, 7 (1940). Rr. 411–444.
7. Sobolev S.L. Ob odnoy novoy zadache matematicheskoy fiziki [On a new problem of mathematical physics] // Izv. AN SSSR. Ser. : Matematika. № 18 (1954). S. 3–50; Sobolev S.L. Izbrannyye trudy; T. 1. M. : Izd. Instituta matematiki SO RAN, 2003. 692 s.
8. Ladyzhenskaya O.A. Matematicheskie voprosy dinamiki vyazkoy neszimaemoy zhidkosti. [The mathematical problems of viscous incompressible fluid.] M. : Izd. «Nauka», 1970, 288 s.
9. Bykhovsky E.B, Smirnov N.V. Ob ortogonalnom razlozhenii prostranstva vektor-funktsiy kvadratischno summiruemykh po zadannoy oblasti, i operetorakh vektornogo analiza [Orthogonal decomposition of the space of vector functions square-integrable on a given area, and vector analysis operators] / Tr. MIAN SSSR/M., 1960; T. 59. – S. 5–36.
10. Chuyev N.P. Postroeniye trekhmernoy evolyutsionnoy differentsialnoy modeli politropnogo samogravitiruyushchego gaza [Development of three-dimensional evolutionary differential models of polytropic self-gravitating gas] // Vestnik UrGUPS. № 1 (9). 2011. S. 14–21. ISBN 2079-0392.
11. Nikolsky S.M. Kurs matematicheskogo analiza; [Course of mathematical analysis] T. II. M. : «Nauka», 1983. 448 s.

Статья сдана в редакцию 3 апреля 2015 года

УДК 563.2:517.927.4

А. Л. Казаков, Л. Ф. Спевак

О подходах к численному решению нелинейного уравнения теплопроводности

UDK 563.2:517.927.4

A. L. Kazakov, L. F. Spevak

Approaches to numerical solution of nonlinear heat equations

Аннотация

Работа посвящена численному решению нелинейного параболического уравнения с вырождением, описывающего процесс распространения тепла при степенной зависимости коэффициента теплопроводности от температуры. Представлен подход авторов к численному решению на основе метода граничных элементов, а также алгоритмы решения для случаев одной пространственной переменной. Предложен алгоритм численного решения на основе совместного применения методов граничных элементов и степенных рядов. Рассмотрены примеры, иллюстрирующие точность предложенных алгоритмов, а также результаты расчетов в некоторых характерных случаях.

Ключевые слова: механика сплошной среды; теплопроводность; параболическое уравнение с частными производными; численное решение; метод граничных элементов.

Summary

The paper is dedicated to numerical solution of nonlinear parabolic equation with degeneracy, describing heat distribution process in power dependence of the thermal conductivity on temperature. Authors' approach to numerical solution based on boundary element method is presented, along with solving algorithms for one spatial variable case. An algorithm for numerical solution is proposed based on combined application of boundary element method and power series. Examples are examined that illustrate the accuracy of the proposed algorithm, as well as results of calculations in some specific cases.

Keywords: continuum mechanics; thermal conductivity; parabolic partial differential equation; numerical solution; boundary element method.

Александр Леонидович Казаков, д-р физ.-мат. наук, заведующий лабораторией математических методов анализа свойств динамических систем; Институт динамики систем и теории управления СО РАН имени В.М. Матросова (ИДСТУ СО РАН). E-mail: kazakov@icc.ru.
Лев Фридрихович Спевак, канд. техн. наук, заведующий лабораторией прикладной механики; Институт машиноведения УрО РАН. E-mail: lfs@imach.uran.ru.

Aleksandr Leonidovich Kazakov, DSc in Physico-Mathematical Science, Head of the Laboratory of Mathematical Methods in Dynamical Systems Analysis; Institute of System Dynamics and Control Theory, SB RAS named after V.M. Matrosov. E-mail: kazakov@icc.ru.

Lev Fridrikhovich Spevak, PhD in Engineering, Head of the Laboratory of Applied Mechanics; UB RAS Institute of Engineering Science. E-mail: lfs@imach.uran.ru.

1. Введение

Эффективное численное решение нелинейных краевых задач, моделирующих физические процессы в элементах конструкций, является едва ли не единственным способом предсказания возможных неблагоприятных условий эксплуатации. При этом выбор конкретного численного метода существенно зависит от типа задачи (дифференциальных уравнений и краевых условий), а также от цели проведения расчетов.

Данная статья посвящена построению численных решений нелинейного уравнения параболического типа

$$T_t = \alpha \operatorname{div}(T^\sigma \nabla T), \alpha > 0, \sigma > 0, \quad (1)$$

которое описывает процесс распространения тепла в пространстве в случае степенной зависимости коэффициента теплопроводности от температуры. Здесь T – температура, зависящая от времени t и пространственных координат; div и ∇ – операторы дивергенции и градиента по пространственным переменным.

Уравнение (1) представляет собой обобщение хорошо известного линейного уравнения теплопроводности [1] на случай, когда коэффициент теплопроводности степенным образом зависит от температуры [2]. Это же уравнение описывает фильтрацию идеально-го политропного газа в пористой среде [3, 4], вследствие чего в англоязычной литературе за ним устойчиво закрепилось наименование «the porous medium equation» (т.е. «уравнение пористой среды») [5].

2. Постановка задачи

Стандартная замена $u = T^\sigma$, $t' = \alpha t$ сводит уравнение (1) к виду

$$u_t = u \Delta u + \frac{1}{\sigma} (\nabla u)^2. \quad (2)$$

В данной статье рассматривается случай, когда искомая функция зависит от времени и одной пространственной переменной в соответствующей

системе координат. Уравнение (2) при этом можно представить в общем виде

$$u_t = u u_{\rho\rho} + \frac{1}{\sigma} u_\rho^2 + \frac{\nu}{\rho} u u_\rho. \quad (3)$$

Здесь ρ – пространственная координата; $\sigma > 0$ – константа, характеризующая свойства среды; параметр ν принимает значения 0, 1, 2 для задач теплопроводности на прямой, на плоскости и в пространстве соответственно.

Для уравнения (3) рассматриваются следующие краевые условия:

$$u|_{\rho=a(t)} = f(t), f(0) = 0, f'(0) \geq 0. \quad (4)$$

Задача (3)–(4) ранее в некоторых частных случаях рассматривалась в работах А.Ф. Сидорова [4] и его учеников (см., например, [6], имеются и другие публикации), а также в работах авторов. В частности, в статьях [7, 8] построены решения в виде кратных степенных рядов с рекуррентно (при решении систем линейных алгебраических уравнений) определяемыми коэффициентами для случая плоской симметрии ($\nu = 0$). В работах [9, 10] указанные результаты пренесены на случай произвольного ν при $a(t) = \operatorname{const} > 0$. Также был предложен и реализован разностный метод построения решения рассматриваемой задачи в одном специальном частном случае [7].

Кроме того, авторами разработан общий подход к решению уравнения (2) методом граничных элементов [11–13], а также созданы алгоритмы решения задачи (3)–(4) для $\nu = 0$. В работах [14, 15] подход распространен на случаи центральной симметрии задачи, когда $\nu = 1, 2$. Такие алгоритмы позволяют строить решения на заданном конечном промежутке времени. Сравнение результатов применения этих алгоритмов с точными решениями, а также с решениями другими методами (с помощью степенных рядов и сеточными [7–10]) показали хорошую точность расчетов.

В настоящей работе исследована возможность совместного применения

гранично-элементного подхода и метода степенных рядов к решению рассматриваемой задачи (3)–(4).

3. Численное решение на основе метода граничных элементов

Плоскосимметричный случай ($v = 0$) является довольно простым и представляет гораздо меньший интерес с точки зрения приложений; далее будем считать, что $v = 1, 2$. Для решения уравнения (3) при краевом режиме (4) будем рассматривать в произвольный момент времени $t > 0$ задачу для области ненулевых значений искомой функции Ω : $\rho \in [R_1, R]$, где многообразие $\rho = R_1$ задает нулевой фронт в данный момент времени, переменная ρ относится к полярной или сферической системе координат в случаях круговой и сферической симметрии задачи соответственно. Для определенности здесь принято направление движения нулевого фронта (фронта тепловой волны; фронта фильтрации) по направлению к центру симметрии задачи ($R_1 < R$).

Замечание. Существование нулевого фронта (как при движении по направлению к центру, так и по направлению вовне) в данном случае следует из того, что $f(0) = 0$, $f'(0) > 0$ (см. [10]).

Пусть изменение нулевого фронта во времени описывается достаточно гладкой функцией $\rho = b(t)$:

$$u|_{\rho=b(t)} = u|_{\rho=R_1} = 0,$$

где $R_1 = b(t)$ в каждый момент времени t . Можно показать, что вдоль нулевого фронта в этом случае будет выполняться условие

$$q|_{\rho=R_1} = \frac{\partial u}{\partial n}\bigg|_{\rho=R_1} = \sigma b'(t)$$

где q – поток, равный производной по внешней нормали.

С учетом этого условия, а также заданного краевого режима будем рассматривать в момент t уравнение Пуассона

$$\Delta u = \frac{1}{u} \left(u_t - \frac{1}{\sigma} (\nabla u)^2 \right) \quad (5)$$

с соответствующими граничными условиями.

В соответствии с МГЭ, для произвольной внутренней точки $\xi \in \Omega$ справедливо

$$u(\xi) = \int_S [q(x)u^*(\xi, x) - u(x)q^*(\xi, x)] dS(x) - \int_{\Omega} \frac{1}{u} \left(u_t - \frac{1}{\sigma} (\nabla u)^2 \right) u^*(\xi, x) d\Omega(x),$$

где S – граница области Ω ; $u^*(\xi, x)$ – фундаментальное решение для задачи соответствующей размерности;

$$q^*(\xi, x) = \frac{\partial u^*(\xi, x)}{\partial n} \quad [16].$$

Ввиду симметрии задачи, все параметры определяются координатой ρ :

$$\begin{aligned} u(\rho_\xi) &= q(R)\bar{u}^*(\rho_\xi, R) - \\ &- u(R)\bar{q}^*(\rho_\xi, R) + q(R_1)\bar{u}^*(\rho_\xi, R_1) - \\ &- u(R_1)\bar{q}^*(\rho_\xi, R_1) - \\ &- \int_{R_1}^R \frac{1}{u} \left(u_t - \frac{u_\rho^2}{\sigma} \right) \bar{u}^*(\rho_\xi, \rho_x) d\rho_x. \end{aligned} \quad (6)$$

Здесь

$$\begin{aligned} \bar{u}^*(\rho_\xi, \rho_x) &= \int_{S_x} u^*(\xi, x) dS_x, \\ \bar{q}^*(\rho_\xi, \rho_x) &= \int_{S_x} q^*(\xi, x) dS_x, \end{aligned} \quad (7)$$

где S_x – окружность (сфера) с центром в начале координат и радиусом ρ_x при круговой (сферической) симметрии задачи.

Для граничных точек имеем, что

$$\begin{aligned} \frac{1}{2}u(R) &= q(R)\bar{u}^*(R, R) - \\ &- u(R)\bar{q}^*(R, R) + q(R_1)\bar{u}^*(R, R_1) - \\ &- u(R_1)\bar{q}^*(R, R_1) - \\ &- \int_{R_1}^R \frac{1}{u} \left(u_t - \frac{u_\rho^2}{\sigma} \right) \bar{u}^*(R, \rho_x) d\rho_x, \end{aligned} \quad (8)$$

$$\begin{aligned} \frac{1}{2}u(R_1) &= q(R)\bar{u}^*(R_1, R) - \\ &- u(R)\bar{q}^*(R_1, R) + q(R_1)\bar{u}^*(R_1, R_1) - \\ &- u(R_1)\bar{q}^*(R_1, R_1) - \\ &- \int_{R_1}^R \frac{1}{u} \left(u_t - \frac{u_\rho^2}{\sigma} \right) \bar{u}^*(R_1, \rho_x) d\rho_x. \end{aligned} \quad (9)$$

Входящие в соотношения (6)–(9) интегралы вычислены аналитически. В двумерном случае фундаментальное решение имеет вид [15]

$$\begin{aligned} u^*(\xi, x) &= -\frac{1}{2\pi} \ln(r), \\ q^*(\xi, x) &= -\frac{1}{2\pi r^2} r_i n_i, \end{aligned}$$

тогда, при $v = 1$

$$\bar{u}^*(\rho_\xi, \rho_x) = \begin{cases} -\rho_x \ln \rho_x, & \rho_\xi \leq \rho_x \\ -\rho_x \ln \rho_\xi, & \rho_\xi > \rho_x, \end{cases}$$

где $R_1 < R$, $\rho_\xi \in [R_1, R]$, $\rho_x \in [R_1, R]$.

В частности,

$$\begin{aligned} \bar{u}^*(\rho_\xi, R_1) &= -R_1 \ln \rho_\xi, \quad \bar{u}^*(\rho_\xi, R) = -R \ln R, \\ \bar{u}^*(R_1, \rho_x) &= -\rho_x \ln \rho_x, \quad \bar{u}^*(R, \rho_x) = -\rho_x \ln R, \\ \bar{u}^*(R_1, R_1) &= -R_1 \ln R_1, \quad \bar{u}^*(R, R_1) = -R_1 \ln R, \\ \bar{u}^*(R_1, R) &= -R \ln R, \quad \bar{u}^*(R, R) = -R \ln R. \end{aligned}$$

При $R_1 < \rho_\xi < R$

$$\begin{aligned} \bar{q}^*(\rho_\xi, R_1) &= 0, \quad \bar{q}^*(\rho_\xi, R) = -1, \\ \bar{q}^*(R, R) &= -0,5, \quad \bar{q}^*(R_1, R) = -1, \\ \bar{q}^*(R, R_1) &= 0, \quad \bar{q}^*(R_1, R_1) = 0,5. \end{aligned}$$

В трехмерном случае

$$u^*(\xi, x) = \frac{1}{4\pi r}, \quad q^*(\xi, x) = -\frac{1}{4\pi r^3} r_i n_i,$$

тогда для $v = 2$ при $R_1 < R$, $\rho_\xi \in [R_1, R]$, $\rho_x \in [R_1, R]$,

$$\bar{u}^*(\rho_\xi, \rho_x) = \begin{cases} \rho_x, & \rho_\xi \leq \rho_x \\ \frac{\rho_x^2}{\rho_\xi}, & \rho_\xi > \rho_x. \end{cases}$$

В частности,

$$\begin{aligned} \bar{u}^*(\rho_\xi, R_1) &= \frac{R_1^2}{\rho_\xi}, \quad \bar{u}^*(\rho_\xi, R) = R, \\ \bar{u}^*(R_1, \rho_x) &= \rho_x, \quad \bar{u}^*(R, \rho_x) = \frac{\rho_x^2}{R}, \\ \bar{u}^*(R, R) &= R, \quad \bar{u}^*(R, R_1) = \frac{R_1^2}{R}, \\ \bar{u}^*(R_1, R) &= R, \quad \bar{u}^*(R_1, R_1) = R_1, \\ \bar{q}^*(\rho_\xi, R_1) &= 0, \quad \bar{q}^*(\rho_\xi, R) = -1, \\ \bar{q}^*(R, R) &= -0,5, \quad \bar{q}^*(R_1, R) = -1, \\ \bar{q}^*(R, R_1) &= 0, \quad \bar{q}^*(R_1, R_1) = 0,5. \end{aligned}$$

На основе полученных соотношений построены алгоритмы решения уравнения (3) при различных краевых режимах вида (4). Решение проводится по шагам по времени. На каждом шаге строится итерационный процесс, сводящий решение нелинейной задачи для уравнения Пуассона (5) к последовательности решений линейных задач, где правая часть уравнения (5) находится из предыдущей итерации. При этом производная по времени находится приближенно, в разностном виде, что может приводить к заметной погрешности, особенно вблизи начального момента времени. В связи с этим процесс решения может быть скорректирован с помощью аналитического решения исходной задачи в виде кратного степенного ряда.

Следует отметить, что использование отрезков ряда на конечном промежутке времени затруднительно, поскольку область сходимости ряда, как правило, невелика и существенным образом зависит от вида краевых условий. В то же время в окрестности начального момента времени аналитическое решение имеет высокую точность и допускает корректное вычисление производных.

Таким образом, совместное применение методов граничных элементов и степенных рядов позволяет заметно повысить точность численного решения задачи (3)–(4).

4. Примеры

Тестирование предложенных алгоритмов проводилось через сравнение результатов расчетов с точными решениями задач. В частности, при $v = 1$, 2 использовались точные решения вида

$$u = \frac{\rho^2}{C - \mu t} - \frac{C^{\theta-1} R^2}{(C - \mu t)^{\theta}}, \quad (10)$$

полученные по аналогии с приведенными в монографии [17] (см. также [18]) точными решениями для плоскосимметричного случая ($v = 0$). Здесь $\mu = 2 + 2v + \frac{4}{\sigma}$,

$$\theta = \frac{v+1}{v+1+2/\sigma} < 1, \quad C - \text{произвольная постоянная.}$$

Этому решению соответствуют следующие краевые режимы вида (4): в задаче с заданным нулевым фронтом $a(t) = b(t) = R \left(1 - \frac{\mu}{C} t\right)^{1/(2+\sigma v + \sigma)}$, $f(t) \equiv 0$;

в задаче об инициации тепловой волны $a(t) = R$, $f(t) = R^2 \left(\frac{1}{C - \mu t} - \frac{C^{\theta-1}}{(C - \mu t)^{\theta}} \right)$.

На рис. 1 представлено сравнение численного решения при $v = 1$, $\sigma = 3$, $R = 2$, $a(t) = b(t) = 2 \left(1 - \frac{16}{30} t\right)^{0,125}$, $f(t) \equiv 0$ с точным решением вида (10) при $C = 10$. Результаты расчетов показывают достаточно высокую точность.

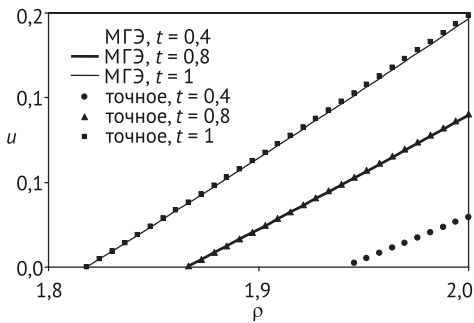


Рис. 1

Далее рассмотрим два интересных примера, моделирующих затухающие

процессы теплопроводности. На рис. 2 приведено численное решение при следующих параметрах: $v = 1$, $\sigma = 3$, $R = 2$, $a(t) = b(t) = 2 - 2t$, $f(t) \equiv 0$. Графики показывают, что при приближении нулевого фронта к центру задачи ($\rho = 0$) процесса наблюдается затухание процесса.

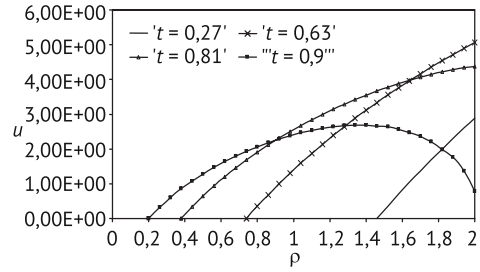


Рис. 2

В третьем примере заданный краевой режим моделирует асимптотическое замедление движения нулевого фронта: $v = 1$, $\sigma = 3$, $R = 2$, $a(t) = b(t) = 2 - 0,5 \arctg(10t)$, $f(t) = 0$. Результаты расчетов вновь отражают затухание процесса, связанное с «остановкой» нулевого фронта (рис. 3).

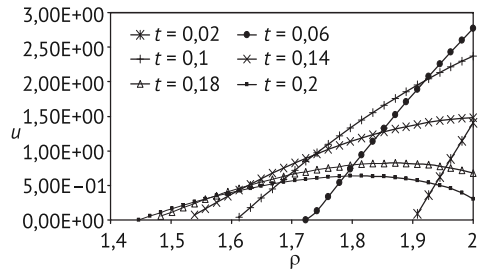


Рис. 3

5. Заключение

В ходе исследования удалось продвинуться в решении двух главных проблем, с которыми приходится сталкиваться исследователям при численном решении нелинейных задач математической физики: раскрытие особенностей, неизбежно возникающих в такого рода задачах; верификация результатов расчетов. Предложенный в статье численно-аналитический метод позволяет (в рассмотренном случае)

преодолеть указанные сложности. Дальнейшее развитие полученных результатов может быть связано с увеличением размерности задач.

Работа выполнена при поддержке программы фундаментальных научных исследований УрО РАН, проект № 15-7-1-17. ■

Литература

1. Тихонов А. Н. Уравнения математической физики / А. Н. Тихонов, А. А. Самарский. М. : Наука, 1977. 735 с.
2. Зельдович Я. Б. К теории распространения тепла при теплопроводности, зависящей от температуры / Я. Б. Зельдович, А. С. Компанец // В кн. : Сборник, посвященный 70-летию А. Ф. Иоффе. М. : Изд-во АН СССР, 1950. С. 61–71.
3. Баренблатт Г. И. Теория нестационарной фильтрации жидкости и газа / Г. И. Баренблатт, В. М. Ентов, В. М. Рыжик. М. : Недра, 1972. 220 с.
4. Сидоров А. Ф. Избранные труды : Математика. Механика / А. Ф. Сидоров. М. : Физматлит, 2001. 576 с. ISBN 5-9221-0103-X.
5. Vazquez J. L. The porous medium equation: mathematical theory / J. L. Vazquez. Oxford: Clarendon Press, 2007. 648 p. ISBN 0-19-856903-3, 978-0-19-856903-9.
6. Ваганова Н. А. Построение новых классов решений нелинейного уравнения фильтрации с помощью специальных согласованных рядов // Труды Института математики и механики УрО РАН. 2003. Т. 9, № 2. С. 10–20. ISSN 0134-4889.
7. Казаков А. Л. Аналитическое и численное исследование одной краевой задачи нелинейной фильтрации с вырождением / А. Л. Казаков, А. А. Лемперт // Вычислительные технологии. 2012. Т. 17. № 1. С. 57–68. ISSN 1560-7534.
8. Казаков А. Л. О существовании и единственности решения краевой задачи для параболического уравнения нестационарной фильтрации / А. Л. Казаков, А. А. Лемперт // Прикладная механика и техническая физика. 2013. Т. 54, № 2. С. 97–105. ISSN 0869-5032.
9. Казаков А. Л. Об одной краевой задаче для нелинейного уравнения теплопроводности в случае цилиндрической и сферической симметрии / А. Л. Казаков, П. А. Кузнецов // Вестник УрГУПС. 2013. № 4 (20). С. 4–10. ISSN 2079-0392.
10. Казаков А. Л. О построении тепловой волны для нелинейного уравнения теплопроводности в симметричном случае / А. Л. Казаков, П. А. Кузнецов, А. А. Лемперт // Известия Иркутского государственного университета. Сер. : «Математика». 2015. Т. 11. С. 39–53. ISSN 1997-7670.
11. Казаков А. Л. Методы граничных элементов и степенных рядов в одномерных задачах нелинейной фильтрации / А. Л. Казаков, Л. Ф. Спевак // Известия Иркутского государственного университета. Сер. : «Математика». 2012. Т. 5, № 2. С. 2–18. ISSN 1997-7670.
12. Казаков А. Л. Численное исследование одной модели механики сплошной среды на основе нелинейного параболического уравнения с вырождением / А. Л. Казаков, Л. Ф. Спевак // Вестник Казанского государственного технического университета им. А. Н. Туполева. 2013. № 1. С. 103–109. ISSN 2078-6255.
13. Kazakov A. L. Numerical and analytical studies of a nonlinear parabolic equation with boundary conditions of a special form / A. L. Kazakov, L. F. Spevak // Applied Mathematical Modelling. 2013. Vol. 37. Iss. 10–11. P. 6918–6928. ISSN 1872-8480, 0307-904X.
14. Спевак Л. Ф. Численное решение краевой задачи для нелинейного вырождающегося параболического уравнения в случаях круговой и сферической симметрии с вырождением / Л. Ф. Спевак, А. Л. Казаков // Вестник Казанского государственного технического университета им. А. Н. Туполева. 2013. № 3. С. 100–105. ISSN 2078-6255.
15. Казаков А. Л. Об одной краевой задаче с вырождением для нелинейного уравнения теплопроводности в сферических координатах / А. Л. Казаков, П. А. Кузнецов, Л. Ф. Спевак // Труды Института математики и механики УрО РАН. 2014. Т. 20, № 1. С. 119–129. ISBN 0134-4889.
16. Бреббия К. Методы граничных элементов / К. Бреббия, Ж. Телес, Л. Вроубел. М. : Мир, 1987. 524 с.
17. Полянин А. Д. Справочник по нелинейным уравнениям математической физики: точные решения / А. Д. Полянин, В. Ф. Зайцев. М. : Физматлит, 2002. 432 с. ISBN 5-88688-046-1.

18. Самарский А.А. Режимы с обострением в задачах для квазилинейных параболических уравнений / А.А. Самарский, В.А. Галактионов, С.П. Курдюмов, А.П. Михайлов. М. : Наука, 1987. 478 с.

References

1. Tikhonov A.N. Uravnenia matematicheskoy fiziki [Mathematical physics equations] / A.N. Tikhonov, A.A. Samarsky. M. : Nauka, 1977. 735 s.
2. Zeldovich Ya.B. K teorii rasprostraneniya tepla pri teploprovodnosti, zavisyashchey ot temperatury [Regarding heat distribution theory with temperature-dependent heat conduction] / Ya.B. Zeldovich, A.S. Kompaneets // V kn. : Sbornik, posvyashchenniy 70-letiyu A. F. Ioffe. M. : Izd-vo AN SSSR, 1950. S. 61–71.
3. Barenblatt G.I. Teoriya nestatsionarnoy filtratsii zhidkosti i gaza [The theory of non-stationary filtration of liquid and gas] / G.I. Barenblatt, V.M. Entov, V.M. Ryzhik. M. : Nedra, 1972. 220 s.
4. Sidorov A.F. Izbrannye trudy : Matematika. Mekhanika [Selected Works: Mathematics. Mechanics] / A.F. Sidorov. M. : Fizmatlit, 2001. 576 s. ISBN 5-9221-0103-X.
5. Vazquez J.L. The porous medium equation: mathematical theory / J.L. Vazquez. Oxford: Clarendon Press, 2007. 648 p. ISBN 0-19-856903-3, 978-0-19-856903-9.
6. Vaganova N.A. Postroyeniye novykh klassov resheniy nelineynogo uravneniya filtratsii s pomoshchyu spetsialnykh soglasovannykh ryadov [Constructing new classes of solutions of nonlinear filtration equation using special consistent series] // Trudy Instituta matematiki i mekhaniki UrO RAN. 2003. T. 9, № 2. S. 10–20. ISSN 0134-4889.
7. Kazakov A.L. Analiticheskoye i chislennoye issledovaniye odnoy kraevoy zadachi nelineynoy filtratsii s vyrozhdeniem [Analytical and numerical investigation of a nonlinear filtering boundary value problem with degeneration] / A.L. Kazakov, A.A. Lempert // Vychislitelnye tekhnologii. 2012. T. 17, № 1. S. 57–68. ISSN 1560-7534.
8. Kazakov A.L. O sushchestvovanii i yedinstvennosti resheniya kraevoy zadachi dlya parabolicheskogo uravneniya nestatsionarnoy filtratsii [Existence and uniqueness of solution of boundary value problem for parabolic equation of unsteady filtration] / A.L. Kazakov, A.A. Lempert // Prikladnaya mekhanika i tekhnicheskaya fizika. 2013. T. 54, № 2. C. 97–105. ISSN 0869-5032.
9. Kazakov A.L. Ob odnoy kraevoy zadache dlya nelineynogo uravneniya teploprovodnosti v sluchae tsilindricheskoy i sfericheskoy simmetrii [A boundary value problem for nonlinear heat equation for the case of cylindrical and spherical symmetry] / A.L. Kazakov, P.A. Kuznetsov // USURT Herald. 2013. № 4 (20). S. 4–10. ISSN 2079-0392.
10. Kazakov A.L. O postroyenii teplovoy volny dlya nelineynogo uravneniya teploprovodnosti v simmetrichnom sluchae [Construction of heat wave for nonlinear heat equation in symmetric case] / A.L. Kazakov, P.A. Kuznetsov, A.A. Lempert // Izvestiya Irkutskogo gosudarstvennogo universiteta. Ser. : «Matematika». 2015. T. 11. S. 39–53. ISSN 1997-7670.
11. Kazakov A.L. Metody granichnykh elementov i stepennykh ryadov v odnomernykh zadachakh nelineynoy filtratsii [Boundary element and power series methods in one-dimensional problems of nonlinear filtration] / A.L. Kazakov, L.F. Spevak // Izvestiya Irkutskogo gosudarstvennogo universiteta. Ser. : «Matematika». 2012. T. 5, № 2. S. 2–18. ISSN 1997-7670.
12. Kazakov A.L. Chislennoye issledovaniye odnoy modeli mekhaniki sploshnoy sredy na osnove nelineynogo parabolicheskogo uravneniya s vyrozhdeniem [Numerical investigation of a continuum medium mechanics model on the basis of non-linear parabolic equation with degeneration] / A.L. Kazakov, L.F. Spevak // Vestnik Kazanskogo gosudarstvennogo tekhnicheskogo universiteta im. A.N. Tupoleva. 2013. № 1. S. 103–109. ISSN 2078-6255.
13. Kazakov A.L. Numerical and analytical studies of a nonlinear parabolic equation with boundary conditions of a special form / A.L. Kazakov, L.F. Spevak // Applied Mathematical Modelling. 2013. Vol. 37. Iss. 10–11. P. 6918–6928. ISSN 1872-8480, 0307-904X.
14. Spevak L.F. Chislennoye resheniye kraevoy zadachi dlya nelineynogo vyrozhdnyayushchegosya parabolicheskogo uravneniya v sluchayakh krugovoy i sfericheskoy simmetrii vyrozhdeniym [Numerical solution of boundary value problem for nonlinear degenerate parabolic equation in case of circular and spherical degeneration symmetry] / L.F. Spevak, A.L. Kazakov // Vestnik Kazanskogo gosudarstvennogo tekhnicheskogo universiteta im. A.N. Tupoleva. 2013. № 3. C. 100–105. ISSN 2078-6255.

15. Kazakov A. L. Ob odnoy kraevoy zadache s vyrozhdeniem dlya nelineynogo uravnenia teploprovodnosti v sfericheskikh koordinatakh [A boundary value problem with degeneration for nonlinear heat equation in spherical coordinates] / A. L. Kazakov, P. A. Kuznetsov, L. F. Spevak // Trudy Instituta matematiki i mekhaniki UrO RAN. 2014. T. 20, № 1. S. 119–129. ISBN 0134-4889.
16. Brebbia K. Metody granichnykh elementov [Boundary element methods] / K. Brebbia, Zh. Teles, L. Vroubel. M. : Mir, 1987. 524 s.
17. Polyanin A. D. Spravochnik po nelineynym uravneniam matematicheskoy fiziki: tochnye reshenia [Handbook on nonlinear equations of mathematical physics: exact solutions] / A. D. Polyanin, V. F. Zaytsev. M. : Fizmatlit, 2002. 432 s. ISBN 5-88688-046-1.
18. Samarsky A. A. Rezhimy s obostreniem v zadachakh dlya kvazilineynykh parabolicheskikh uravneniy [Regimes with peaking in problems for quasi-linear parabolic equations] / A. A. Samarsky, V. A. Galaktionov, S. P. Kurdyumov, A. P. Mikhaylov. M. : Nauka, 1987. 478 s.

Статья сдана в редакцию 9 апреля 2015 года

Управление в технических системах

УДК 656.21.001.2

Х. Т. Туранов, А. А. Гордиенко

Математические модели скорости скатывания вагона на втором скоростном участке сортировочной горки при воздействии встречного ветра малой величины

UDK 656.21.001.2

Kh. T. Turanov, A. A. Gordienko

Mathematical models of car speed rolling down on second high-speed section of a hump when exposed to light headwind

Аннотация

В статье впервые получены простые на вид математические модели скатывания вагона на втором скоростном участке сортировочной горки при воздействии силы тяжести вагона с грузом (или без него), встречного ветра малой величины и силы сопротивления. Найдена формула для определения времени скатывания вагона на рассматриваемом участке горки. По величине времени скатывания вагона определена скорость вагона в конце второго участка горки.

Ключевые слова: горка; вагона; встречный ветер; закон Кулона; принцип Д'Аламбера; интеграл от рациональных функций; время и скорость скатывания вагона по второму скоростному участку горки.

Summary

The article for the first time derives apparently simple mathematical models of car rolling down on second high-speed section of a hump when exposed to gravity of loaded (or unloaded) car, light headwind and resistance forces. A formula to determine car rolling time on the hump section under review has been found. Based on the car rolling time, the speed of the car at the end of the second hump section is found.

Keywords: hump; rail car; headwind; Coulomb's law; D'Alamber principle; integral of rational functions; speed of car rolling down the second high-speed section of hump and rolling time.

Хабибулла Туранович Туранов, д-р техн. наук, профессор; кафедра «Станции, узлы и грузовая работа» Уральского государственного университета путей сообщения; Екатеринбург, Россия. E-mail: khturanov@yandex.ru.

Андрей Александрович Гордиенко, ассистент; кафедра «Станции, узлы и грузовая работа» Уральского государственного университета путей сообщения; Екатеринбург, Россия. E-mail: gordiii89@yandex.ru.

Khabibulla Turanovich Turanov, DSc in Engineering, Professor; Stations, Junctions and Freight Work Department, Ural State University of Railway Transport; Ekaterinburg, Russia. E-mail: khturanov@yandex.ru.

Andrey Aleksandrovich Gordienko, Assistant; Stations, Junctions and Freight Work Department, Ural State University of Railway Transport; Ekaterinburg, Russia. E-mail: gordiii89@yandex.ru.

Потеря физического смысла задачи по расчёту и проектированию сортировочной горки, который используется в расчётах и проектировании горок уже более 75 лет, обстоятельно обоснована в [1–12]. Результаты ошибочных исследований [4–12] до сих пор используются в научных исследованиях по проектированию сортировочных горок как единственно верные (см., напр., [10, 13]).

Так, при корректировке точки перелома продольного профиля горки в работе [13] использована следующая формула:

$$i_{\text{тп}} = \frac{v_{\text{н}}^2 - v_{\text{к}}^2}{l_{\text{юз}} 2g' 10^{-3}} - w_0 - 42,5, \quad (1)$$

где, видимо, $i_{\text{тп}}$ – уклон в точке перелома, ‰; $v_{\text{н}}$ и $v_{\text{к}}$ – начальная и конечная скорости вагона, м/с; $l_{\text{юз}}$ – длина юза, м; g' – ускорение свободного падения вагона с учётом вращения колёсных пар, м/с²; w_0 – основное удельное сопротивление, Н/кН; 42,5 – постоянная безразмерная величина (причём в [13] нет пояснения физического смысла этой величины). Здесь $v_{\text{н}}$ – величина задаваемая, а $v_{\text{к}}$, по-нашему мнению, – неизвестная величина, подлежащая определению в зависимости от времени t движения вагона на рассматриваемом участке (пусть даже на длине юза), т. е. $v_{\text{к}} = f(t)$.

Критический анализ формулы (1) показывает следующее.

Пока не обращая внимания на знаки вычитаемых (w_0 и 42,5) правой части формулы (1), отметим, что размерность левой части этого выражения как геометрического параметра горки есть не что иное, как промилле (‰); первое уменьшаемое выражение в правой части (1) – величина безразмерная, второе вычитаемое как физический параметр имеет размерность Н/кН, а третье вычитаемое представляет собой постоянную безразмерную величину.

Получилось полное несоответствие формулы (1) теории размерности, а значит, данное выражение полностью потеряло физический смысл.

Далее. Получается так, что начальная скорость вагона $v_{\text{н}}$ больше, чем конечная скорость $v_{\text{к}}$, т. е. $v_{\text{н}} > v_{\text{к}}$ (что вызывает возражения); во-вторых, при свободном падении вагона по вертикали с ускорением g' колёсные пары вагона успевают совершать вращательное движение относительно собственной оси, что противоречит основным понятиям элементарной школьной физики [14]. Тогда получается, что при вертикальном падении вагона с определённой высоты h конечная скорость равна нулю (т. е. $v_{\text{к}} = 0$); юз же, как известно, происходит при заторможенном состоянии вагона при его движении на прямом участке горочной тормозной позиции. Особо отметим, что движение вагона на участке горочной тормозной позиции горки состоит из трёх фаз: на первой происходит вход вагона на длину не менее длины колёсной базы вагона (10,5 м) (т. е. движение вагона при качении колёс со скольжением), на второй – движение вагона с затормаживанием (т. е. движение вагона с чистым скольжением; юз), а в третьей – движение вагона при отключенном вагонном замедлителе (т. е. движение с чистым качением колёс). Движение вагона на каждой из фаз представляет собой самостоятельную прикладную задачу. При этом скорость движения вагона в каждой фазе $v_{\text{к}}$ – величина неизвестная, подлежащая определению, т. е. $v_{\text{к}} = f(t_{\text{к}})$, где $t_{\text{к}}$ – время в конце этой фазы. Помимо того, длина юза величина также неизвестная, подлежащая определению, и то только при условии, если известно время $t = t_{\text{к}}$, в течение которого вагон движется на длине этого юза, т. е. $l_{\text{юз}} = f(t)$.

Таким образом, в (1) получилось так, что уклон в точке перелома зависит от начальной и конечной скоростей вагона, длины юза вагона, ускорения свободного падения вагона с учётом вращения колёсных пар, основного удельного сопротивления движению вагона и постоянной безразмерной величины 42,5, т. е. $i_{\text{тп}} = f(v_{\text{н}}, v_{\text{к}}, l_{\text{юз}}, w_0, 42,5)$. Отсюда ясно, что отыскиваемый геометрический

параметр горки $i_{\text{тп}}$ зависит, по крайней мере, от двух неизвестных параметров ($v_{\text{к}}, l_{\text{юз}}$), причём один из них кинематический ($v_{\text{к}}$), а другой ($l_{\text{юз}}$) – геометрический. Иначе (1) представляет собой одно уравнение с двумя неизвестными, что противоречит решению задач с использованием основных правил математики [15].

Исходя из предыдущих рассуждений перепишем (1) в другом виде, где, как и должно быть, $v_{\text{к}} > v_{\text{н}}$:

$$i_{\text{тп}} = \frac{v_{\text{к}}^2 - v_{\text{н}}^2}{l_{\text{юз}} 2g' 10^{-3}} - w_0 - 42,5. \quad (2)$$

Попытаемся определить теоретическую базу (2), а значит, и (1).

Перепишем формулу (2):

$$l_{\text{юз}} 10^{-3} i_{\text{тп}} = \frac{v_{\text{к}}^2 - v_{\text{н}}^2}{2g'} - l_{\text{юз}} 10^{-3} w_0 - l_{\text{юз}} 10^{-3} 42,5. \quad (3)$$

Анализ левой части выражения (3) показывает, что $10^{-3} i_{\text{тп}}$ есть не что иное, как $\sin \psi$ (где ψ – угол уклона в точке перелома, рад), а произведение длины юза $l_{\text{юз}}$ на прямом участке горочной тормозной позиции на величину уклона пути в виде $\sin \psi$ (или одно и то же на $10^{-3} i_{\text{тп}}$) – полную несостоятельность данного выражения.

Умножая обе части формулы (3) на массу вагона (отцепа) M и на g' , будем иметь

$$Mg' l_{\text{юз}} 10^{-3} i_{\text{тп}} = M \frac{v_{\text{к}}^2 - v_{\text{н}}^2}{2} - Mg' l_{\text{юз}} 10^{-3} w_0 - Mg' l_{\text{юз}} 10^{-3} 42,5.$$

Перепишем последнее выражение в виде

$$M \frac{v_{\text{к}}^2 - v_{\text{н}}^2}{2} = Mg' l_{\text{юз}} 10^{-3} i_{\text{тп}} + Mg' l_{\text{юз}} 10^{-3} w_0 + Mg' l_{\text{юз}} 10^{-3} 42,5.$$

Представляя левую часть полученного выражения, получим как бы математическое представление теоремы об изменении кинетической энергии [19]:

$$M \frac{v_{\text{к}}^2}{2} - M \frac{v_{\text{н}}^2}{2} = Mg' l_{\text{юз}} 10^{-3} i_{\text{тп}} + Mg' l_{\text{юз}} 10^{-3} w_0 + Mg' l_{\text{юз}} 10^{-3} 42,5, \quad (4)$$

где $Mg' = G$ – сила тяжести вагона (отцепа) с учётом массы вращающихся частей, Н.

Получается так, что левая часть формулы (4) представляет собой изменение кинетической энергии вагона (отцепа) при его падении по вертикали [19].

Согласно [4–12], $v_{\text{к}}$ определяют по формуле свободного падения тела по вертикали в виде (см. (3) в [3]):

$$v = \sqrt{2g'h}, \quad (5)$$

где h – высота падения тела, м; g' – ускорение свободного падения вагона с учётом вращения колёсных пар, м/с².

Правая же часть формулы (4) из-за знака «плюс» всех слагаемых полностью представляет собой работу только «сдвигающих» сил $F_{\text{сд}}$, направленных по горизонтали (поскольку рассматривается длина юза), что само по себе абсурдно. Ведь в (4) только первое слагаемое правой части (при условии корректности такого слагаемого, что сомнительно) представляет собой работу таких сил, а второе и третье должны представлять работу «удерживающих» сил $F_{\text{уд}}$ (вернее сил сопротивлений), а не «сдвигающих» сил $F_{\text{сд}}$ (из-за знака «плюс»).

Последнее же слагаемое в (4) в виде $Mg' l_{\text{юз}} 10^{-3} 42,5$ совершенно не вписывается в понятие механики, поскольку, возможно, что число 42,5 является надуманным значением.

Анализ (4) позволяет отметить, что его левая часть, представляющая собой изменение кинетической энергии вагона (отцепа) при его падении по вертикали (см. рис. 1), полностью расходуется на выполнение работы по преодолению только «сдвигающих» сил $F_{\text{сд}}$, направленных по горизонтали, что никак не соответствует физическому смыслу движения тела по уклону горки (поскольку рассматривается задача корректировки точки перелома продольного профиля горки [13]).

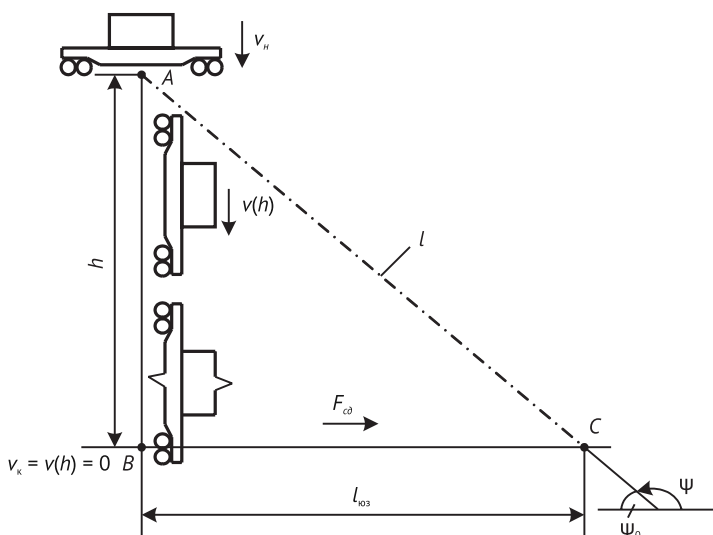


Рис. 1. Движение вагона по вертикали как свободно падающего тела

v_H – начальная скорость вагона; h – высота падения тела; $l_{юз}$ – длина юза; l – длина уклона профиля горки; v_K – конечная скорость вагона, равная нулю (т. е. $v_K(h) = 0$); ψ – угол уклона в точке перелома; F_{cd} – «сдвигающая» сила, в действительности равная $Mg'\sin\psi = G\sin\psi$

Если даже в (1) или (2) $l_{юз}$ означает не длину юза, а длину уклона горки l , то изменение кинетической энергии при падении вагона по вертикали было бы израсходовано на выполнение работы

только «сдвигающих» сил F_{cd} , направленных по уклону горки, что само собой ошибочно (рис. 2).

В итоге получилось так, что изменение кинетической энергии свободно

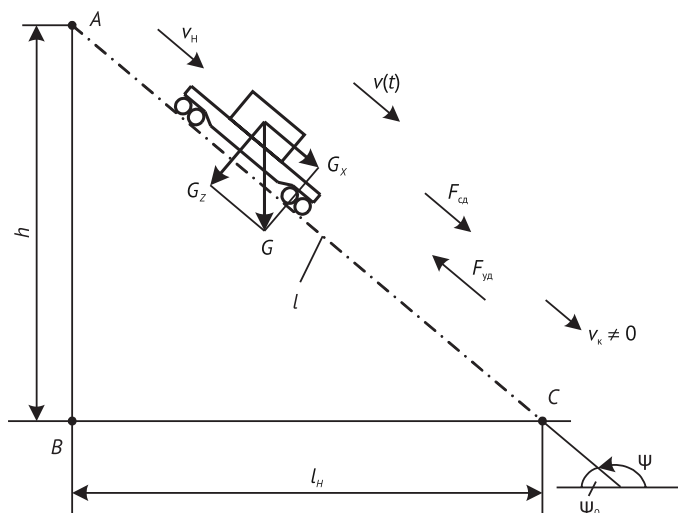


Рис. 2. Движение вагона по уклону профиля горки

v_H – начальная скорость вагона; h – проекция длины уклона горки на вертикаль; l_H – проекция длины уклона горки на горизонталь; l – длина уклона профиля горки; v_K – конечная скорость вагона; ψ – угол уклона в точке перелома; F_{cd} – «сдвигающая» сила (равная $G_x = Mg'\sin\psi = G\sin\psi$); $G_z = Mg'\cos\psi = G\cos\psi$ – проекция силы тяжести вагона на ось, перпендикулярную к уклону горки; $F_{уд}$ – «удерживающая» сила (сумма сила сопротивлений всякого рода)

падающего по вертикали тела (вагона) затрачивается на выполнение работы по деформированию рельсовых нитей, шпал и земляного полотна, а не на погашение работы сил сопротивлений $F_{уд}$, направленных по уклону горки [3]. При этом конечная скорость вагона $v_k(h) = 0$ и происходит полное разрушение вагона из-за его соударения с рельсовыми нитями (см. рис. 1).

О дальнейшем движении вагона и речи не должно быть.

Продолжая обсуждение результатов исследований [13], отметим, чтобы кинетическая энергия (безотносительно рассматриваемому телу) была израсходована на выполнение работ «сдвигающих» $F_{сд}$ и «удерживающих» $F_{уд}$ сил (см. рис. 2), следовало бы представить (4) в виде

$$M \frac{v_k^2}{2} - M \frac{v_n^2}{2} = Mg'l_{юз} 10^{-3} i_{тп} - Mg'l_{юз} 10^{-3} w_0 - Mg'l_{юз} 10^{-3} 42,5. \quad (4, a)$$

Поделив обе части (4, а) на массу груза M и разделяя на g' , можно представить левую часть полученного выражения в виде

$$\frac{v_k^2 - v_n^2}{2g'} = l_{юз} 10^{-3} i_{тп} - l_{юз} 10^{-3} w_0 - l_{юз} 10^{-3} 42,5. \quad (4, б)$$

В этом случае левую часть полученного выражения согласно [4–12] называют «энергетической высотой». Получилось так, что такая высота равна разности противолежащего катета AB и гипотенузы BC , уменьшенной в 1000 раз (см. рис. 2), что показывает на потерю физического смысла. Такая формула (без последнего вычитаемого) в [4–12]* вот уже 75 лет используется при расчете сортировочных горок и является классической.

В соответствии с этим, имея ввиду, что (1) является глубоко ошибочным, (2) следовало бы представить хотя бы в виде

$$i_{тп} = \frac{v_k^2 - v_n^2}{l_{юз} 2g' 10^{-3}} + w_0 + 42,5. \quad (2, a)$$

Отсюда прослеживается полное отсутствие научной и практической ценности работ, подобных [13], где в качестве теоретической базы использованы результаты работ [4–12].

Исходя из этого и учитывая, что исследователи по расчёту и проектированию сортировочных горок вот уже более 75 лет не замечают некорректности работ [5–9, 11, 12], считаем, что построение математических моделей скатывания вагона на втором скоростном участке сортировочной горки при воздействии встречного ветра малой величины является актуальной проблемой железнодорожного транспорта и транспортной науки.

Настоящая статья является продолжением [16–18] по разработке нового научного направления по расчёту и проектированию сортировочной горки на основе принципа Даламбера в координатной форме [19]. Особо оговоримся, что в данном случае математические модели движения вагона аналогичны ранее рассмотренными моделями в [1, 2].

Попытаемся, как и в [1, 2], разработать математическую модель второго скоростного участка сортировочной горки при воздействии встречного ветра малой величины, т. е. $v_{тв} = \text{const}$.

Требуется получить аналитические формулы для расчёта второго скоростного участка сортировочной горки при воздействии встречного ветра, позволяющие найти кинематические параметры проектируемого участка горки (время и скорость скатывания вагона) при заданных геометрических параметрах (уклон и длина).

* Обобщая результаты критического анализа только одной научной работы [13], можно отметить, к чему приводят (или уже привели) результаты глубоко ошибочных теоретических подходов при рассмотрении динамики скатывания вагона (отцепа) [4] при написании учебников и учебных пособий для студентов высшего профессионального образования на железнодорожном транспорте [5–9, 11, 12] и исследовательских работ [10, 13] в течение более 75 лет.

Как и в [1, 2], воспользуемся классическими положениями теоретической механики: законом Кулона, основным принципом Даламбера в координатной форме [19] и основными понятиями дифференциального и интегрального исчисления [20].

Рассмотрим общий случай, когда вагон с сортировочной горки, как и в [1, 2], скатывается поступательно с заданной начальной скоростью v_{02} (например, 6,032 м/с). При скатывании одиночного вагона (или отцепа) с горки вагон будет испытывать воздействие в основном внешних сил в виде сил тяги вагона с грузом или без груза – \bar{G} и силы аэродинамического сопротивления встречного ветра – $\bar{F}_{\text{рв}}$ (где $(\bar{F}_{\text{рв}}, \bar{F}_{\text{прв}}) \in \bar{F}_{\text{рв}}$).

При этом особо оговоримся, что здесь будем рассматривать случай, когда сила аэродинамического сопротивления \bar{F}_{PR}

(в отличие от [16–18], где $\bar{F}_{\text{гб}} = f(\bar{v}_{\text{гб}}^2)$) из-за малой скорости ветра (например, при встречном ветре 4÷6 м/с) будем считать постоянной по величине, т. е. $\bar{F}_{\text{гб}} = \text{const.}$

Пусть вагон движется поступательно с переносной скоростью $v_{ex} = v = v_e \cos(\psi_{02})$ (отыскиваемая величина) с сортировочной горки относительно неподвижной системы координат $Oxyz$ (рис. 3).

Считаем, что вектор относительной скорости частиц воздуха (скорость ветра) $\vec{v}_{r,b}$ направлен под углом λ к горизонту (ось Ox) и расположен на горизонтальной плоскости H , а вектор переносной скорости (скорость вагона) $\vec{v}_e = \vec{v} = \vec{v}_b$ расположен на вертикальной плоскости V и направлен под углом ψ_{01} к горизонту, т. е. $v_{ex} = v = v_e \cos(\psi_{02})$.

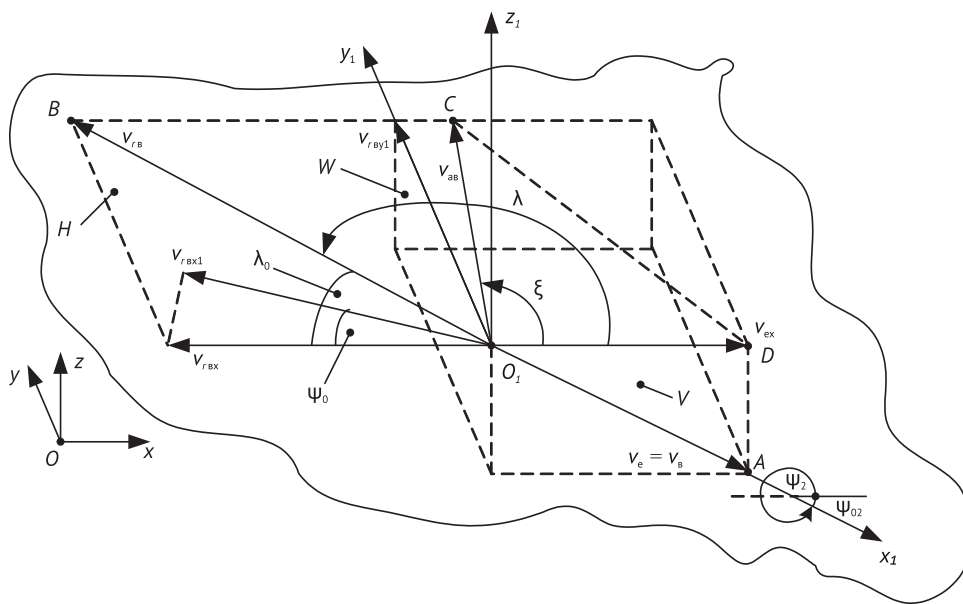


Рис. 3. Векторная диаграмма скорости вагона и встречного ветра на втором скоростном участке горки

О – начало подвижной системы координат $Oxyz$, жёстко связанной с вершиной горки; H и V – горизонтальная и вертикальная плоскости; \bar{V}_{r2} – относительная скорость частиц воздуха (скорость ветра) по отношению к подвижной системе отсчёта $Oxyz$ (вагон); λ – направляющий угол вектора относительной скорости частиц воздуха по оси Ox ; \bar{V}_{aB} – абсолютная скорость частиц воздуха по отношению к земле (к вершине горки (величина задаваемая); ξ – направляющий угол вектора абсолютной скорости частиц воздуха по оси Ox (величина задаваемая), имея в виду, что обычно принимают $\xi = 15^\circ \div 30^\circ$, а при лобовом ветре $\xi = 0$ (как и в [1, 2])

Будем иметь в виду, что при проектировании сортировочной горки такие её кинематические параметры, как проекция длины на горизонталь l_{r2} и угол уклона (спуска) ψ_{02} принимают методом подбора согласно принятой рекомендации [4–9, 11, 12]. Например, $l_{r2} \approx (33 \div 36)$ м, $\text{tg}\psi_{02} = (0,025 \div 0,03)$ рад (или $\psi_{02} = (1,432 \div 1,719)$ град). По данным l_{r2} и $\text{tg}\psi_{02}$ определяют высоту горки h_2 . Далее по значениям l_{r2} и h_2 вычисляют длину уклона горки l_2 в виде, м:

$$h_2 = l_{r2} \text{tg}(\psi_{02}), \quad l_2 = \sqrt{h_2^2 + l_{r2}^2}$$

$$\text{или } l_2 = \frac{l_{r2}}{\cos(\psi_{02})}. \quad (6)$$

Например, если исходные данные таковы, что $l_{r2} = 33,63$ м, $\text{tg}\psi_{02} = 0,028$ рад, то $h_2 = 0,942$ м, $l_2 = 33,643$ м.

Упрощённая модель воздействия сил на систему «вагон – путь» на втором скоростном участке горки со стрелочной зоной при встречном ветре, учитывающая трение качения колёс вагона со скольжением, как и в [1, 2], представлена на рис. 4.

Пусть расчётная модель движения вагона на втором скоростном участке горки, согласно принципу освобождённости от связей теоретической механики [19], имеет вид, представленный на рис. 5.

Здесь $F_{\text{тр.х}}$ учитывает трение качения колёс о поверхность катания рельсовых нитей и трение скольжения гребней колёс по боковым поверхностям рельсовых нитей из-за воздействия в общем случае поперечной переносной силы инерции $I_{\text{еу}}$ [1] и бокового ветра $F_{\text{рв.б}}$ (при учёте их воздействий, которые на рис. 4 и 5 не показаны), т. е. $F_{\text{тр.х}} = F_{\text{т}} = F_{\text{тр.к}} + F_{\text{тр.ск}}$.

Силовые соотношения на втором скоростном участке горки находят в следующей последовательности [1, 2].

1. Определяют силы аэродинамического сопротивления, воздействующие на вагон вдоль и поперёк (в случае учёта данной силы) вагона, в виде, кН (см. (4) [1]) [21]:

$$F_{\text{рвх}} = 0,5A_{\text{т}}; \quad F_{\text{рвб}} = 0,5A_{\text{б}}, \quad (7)$$

где 0,5 – удельное давление на 1 м² площади, кН/м²; $A_{\text{т}}$ – площадь торце-

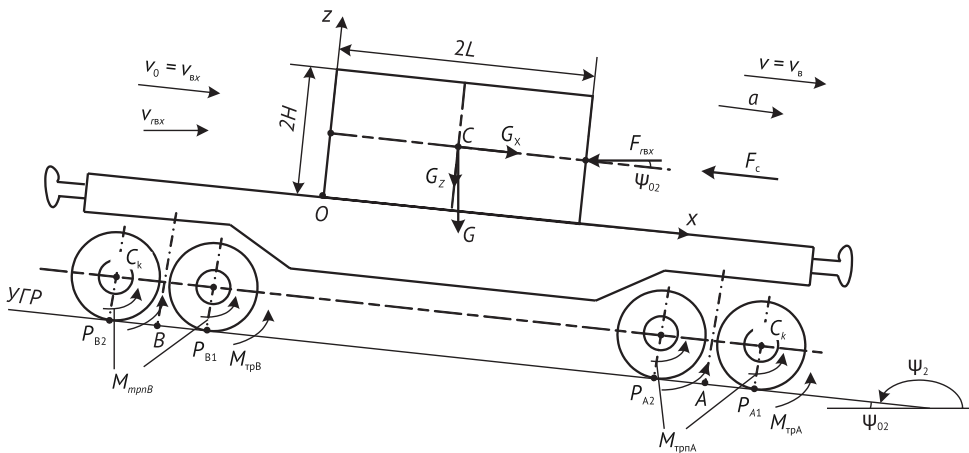


Рис. 4. Упрощённая модель воздействия сил на систему «вагон – путь» на втором скоростном участке горки со стрелочной зоной при встречном ветре

$2L$ и $2H$ – длина и высота груза; ψ_{02} – угол наклона второго скоростного участка; $\bar{v}_0 = \bar{v}_{\text{в.х}}$ – скорость входа вагона на участок; $\bar{v}_{\text{рв.х}}$ – относительная скорость ветра постоянной величины (величина задаваемая, обычно в пределах 4–6 м/с); $\bar{v} = \bar{v}_{\text{в}}$ – переносная скорость (скорость вагона) (величина отыскиваемая); G и G_x, G_z – сила тяжести вагона с грузом и её проекции на ось Ox и Oz ; $F_{\text{рвх}}$ – сила аэродинамического сопротивления, рассматриваемая как «движущая» сила попутного ветра; $F_{\text{с}}$ – силы сопротивления всякого рода (среды, стрелок, кривых, снега и инея). Все остальные обозначения на рис. 4 такие же, как и в [1, 2].

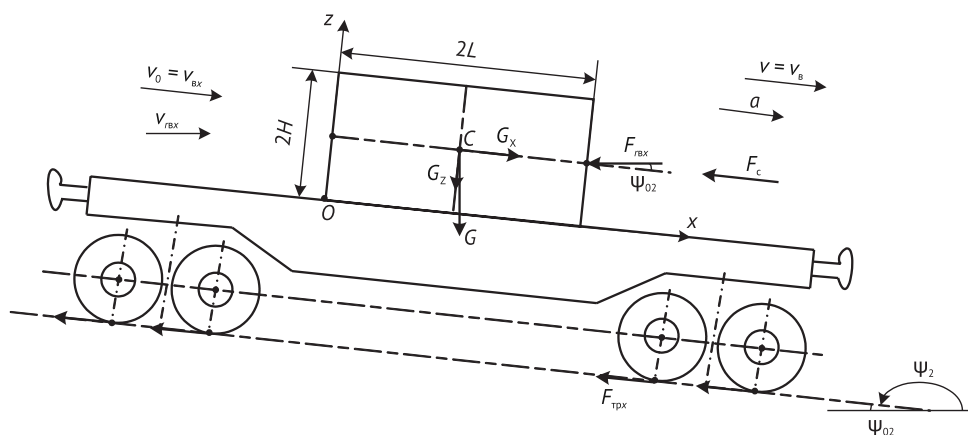


Рис. 5. Упрощённая расчётная модель движения вагона по профилю горки при встречном ветре (все обозначения на рис. 5 такие же, как и на рис. 4)

вой поверхности вагона с грузом, м²: $A_n = 2B \times 2H$ с учётом того, что в ней $2B$ и $2H$ – ширина и высота наветренных поверхностей вагона с грузом, м; A_6 – площадь боковой поверхности вагона с грузом, м²: $A_6 = 2L \times 2H$ с учётом того, что в ней $2L$ – длина боковых наветренных поверхностей вагона с грузом, м.

2. Вводя понятия «сдвигающих» и «удерживающих» сил, вычисляют все силы, действующие на скатывающийся вагон, кН:

– «сдвигающие» силы $F_{сд.х}$ (т. е. проекции силы тяжести вагона с грузом (или отцепа) на направление скатывания вагона)

$$F_{сд.х} = G \sin(\psi_{02}); \quad (8)$$

– «удерживающие» $F_{уд.х}$ (т. е. силы сопротивления движению вагона в виде силы аэродинамического сопротивления, трения качения и скольжения (только при учёте бокового ветра) колёс, силы сопротивления движению всякого рода)

$$F_{уд.х} = F_{рвх} \cos(\psi_{02}) + F_{тр.к} + F_c + F_{тр.ск}, \quad (9)$$

где $F_{тр.к}$ – сила трения качения;

F_c – силы сопротивления всякого рода в виде (см. (7) [1]):

$$F_c = F_{ср} + F_{стр} + F_{с.и} + F_{кр}, \quad (10)$$

с учётом того, что в ней $F_{ср}$, $F_{стр}$, $F_{с.и}$ и $F_{кр}$ – силы сопротивления движению вагона от среды и стрелок (как дополнительное сопротивление), снега и инея (как эпизодическое сопротивление), а также от кривых (как дополнительное сопротивление) [4–9, 11, 12];

$F_{тр.ск}$ – сила трения скольжения при учёте воздействия поперечной переносной силы инерции I_{cy} и бокового ветра $F_{рв.б}$ (при учёте таких сил).

Перепишем (9) с учётом (10) в виде (см. (8) [1]):

$$F_{уд.х} = F_{рвх} \cos(\psi_{02}) + F_{тр.к} + F_{ср} + F_{стр} + F_{с.и} + F_{кр} + F_{тр.б}. \quad (11)$$

В (11) каждую слагаемую можно найти по формулам (см. (9) [1]):

$$F_{тр.к} = f_0 (G \cos(\psi_{02}) + F_{рвх} \sin(\psi_{02})), \quad (12)$$

где f_0 – некоторый условный (или приведённый) коэффициент трения скольжения, учитывающий количество колёс в тележках, трение качения (по кольцам подшипника и колесо по рельсу); по расчётным данным обычно порядка 0,0001 (см. (10) [1]) [2];

$$\begin{aligned} F_{ср} &= k_{ср} G; F_{стр} = k_{стр} G; \\ F_{с.и} &= k_{с.и} G; F_{кр} = k_{кр} G, \end{aligned} \quad (13)$$

где $k_{ср}$ – коэффициент, учитывающий долю силы тяжести G при учёте сопротивления среды (обычно принимают в пределах $0,0005 \div 0,00011$ при скорости встречного ветра от 4 до 6 м/с) [4, с. 182]; $k_{с.и}$ и $k_{кр}$ – коэффициенты, показывающие по существу доли силы тяжести G при учёте сопротивления движению вагона от ударов на стрелочных переводах, от снега и инея и кривых [4–9, 11, 12];

$$F_{тр.ск} = f_{ск0}(I_{еу} + F_{рвб}); \quad (14)$$

где $f_{ск0}$ – коэффициент трения скольжения гребней колес к боковой поверхности рельсовой нити (обычно принимают $f_{ск0} = 0,25$, однако такая величина требует уточнений); $I_{еу}$ – поперечная переносная сила инерции, определяемая как $I_{еу} = k_{д.у}G$ с учётом того, что в ней $k_{д.у}$ – коэффициент поперечной динамики вагона (обычно ориентировочно принимают 0,01) (см. (11) [1]); $F_{рвб}$ – сила аэродинамического сопротивления при воздействии бокового ветра, кН.

В (13) коэффициенты $k_{ср}$, $k_{к.}$ и $k_{с.и}$ обычно принимают ориентировочно. Так, например, $k_{ср} = 0,0025$ (допуская при этом возможность принятия и другой величины); $k_{кр} = 0,012\alpha_1/l_{кр}$ [4], где α_1 – угол поворота кривой в стрелочной зоне, град, $l_{кр}$ – длина кривой, м; $k_{с.и} = 0,0001 \div 0,0004$ (обычно для груженых вагонов принимают 0,0001 при $t = -10$ °С, 0,0002 при $t = -20$ °С, 0,0004 при $t = -30$ °С).

Подставляя (12)–(14) в (11), силу $F_{уд.х}$ представим в виде (для сравнения см. (12) [1])

$$\begin{aligned} F_{уд.х} = & F_{рвх} \cos(\psi_{02}) + \\ & + f_0(G \cos(\psi_{02}) + F_{рвх} \sin(\psi_{02})) + \\ & + (k_{ср} + k_{ср} + k_{с.и} + k_{кр})G + \\ & + f_{ск0}(I_{еу} + F_{рвб}). \end{aligned} \quad (15)$$

Особо отметим, что в (15) вторым слагаемым во второй скобке в виде $f_0 F_{рвх} \sin(\psi_{01})$ можно пренебречь из-за малости величин. Так, например, если $f_0 G \cos(\psi_{01}) = 0,094$, то $f_0 F_{рвх} \sin(\psi_{01}) =$

$= 0,000016$. Возможно, что в (15) сила сопротивления F_c больше, чем сила трения скольжения при воздействии бокового ветра $F_{тр.б}$ (при условии учёта появления этой силы). Так, например, если $F_c = 4,756$ кН, то $F_{тр.б} = 3,42$ кН.

Примерные расчеты показывают, что в (15) на движение вагона на втором скоростном участке горки превалирующее влияние оказывает сила сопротивления всякого рода F_c , а при учёте $I_{еу}$ и $F_{тр.б}$ их влияние весьма ощутимо в сравнении с F_c , т. е. $F_c < F_{тр.ск}$.

Особо оговоримся, что для оценки влияния поперечной переносной силы инерции $I_{еу}$ и бокового ветра $F_{тр.б}$ на значения «удерживающих» сил $F_{уд.х}$ следует провести специальные исследования. При этом не исключено, что силу сопротивления от кривых $F_{кр}$ следует исключить из расчёта потому, что влияние $F_{кр}$ на движение вагона уже учтено силами трения скольжения колёс $F_{тр.ск}$, т. е. $F_{кр} \ll F_{тр.ск}$.

Условием движения вагона на втором скоростном участке горки является выполнение неравенства (см. (10) [2])

$$F_{сд.х} \gg F_{уд.х}. \quad (16)$$

Будем иметь в виду, что сила трения качения $F_{тр.к}$ как основное сопротивление, сила сопротивления движению вагона от среды $F_{ср}$ и сила трения скольжения при учёте бокового ветра $F_{тр.б}$ воздействуют на систему «вагон – путь» на всем протяжении второго скоростного участка за время t , а силы сопротивления движению вагона от стрелок (как дополнительное сопротивление), снега и инея (как эпизодическое сопротивление) с запаздыванием во времени на величину t_1 , а от кривых (как дополнительное сопротивление) – с запаздыванием во времени на величину t_2 при учёте силы трения скольжения от воздействия поперечной переносной силы инерции $I_{еу}$, т. е. $t > t_1 > t_2$.

Учитывая это, в отличие от (15), «удерживающую» силу $F_{уд.х}$ можно представить с использованием безразмерной

«запаздывающей» единичной функции Хевисайда (см. (13) [1]) [2, 22]:

$$F_{уд.х} = [F_{рвх} \cos(\psi_{02}) + f_0(G \cos(\psi_{02}) + F_{рвх} \sin(\psi_{21})) + k_{ср.}G + f_{ск0}F_{рвб}] \tilde{A}_0(t) + (k_{стр.} + k_{с.и})G \tilde{A}_0(t - t_1) + (k_{кр.}G + f_{ск0}I_{ey}) \tilde{A}_0(t - t_1 - t_2), \quad (17)$$

где $\sigma_0(t - t_i)$ – безразмерная запаздывающая единичная функция Хевисайда, позволяющая представить время t при любом значении координаты t_i в интервале $0 \leq t \leq t_i$, причём $\sigma_0(t - t_i) = 0$ при $t_i < t$.

Из (17) становится очевидным, что $F_{уд.х}$ следует определить в соответствии со временем прохождения вагона отдельно до первой стрелки за время t , от первой стрелки до второй за время t_1 , а также от второй стрелки с учётом кривой t_2 до конца первого скоростного участка горки:

$$F_{уд.х1} = [F_{рвх} \cos(\psi_{02}) + F_{тр.к} + k_{ср.}G + f_{ск0}F_{рвб}] \sigma_0(t); \quad (17, а)$$

$$F_{уд.х2} = (k_{стр.} + k_{с.и})G \sigma_0(t - t_1); \quad (17, б)$$

$$F_{уд.х3} = (k_{кр.}G + f_{ск0}I_{ey}) \sigma_0(t - t_1 - t_2). \quad (17, в)$$

При этом допускаем, что количество и сочетания стрелок и кривых на первом скоростном участке горки в зависимости от количества путей на сортировочной горке могут быть и иными, чем те, которые представлены в (17, б) и (17, в). Также особо отметим, что «удерживающая» сила по (17, б) имеет кратковременный (ударный) характер и она не может влиять на силы сопротивления на всём протяжении второго скоростного участка горки. При этом вполне возможно, что силы сопротивления стрелок $F_{стр.}$ (например, $k_{стр.}G = 2,27$ кН), от снега и инея $F_{с.и}$ (например, $k_{с.и}G = 0,227$ кН), от кривых $F_{кр.}$ (например, $k_{кр.}G = 1,533$ кН) значительно больше, чем силы сопротивления от трения качения $F_{тр.к}$ (например, $0,094$ кН) и среды $F_{ср.}$ (например, $k_{ср.}G = 0,726$ кН) вместе взятые (т. е. первые два слагаемые в (17, а)). Поэтому,

если не учитывать силы воздействия бокового ветра, то (17, а) можно и пренебречь сравнительно с (17, б) и (17, в).

Запишем основной закон динамики с неидеальной связью (или принцип Даламбера) в координатной форме [19]

$$M \frac{dv_{a.x}}{dt} = \sum_{k=1}^n F_{kx} + \sum_{k=1}^n R_{kx},$$

где M – масса вагона с грузом (или без груза) с учётом массы вращающихся частей (колёсных пар), кг;

$F_x = F_{сд.х} = \text{const}$ – проекции всех активных («сдвигающих») сил на направления скатывания вагона (ось Ox), Н;

$R_x = F_{уд.х} = \text{const}$ – проекции всех реактивных («удерживающих») сил на ось Ox , Н.

Подставляя (6) и (12) в принцип Даламбера, будем иметь (см. (11) [2]):

$$M \frac{dv}{dt} = F_{сд.Е} - F_{уд.Е}, \quad (18)$$

где $F_{сд.х}$ и $F_{уд.х}$ – «сдвигающие» и «удерживающие» силы на втором скоростном участке горки, определяемые при допущении, что в это время воздействие встречного ветра величина постоянная, т. е. $F_{рв.х} = \text{const}$.

Перепишем уравнение (18) в виде дифференциального уравнения движения вагона на рассматриваемом участке горки (см. (12) [2]):

$$M \frac{dv}{dt} = F_{02}. \quad (19)$$

где $F_{02} = F_{сд.х} - F_{уд.х} > 0$ – сила сопротивления движению вагона, поскольку $F_{сд.х} \gg F_{уд.х}$, Н.

Начальные условия задачи Коши при $t = 0$: $v(0) = v_{02}$ (где v_{02} – скорость входа вагона на второй скоростной участок горки, например, $v_{02} = 5,833$ м/с).

Разделяя переменные в (19), получим [20]:

$$dv = \frac{F_{02}}{M} dt.$$

Взяв интегралы от обеих частей последнего равенства, будем иметь:

$$\int_{v_0}^v dv = \frac{F_{02}}{M} \int_0^t dt.$$

После интегрирования получим известную из элементарной физики формулу скорости тела при ускоренном движении [1, 2]:

$$v_2 = v_{02} + a_2 t_2, \quad (20)$$

где a – ускорение, при котором происходит прямолинейное равноускоренное движение вагона, м/с^2 (см. (13) [2]):

$$a_2 = \frac{F_{02}}{M}. \quad (21)$$

Выражения (19) и (21) – это одинаковое математическое представление второго закона Ньютона при абсолютном движении: при воздействии на тело с массой M внешней силы F_{02} постоянной величины данное тело совершает прямолинейное равноускоренное движение с ускорением a_2 . В [4–12] даже нет упоминания, что вагон на скоростном участке горки движется ускоренно с ускорением a_2 .

Из (17) становится очевидным, что ускорение a_2 по (21) следует определить в соответствии со временем прохождения вагона отдельно до первой стрелки за время t , от первой стрелки до второй за время t_2 , а также от второй стрелки с учётом кривой t_3 до конца первого скоростного участка горки.

Анализируя (21), заметим, что вагон (или отцеп) на втором скоростном участке горки при воздействии встречного ветра совершает прямолинейное равноускоренное движение. При этом на данном участке горки ускорение a_2 зависит от всех сил, действующих на систему «вагон – путь» ($F_{\text{сд.х}} = f(G)$ и $F_{\text{уд.х}} = f(F_{\text{гв.х}}, F_{\text{тр.к}}, F_{\text{с}}, F_{\text{гв.б}})$ (см. рис. 2) и от массы вагона (отцепа) с грузом (или без груза) M с учётом массы колёсных пар, т. е. $a_2 = f(M, F_{\text{сд.х}}, F_{\text{уд.х}})$.

Например, при исходных данных: $M = 9,256 \cdot 10^4$ – масса вагона с грузом с учётом массы вращающихся деталей (колёсных пар), кг; $F_{\text{сд.х}} = 25,421$ – «сдвигающая» сила, $F_{\text{уд.х}} = 8,041$ – «удерживающая» сила (при отсутствии бокового ветра), кН, т. е. при $F_{\text{сд.х}} \gg F_{\text{уд.х}}$ и $F_0 = 17,38$ – сила, при воздействии

которой вагон скатывается по уклону горки (т. е. разность «сдвигающей» и «удерживающей» сил), кН, ускорение при отсутствии бокового ветра $a_2 = 0,188 \text{ м/с}^2$, а при учёте поперечной переносной силы инерции и бокового ветра – $0,151 \text{ м/с}^2$.

Переписывая (20) с учётом того, что $v = v_e \cos(\psi_{01})$ [1, 2], найдём переносную скорость вагона $v_e(t)$ на втором скоростном участке горки (см. рис. 3), м/с (см. (14) [2]):

$$v_{e2}(t) = \frac{1}{\cos(\psi_{02})} (v_{02} + a_2 t). \quad (22)$$

Отсюда ясно, что скорость вагона $v_e(t)$ на втором скоростном участке горки с течением времени t описывается по линейно возрастающему закону (22): вагон на рассматриваемом участке горки быстро набирает скорость.

Как видно, переносная скорость вагона $v_e(t)$ с течением времени t зависит от угла наклона скоростного участка горки ψ_{02} , начальной скорости v_{02} и ускорения вагона a_2 , т. е. $v_e(t_2) = f(\psi_{02}, v_{02}, a_2, t_2)$. В [4–9, 11, 12] скорость в конце второго скоростного участка горки $v_{\text{к}2}$, согласно (5), зависит только от высоты этого участка h_2 , т. е. $v_{\text{к}2} = f(h_2)$, что является глубоко ошибочным и не соответствующим понятиям элементарной физики [14].

Далее, учитывая, что $v_e(t) = \frac{dx}{dt}$, пе-

репишем (22) в виде дифференциального уравнения движения вагона при его ускоренном движении

$$\frac{dx_2}{dt} = \frac{1}{\cos(\psi_{02})} (v_{02} + a_2 t).$$

Начальные условия задачи Коши при $t = 0$: $x(0) = 0$.

Умножая обе части последнего равенства на dt , будем иметь

$$dx_2 = \frac{1}{\cos(\psi_{02})} (v_{02} + a_2 t) dt.$$

Интегрируем полученное уравнение в пределах от 0 до t :

$$x_2 = \frac{1}{\cos(\psi_{02})} \int_0^t (v_{02} + a_2 t) dt.$$

Отсюда окончательно получим пройденное расстояние (путь) вагона с течением времени t на рассматриваемом участке горки, м (см. (15) [2]):

$$x_2(t) = \frac{1}{\cos(\psi_{02})} \left(v_{02} t + \frac{1}{2} a_2 t^2 \right). \quad (23)$$

Очевидно, что пройденное расстояние (путь) вагона $x_2(t)$ с течением времени t описывается согласно квадратичному закону (23); при этом, увеличиваясь нелинейно, оно может достигать постоянной величины.

Анализируя (23), убеждаемся, что $x_2(t)$ с течением времени t зависит от угла наклона скоростного участка горки ψ_{02} , начальной скорости v_{02} и ускорения вагона a_2 , т. е. $x_2(t) = f(\psi_{02}, v_{02}, a_2, t_2)$. Но в [4–9, 11, 12] об этом также не упоминается.

Из выражения (23) при $t = 0$ будем иметь $x = 0$, т. е. начальное условие задачи соблюдается.

Отметим, что (22) и (23) представляют собой хорошо известные из курса элементарной физики формулы скорости и пути при ускоренном движении тела [14].

Заметим, что по (20) можно найти время t_2 , с, в течение которого происходит скатывание вагона, совершающего прямолинейное равноускоренное движение на данном участке горки длиной l_2 , м (см. (16) [2]):

$$t_2 = \frac{-v_{02} + \sqrt{v_{02}^2 - 2a_2 l_2 \cos(\psi_{02})}}{a_2}. \quad (24)$$

Анализируя (24), убеждаемся, что время t_2 , в течение которого происходит скатывание вагона на рассматриваемом участке горки, зависит от угла наклона скоростного участка горки ψ_{02} , начальной скорости v_{02} , ускорения вагона a_2 и длины этого участка l_2 , т. е. $t_2 = f(\psi_{02}, v_{02}, a_2, l_2)$. Например, для заданных исходных данных $v_{02} = 5,833$ м/с, $l_2 = 33,643$ м, $\cos(\psi_{02}) = 0,999$ рад, $a_2 = 0,188$ м/с² $t_2 = 5,311$ с, а при учёте по-

перечной переносной силы инерции и бокового ветра – $t_2 = 5,39$ с.

Отметим, что используя (24), по (22) легко найти скорость вагона (отцеп) в конце второго скоростного участка горки $v_{e2}(t_2)$. Так, например, для заданных исходных данных $v_{02} = 5,833$ м/с, $a_2 = 0,188$ м/с², $t_2 = 5,311$ с $v(t_2) = 6,833$ м/с, или 24,6 км/ч (при учёте поперечной переносной силы инерции и бокового ветра 6,649 м/с, или 23,94 км/ч).

Отсюда становится очевидным, что определение скорости вагона по формуле свободно падающего тела, как это выполняют в течение более 75 лет [4–9, 11, 12], противоречит основным положениям скатывающегося тела по наклонной плоскости [1, 2, 14].

Таким образом, с использованием принципа Даламбера, метода разделения переменных и таблиц простых интегралов впервые выведены конечные аналитические формулы для определения времени t_2 и скорости вагона $v_e(t_2)$ в конце рассматриваемого участка горки при воздействии встречного ветра. При этом также получены формулы для определения скорости $v_{e2}(t)$ и пройденного расстояния (путь) $x_2(t)$ вагона на втором скоростном участке горки с течением времени t .

Выводы

На основе классических положений теоретической механики получены простые на вид математические модели скатывания вагона на втором скоростном участке сортировочной горки при воздействии силы тяжести вагона с грузом (или без него) и встречного ветра малой величины в сочетании с силами сопротивлений, появляющимися при движении системы «вагон – путь».

Выявлено, что вагон (или отцеп) на втором скоростном участке горки совершает прямолинейное равноускоренное движение. При этом на данном участке горки ускорение a_2 зависит от всех сил, воздействующих на систему «вагон – путь» ($F_{сд,x} = f(G)$ и $F_{уд,x} = f(F_{гв,x}, F_{тр,к}, F_{с,}, F_{тр,кр})$) и от массы вагона (отцеп) с грузом

(или без груза) M с учётом массы колёсных пар, т. е. $a_2 = f(M, F_{\text{сд.х}}, F_{\text{уд.х}})$.

На основе формулы пройденного расстояния (путь) вагона на втором скоростном участке сортировочной горки, известной из курса элементарной физики, впервые получена простая на вид формула для определения времени скатывания вагона на этом участке горки t_2 . При этом выявлено, что время t_2 , в течение которого происходит скатывание вагона на рассматриваемом участке горки, зависит от угла наклона скоростного участка горки ψ_{02} , начальной скорости v_{02} , ускорение вагона a_2 и длины этого участка l_2 , т. е. $t_2 = f(\psi_{02}, v_{02}, a_2, l_2)$.

На основе формулы для определения времени скатывания вагона на скоростном участке горки определена скорость скатывания вагона в конце проектируемого участка $v_e(t_2)$. При этом установлено, что переносная скорость вагона $v_e(t_2)$ с течением времени t_2 зависит от угла наклона скоростного участка горки ψ_{02} , начальной скорости v_{02} и ускорение вагона a_2 , т. е. $v_e(t_2) = f(\psi_{02}, v_{02}, a_2, t_2)$.

Результаты выполненных исследований могут быть использованы для корректного определения рациональных геометрических параметров (профиль) сортировочной горки. ■

Литература

1. Туранов Х. Т. Аналитическое определение времени скатывания вагона на втором скоростном участке сортировочной горки при воздействии попутного ветра малой величины / Х. Т. Туранов, А. А. Гордиенко // Наука и техника транспорта. 2015. № 2. С. 16–24.
2. Туранов Х. Т. Аналитическое описание движение вагона на первом скоростном участке сортировочной горки при воздействии встречного ветра малой величины / Х. Т. Туранов, А. А. Гордиенко // Транспорт Урала. 2015. № 2. С. 34–37. ISSN 1815-9400.
3. Туранов Х. Т. Некоторые проблемы теоретической предпосылки динамики скатывания вагона по уклону сортировочной горки / Х. Т. Туранов, А. А. Гордиенко // Бюллетень транспортной информации, 2015. № 3 (237). – С. 29–36.
4. Образцов В. Н. Станции и узлы; Ч. II / М. : Трансжелдориздат, 1938. 492 с.
5. Земблинов С. В. Станции и узлы / С. В. Земблинов, И. И. Страковский. – М. : Трансжелдориздат, 1963. – 348 с.
6. Савченко И. Е. Железнодорожные станции и узлы : учеб. для вузов ж.-д. трансп. / И. Е. Савченко, С. В. Земблинов, И. И. Страковский. – М. : Транспорт, 2002. – 479 с. (также см. 1980. – 464 с.). ISBN 978-5-88814-317-9.
7. Железнодорожные станции и узлы : учеб. для вузов ж.-д. трансп. / В. Г. Шубко, Н. В. Правдин и др. – М. : УМК МПС России, 2002. – 368 с. ISBN 5-89035-076-5.
8. Правила и нормы проектирования сортировочных устройств на железных дорогах колеи 1 520 мм. М. : Техинформ, 2003. – 168 с.
9. Железнодорожные станции и узлы (задачи, примеры, расчёты) : учебное пособие для вузов ж.-д. трансп. / Н. В. Правдин, В. Г. Шубко, Е. В. Архангельский и др. / под ред. Н. В. Правдина и В. Г. Шубко. – М. : Маршрут, 2005. – 502 с. ISBN 5-89035-280-6.
10. Бессоненко С. А. Теория расчета сортировочных горок для различных климатических зон : автореф. дисс. ... на соиск. уч. степени д-ра техн. наук. – МИИТ, 2011. – 37 с.
11. Проектирование инфраструктуры железнодорожного транспорта (станции, железнодорожные и транспортные узлы) : учебник / Н. В. Правдин, С. П. Вакуленко, А. К. Голович и др. / под ред. Н. В. Правдина и С. П. Вакуленко. – М. : ФГБОУ «Учебно-методический центр по образованию на железнодорожном транспорте», 2012. – 1086 с. ISBN 978 5 89035 619-2.
12. Железнодорожные станции и узлы : учебник / В. И. Апатцев и др. / под ред. В. И. Апатцева и Ю. И. Ефименко. – М. : ФГБОУ «Учебно-методический центр по образованию на железнодорожном транспорте», 2014. – 855 с. ISBN 978-5-89035-674-1.
13. Бурдяк П. С. Разработка методики определения параметров негорочных сортировочных устройств : автореф. дисс. ... на соиск. уч. степени канд. техн. наук. – Новосибирск, 2015. – 20 с. Защищена 05.06.2015.
14. Пинский А. А. Физика. 7–9 класс / Пинский А. А. [и др.]. – М. : Просвещение, 2011. С. 86–88. ISBN 5-09-007354-6.

15. Алимов Ш. А. Математика. 7 класс / Ш. А. Алимов [и др.]. – М. : Просвещение, 2011. 224 с. ISBN 978-5-09-025169-3.
16. Туранов Х. Т. Уточнённые математические модели скорости скатывания вагона по уклону горки при воздействии силы тяжести и попутного ветра / Х. Т. Туранов, А. А. Гордиенко // Транспорт: наука, техника, управление. 2015. № 1. С. 15–21. ISSN 0236-1914.
17. Туранов Х. Т. Упрощённые математические модели движения вагона по уклону горки при воздействии силы тяжести и попутного ветра / Х. Т. Туранов, А. А. Гордиенко // Транспорт: наука, техника, управление. 2015. № 3. С. 20–24. ISSN 0236-1914.
18. Туранов Х. Т. Исследование движения вагона на прямом участке горки при воздействии попутного ветра / Х. Т. Туранов, А. А. Гордиенко // Транспорт: наука, техника, управление. 2015. № 4. С. 44–49. ISSN 0236-1914.
19. Лойцянский Л. Г. Курс теоретической механики. Т. II. Динамика / Л. Г. Лойцянский, А. И. Лурье. – М. : Наука, 1983. – 640 с. – С. 26–27.
20. Бронштейн И. Н. Справочник по математике для инженеров и учащихся втузов / И. Н. Бронштейн, К. А. Семендяев. М. : Наука, 1980. – 976 с.
21. Приложение 14 к СМГС «Правила размещения и крепления грузов в вагонах и контейнерах». – М. : Планета, 2008. – 191 с.
22. Пчелин В. К. Специальные разделы высшей математики. М. : Высш. шк., 1973. – 464 с.

References

1. Turanov Kh. T. Analiticheskoe opredelenie vremeni skatyvaniya vagona na vtorom skorostnom uchastke sortirovochnoy gorki pri vozdeystvii poputnogo vetra maloy velichiny [Analytical determination of the time of car rolling down on the second high-speed section of hump when exposed to light headwind] / Kh. T. Turanov, A. A. Gordienko // Nauka i tekhnika transporta. 2015. №2. S. 16–24.
2. Turanov Kh. T. Analiticheskoe opisanie dvizheniya vagona na pervom skorostnom uchastke sortirovochnoy gorki pri vozdeystvii vstrechnogo vetra maloy velichiny [Analytical description of the car movement on the first high-speed section of hump when exposed to light headwind] / Kh. T. Turanov, A. A. Gordienko // Transport of the Urals. 2015. № 2. S. 34–37. ISSN 1815-9400.
3. Turanov Kh. T. Nekotorye problemy teoreticheskoy predposylki dinamiki skatyvaniya vagona po uklonu sortirovochnoy gorki [Some problems of the theoretical background of car dynamics when rolling down on hump] / Kh. T. Turanov, A. A. Gordienko // Byulleten transportnoy informatsii, 2015. № 3 (237). – S. 29–36.
4. Obrastsov V. N. Stantsii i uzly; [Stations and junctions;] Ch. II / M. : Transzheldorizdat, 1938. 492 s.
5. Zemblinov S. V. Stantsii i uzly [Stations and junctions;] / S. V. Zemblinov, I. I. Strakovsky. – M. : Transzheldorizdat, 1963. – 348 s.
6. Savchenko I. Ye. Zheleznodorozhnye stantsii i uzly : ucheb. dlya vuzov zh.-d. transp. / [Railway stations and junctions: a textbook for railway universities] I. Ye. Savchenko, S. V. Zemblinov, I. I. Strakovsky. – M. : Transport, 2002. – 479 s. (takzhe sm. 1980. – 464 s.). ISBN 978-5-88814-317-9.
7. Zheleznodorozhnye stantsii i uzly : ucheb. dlya vuzov zh.-d. transp. [Railway stations and junctions: a textbook for railway universities] / V. G. Shubko, N. V. Pravdin i dr. – M. : UMK MPS Rossii, 2002. – 368 s. ISBN 5-89035-076-5.
8. Pravila i normy proektirovaniya sortirovochnykh ustroystv na zheleznikh dorogakh kolei 1 520 mm. [Rules and regulations for the design of marshalling facilities on 1520 mm railways.] M. : Tekhninform, 2003. – 168 s.
9. Zheleznodorozhnye stantsii i uzly (zadachi, primery, raschyoty) : uchebnoe posobie dlya vuzov zh.-d. transp. [Railway stations and junctions (problems, examples, calculations): a textbook for railway universities] / N. V. Pravdin, V. G. Shubko, E. V. Arkhangelsky i dr. / pod red. N. V. Pravdina i V. G. Shubko. – M. : Marshrut, 2005. – 502 s. ISBN 5-89035-280-6.
10. Bessonenko S. A. Teoria rascheta sortirovochnykh gorok dlya razlichnykh klimaticheskikh zon : avtoref. diss. ... na soisk. uch. stepeni d-ra tekhn. nauk. [The theory of design of marshalling yards for different climatic zones: a synopsis of a DSc in Engineering Thesis] – MIIT, 2011. – 37 s.
11. Proektirovanie infrastruktury zheleznodorozhnogo transporta (stantsii, zheleznodorozhnye i transportnye uzly) : ucheb. [Design of railway infrastructure (stations, railway

- and transport junctions): a textbook] / N. V. Pravdin, S. P. Vakulenko, A. K. Golovich i dr. / pod red. N. V. Pravdina i S. P. Vakulenko. – M. : FGBOU «Uchebno-metodichesky tsentr po obrazovaniyu na zheleznodorozhnom transporte», 2012. – 1086 s. ISBN 978-5-89035-619-2.
12. Zheleznodorozhnye stantsii i uzly : uchebnik [Railway stations and junctions: a textbook] / V. I. Apattsev i dr. / pod red. V. I. Apattseva i Yu. I. Yefimenko. – M. : FGBOU «Uchebno-metodichesky tsentr po obrazovaniyu na zheleznodorozhnom transporte», 2014. – 855 s. ISBN 978-5-89035-674-1.
 13. Burdyak P. S. Razrabotka metodiki opredeleniya parametrov negorochnykh sortirovochnykh ustroystv : avtoref. diss. ... na soisk. uch. stepeni kand. tekhn. nauk. [Development of the method of determining the parameters of non-sloped marshalling facilities: a synopsis of a DSc in Engineering Thesis] – Novosibirsk, 2015. – 20 s. Zashchishchena 05.06.2015.
 14. Pinsky A. A. Fizika. 7–9 klass [Physics. Grade 7–9.] / Pinsky A. A. [i dr.]. – M. : Prosveshchenie, 2011. S. 86–88. ISBN 5-09-007354-6.
 15. Alimov Sh. A. Matematika. 7 klass [Mathematics. Grade 7] / Sh. A. Alimov [i dr.]. – M. : Prosveshchenie, 2011. 224 s. ISBN 978-5-09-025169-3.
 16. Turanov Kh. T. Utochnyonnye matematicheskie modeli skorosti skatyvaniya vagona po uklonu gorki pri vozdeystvii sily tyazhesti i poputnogo vetra [Refined mathematical models of car speed rolling down the hump under the influence of gravity and tailwind] / Kh. T. Turanov, A. A. Gordienko // Transport: nauka, tekhnika, upravlenie. 2015. № 1. S. 15–21. ISSN 0236-1914.
 17. Turanov Kh. T. Uproshchyonnye matematicheskie modeli dvizheniya vagona po uklonu gorki pri vozdeystvii sily tyazhesti i poputnogo vetra [Simplified mathematical models of car motion down the hump under the influence of gravity and tailwind] / Kh. T. Turanov, A. A. Gordienko // Transport: nauka, tekhnika, upravlenie. 2015. № 3. S. 20–24. ISSN 0236-1914.
 18. Turanov Kh. T. Issledovanie dvizheniya vagona na pryamom uchastke gorki pri vozdeystvii poputnogo vetra [The study of car motion on a straight section of hump under the influence of tailwind] / Kh. T. Turanov, A. A. Gordienko // Transport: nauka, tekhnika, upravlenie. 2015. № 4. S. 44–49. ISSN 0236-1914.
 19. Loytsyansky L. G. Kurs teoreticheskoy mekhaniki. T. II. Dinamika [A course of theoretical mechanics. Vol. II. Dynamics.] / L. G. Loytsyansky, A. I. Lure. – M. : Nauka, 1983. – 640 s. – S. 26–27.
 20. Bronshteyn I. N. Spravochnik po matematike dlya inzhenerov i uchashchikhsya vtuzov [Mathematics handbook for engineers and students of technical colleges] / I. N. Bronshteyn, K. A. Semendyaev. M. : Nauka, 1980. – 976 s.
 21. Prilozhenie 14 k SMGS «Pravila razmeshcheniya i krepleniya gruzov v vagonakh i konteynerakh». [Appendix 14 to SMGS «Rules of placement and fastening of cargoes in cars and containers»] – M. : Planeta, 2008. – 191 s.
 22. Pchelin V. K. Spetsialnye razdely vysshey matematiki. [Special sections of higher mathematics.] M. : Vyssh. shk., 1973. – 464 s.

Статья сдана в редакцию 9 апреля 2015 года

УДК 656.25

М. А. Оськаина

Управление светофорами по волоконно-оптическим линиям связи

UDK 656.25

М. А. Oskina

Traffic light control via fiber optic communication lines

Аннотация

Выполнен анализ работы устройства управления светофором, где в качестве сигнального кабеля используется волоконно-оптическая линия связи (ВОЛС). Получены основные уравнения для расчета параметров элементов устройства. Показано, что применение ВОЛС определяет получение ряда преимуществ по сравнению с использованием в устройствах автоматики и телемеханики металлосодержущих кабелей. Сделан вывод, что предложенное устройство может быть использовано не только для управления светофорами, но и для других устройств, располагающихся на значительном расстоянии от поста управления.

Ключевые слова: светофор; светодиоды; фотодиоды; оптический излучатель; волоконно-оптическая линия связи; безопасный элемент; сигнальный кабель; световод; МОП-транзисторы.

Summary

An analysis of operation of traffic lights control device has been performed, where fiber-optic communication line (FOCL) is used as a signal cable. Basic equations have been obtained for determining parameters of device components. It is shown that the use of FOCL ensures a number of advantages over the use of metal cables in automation and telemechanics devices. It is concluded that the proposed device can be used not only to control traffic lights, but also other devices located at a considerable distance from the control station.

Keywords: traffic; light-emitting diodes; photodiodes; optical transmitter; fiber-optic communication line; secure element; signal cable; fiber; MOSFETs.

В настоящее время управление различными типами светофоров железнодорожного транспорта осуществляется по металлосодержущим кабелям, где управляющая информация представляется в виде сигналов переменного или постоянного электрического тока или напряжения.

Этому способу управления свойственны некоторые недостатки. Первый – применение дорогостоящих кабелей с медными жилами, второй – невысокая помехозащищенность каналов управления, связанная с негативным влиянием емкости между жилами в одном металлосодержущем сигнальном кабеле. Это приводит к возможности появления подсветки ненадлежащего разрешающего показания светофора, что обуславливает нарушение условий безопасности движения поездов. Другой недостаток существующих систем управления светофорами заключается в практической невозможности увеличения длины кабелей управления, что обусловлено негативным влиянием тех же емкостей между жилами сигнального кабеля. Например, в настоящее время эта длина ограничена расстоянием около одного километра, для современных же станций расстояние

Мария Александровна Оськаина, ассистент; кафедра «Электрические машины» Уральского государственного университета путей сообщения. Екатеринбург, Россия. E-mail: kivokurtseva19@mail.ru.

Maria Aleksandrovna Oskina, Assistant; Electric Machinery Department, Ural State University of Railway Transport. Ekaterinburg, Russia. E-mail: kivokurtseva19@mail.ru.

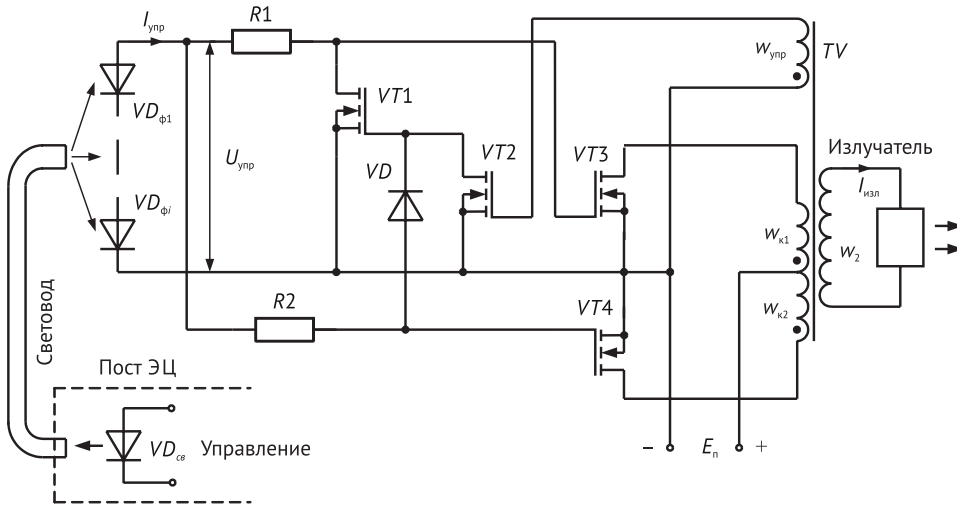


Рис. 1. Схема управления светофором по ВОЛС

между постом электрической централизации (ЭЦ) до выходных светофоров может достигать нескольких километров. Это же препятствует использованию существующих способов управления для перегонных устройств автоматики и телемеханики с централизованным расположением аппаратуры на станции.

Очевидное преимущество ВОЛС для управления объектами автоматики и телемеханики требует радикального изменения структурных принципов построения систем передачи информации на светофоры. Повышение помехоустойчивости и надежности работы светофоров и увеличение длины сигнальных кабелей достигается введением дополнительных элементов, в частности, жил кабелей и вспомогательных реле [1, 2]. Очевидно, что это приводит к экономической неэффективности применяемых схем.

Вариант структуры управления станционными светофорами по ВОЛС, который сочетает в себе возможности использования ВОЛС и устраняет упомянутые недостатки существующих способов управления светофорами, предложен в [3, 4]. Принципиальная схема управления одного показания светофора приведена на рис. 1.

Управление светофором осуществляется аналоговым сигналом, который передается с поста ЭЦ по световоду. Схема

реализована на МОП транзисторах, входное сопротивление которых велико (10^9 – 10^{12} Ом). Приемником сигнала управления служат фотодиоды $VD_{\phi 1}, \dots, VD_{\phi i}$, которые, по существу, являются аналогом солнечной батареи с последовательным включением фотоприемников. Эквивалентная схема фотодиода, работающего в режиме генератора постоянного тока и напряжения и его вольт-амперная характеристика (ВАХ), приведены на рис. 2. а, б соответственно [5].

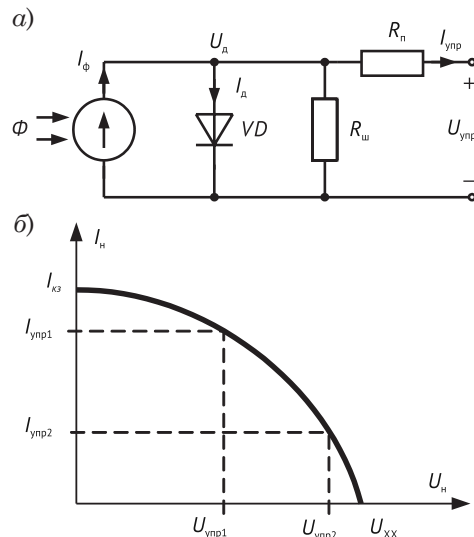


Рис. 2. Эквивалентная схема фотодиода (а) и его ВАХ (б)

Выходное напряжение группы, состоящей из N фотодиодов, который управляет работой излучателя светового фара, определяется:

$$U_{\text{упр}} = NR_{\text{упр}} \left\{ I_{\Phi} - \right. \\ \left. - I_{\text{он}} \left\{ \exp \left[\frac{e \left(V + \frac{U_{\text{упр}}}{R_{\text{п}}} R_{\text{п}} \right)}{AkT} \right] - 1 \right\} - \frac{V}{R_{\text{ш}}} \right\}, \quad (1)$$

где $I_{\Phi} = f(\Phi, S)$ – ток, генерируемый фотодиодом, зависящий от интенсивности светового потока Φ и площади p - n перехода S фотодиода; $I_{\text{он}}$ – обратный ток смещения p - n перехода; e – заряд электрона; A – коэффициент корреляции между теоретической и реальной ВАХ фотодиода (обычно A принимает значения от 1 до 5); $R_{\text{п}}$ – последовательное сопротивление фотодиода; $R_{\text{ш}}$ – шунтовое сопротивление фотодиода; k – постоянная Больцмана; T – абсолютная температура.

Уравнение (1) является трансцендентным, не решаемым в общем виде. Поэтому для каждого конкретного случая разработки его решение должно быть получено при использовании известных итерационных методов. Из его характеристических параметров следует, что при увеличении сопротивления $R_{\text{упр}}$, являющимся сопротивлением нагрузки для фотодиодов, напряжение $U_{\text{упр}}$ уменьшается (рис. 2, б).

На рис. 3 приведены временные диаграммы работы устройства, показанного на рис. 1. Здесь принято, что $R2 > R1$, что в соответствии с ВАХ (рис. 2, б) определяет неравенство $U_{\text{упр}2} > U_{\text{упр}1}$, показанное на эюре $u_{\text{упр}}$ диаграмм рис. 3. Очевидно, что при $R2 = R1$ (что практически выполняется на практике при использовании в устройстве МОП транзисторов) будем иметь: $\Delta U_{\text{упр}} = U_{\text{упр}2} - U_{\text{упр}1} = 0$.

Схема рис. 1 относительно импульсного режима работы является симметричной. Поэтому на диаграммах рис. 3 показаны эюры изменения токов и напряжений только для этапа работы схемы на интервале времени t_1 . Процессы, происходящие в схеме на интервале времени t_2 , идентичны и отличаются лишь иным расположением эюр на оси времени t .

Величины сопротивлений резисторов $R1$ и $R2$ определяются токами тока стока поочередно открывающихся на этапах времени t_1 и t_2 транзисторов $VT1$ и $VT2$ соответственно. Для принятого допущения $\Delta U_{\text{упр}} = 0$ сопротивления находятся из условия:

$$R1 = R2 \gg \frac{U_{\text{упр}}}{I_{\text{с}0}}, \quad (2)$$

где $I_{\text{с}0}$ – ток стока транзисторов $VT1$ и $VT2$ в закрытом состоянии.

Для маломощных МОП транзисторов ток $I_{\text{с}0}$ лежит в пределах десятых долей миллиампера. Величина напряжения $U_{\text{упр}}$ зависит от нормированного параметра напряжения $U_{\text{зи пор}}$ транзистора $VT4$, а также от величины тока $I_{\text{с}}$, показанного на эюре $i_{\text{с}}$ временных диаграмм. Это обусловлено тем, что этот транзистор определяет начало импульсной работы рассматриваемого устройства в режиме излучения светового фара. Выражение для нахождения минимального значения напряжения $U_{\text{упр}}$:

$$U_{\text{упр}} > U_{\text{зи пор. max}} + \frac{I_{\text{с}2}}{S_{\text{min}}}, \quad (3)$$

где $U_{\text{зи пор. max } 4}$ – максимальное нормированное значение порогового напряжения «затвор-исток» транзистора $VT4$; $S_{\text{min } 4}$ – минимальное нормированное значение крутизны стока-затворной характеристики транзистора $VT4$.

Изменение тока на интервале времени t_1 , а также и t_2 в силу симметричности работы схемы зависит от величины индуктивности намагничивания L_{μ} обмоток сигнального трансформатора TV :

$$i(t) = I_{\text{изл}} \frac{w_{\text{к}1}}{w_2} + \frac{Et}{L_{\mu/4}}, \quad (4)$$

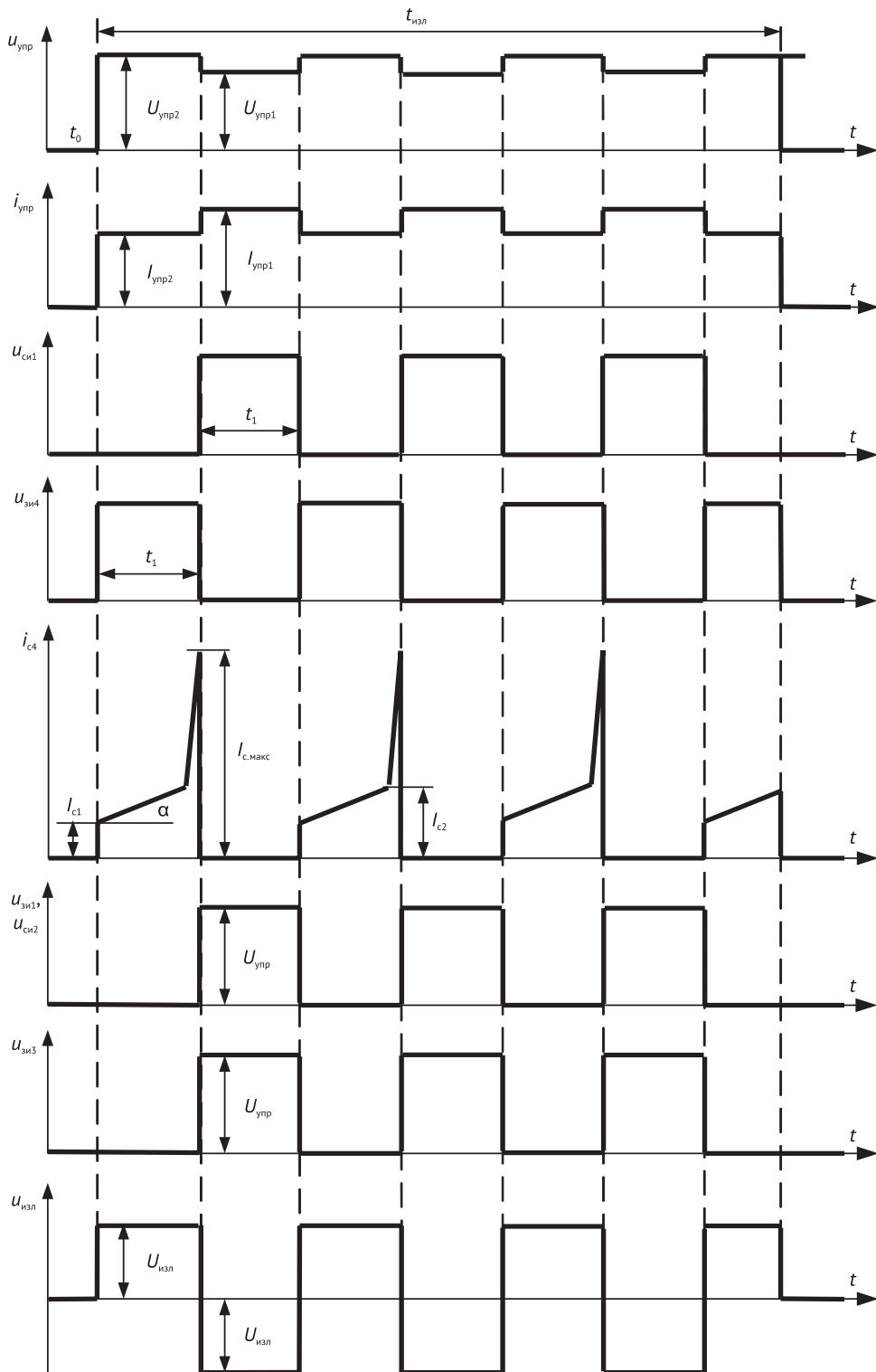


Рис. 3. Временные диаграммы работы схемы рис. 1

где угол α прямо пропорционально зависит от величины индуктивности L_μ .

Наличие импульса тока $I_{c\max}$ на интервале времени t_1 определяется моментом входа в насыщение магнитопровода трансформатора TV , когда индуктивность $L_\mu \rightarrow 0$. Его амплитуда определяется:

$$I_{c\max} = S_{\max}(U_{\text{упр}} - U_{\text{зипор}}), \quad (5)$$

где S_{\max} – максимальное значение крутизны стоко-затворной характеристики транзистора $VT4$.

Далее, после достижения тока стока до величины $I_{c\max}$ происходит смена полярностей напряжения на обмотках трансформатора TV и процессы работы схемы повторяются, но для включенного состояния транзистора $VT3$. При этом его включение происходит также от источника $U_{\text{упр}}$, но через резистор R_1 , что учтено в выражении (2).

Рассматриваемое устройство безопасно, то есть при любых возможных

отказах элементов или неисправностях схемы ложный сигнал для появления излучения светофора не появится. Это условие обязательно для всех устройств автоматики и телемеханики железнодорожного транспорта.

Применение рассматриваемого устройства позволяет повысить экономическую эффективность систем управления светофорами за счет введения ВОЛС в тракт передачи сигналов. В многожильных кабелях ВОЛС невозможна передача сигналов в соседние жилы, поэтому исключена возможность нарушения условий безопасности движения поездов. Кроме того, существующие кабели ВОЛС дают возможность передачи сигналов на значительные расстояния до нескольких единиц-десятков километров.

Полученные выражения позволяют осуществить инженерный расчет элементов безопасного преобразования сигнальной информации. ■

Литература

1. Оськина М. А., Сергеев Б. С., Сисин В. А. Направления совершенствования светодиодных светофоров // Вестник УрГУПС. 2013, № 3 (15). С. 66–68. ISSN 2079-0392.
2. Сергеев Б. С., Оськина М. А. Анализ работы светодиодного резервированного светофора // Вестник УрГУПС. 2014, № 4 (24). С. 4–11. ISSN 2079-0392.
3. Сергеев Б. С., Курченкова Н. Б. Управление станционными светофорами по волоконно-оптическим линиям связи // Вестник Уральского межрегионального отделения Российской академии транспорта. Тюмень, 2005. Вып. 5. С. 82–84.
4. Пат. 2265540. RU. Устройство управления станционными светофорами // Б. С. Сергеев, Н. Б. Курченкова. Публ. 10.12.2005. Бюл. № 34.
5. Раушенбах Г. Справочник по проектированию солнечных батарей / Пер. с англ. – М. : Энергоатомиздат, 1983. – 360 с.

References

1. Oskina M. A., Sergeev B. S., Sisin V. A. Napravlenia sovershenstvovaniya svetodiodnykh svetoforov [Areas of improvement of LED traffic lights] // USURT Herald. 2013, № 3 (15). S. 66–68. ISSN 2079-0392.
2. Sergeev B. S., Oskina M. A. Analiz raboty svetodiodnogo rezervirovannogo svetofora [Analysis of operation of redundant LED traffic lights] // Vestnik UrGUPS. 2014, № 4 (24). S. 4–11. ISSN 2079-0392.
3. Sergeev B. S., Kurchenkova N. B. Upravleniye stantsionnymi svetoforami po volokonno-opticheskim liniyam svyazi [Station traffic lights control via fiber-optic communication lines] // Vestnik Uralskogo mezhregionalnogo otdeleniya Rossiyskoy akademii transporta. Tyumen, 2005. Vyp. 5. S. 82–84.
4. Pat. 2265540. RU. Station traffic lights control unit // B. S. Sergeyev, N. B. Kurchenkova. Publ. 10.12.2005. Byul. № 34.
5. Raushenbakh G. Spravochnik po proektirovaniyu solnechnykh batarey [A handbook on solar batteries design] / Per. s angl. – M. : Energoatomizdat, 1983. – 360 s.

Статья сдана в редакцию 30 марта 2015 года

УДК 621.332.3

Р.Я. Сулейманов

Очистка гололеда с проводов контактной сети индукционным способом

UDK 621.332.3

R.Ya. Suleymanov

De-icing of contact wires using induction method

Аннотация

Рассматривается вопрос очистки контактных проводов от гололеда индукционным способом. Предлагались различные способы очистки гололеда, в том числе плавка токами короткого замыкания, но при таком способе требуется большое количество энергии.

Известно, что токи высокой частоты протекают только по поверхностному слою проводника. Предлагается нагревать небольшой отрезок проводов с помощью индуктора, питаемого токами высокой частоты. Индуктор помещается на каретке, которая с помощью сервоприводов удерживается в непосредственной близости от контактного провода. Сама каретка располагается на подвижной единице (мотодрезине) и движется вдоль контактной сети. При нагреве токами высокой частоты затрачивается относительно небольшое количество энергии. Приводится оценка необходимой мощности генератора тока высокой частоты.

Ключевые слова: контактный провод; очистка гололеда; индуктор; высокая частота; температура нагрева; теплопроводность; осциллограмма процесса нагрева.

Summary

The issue of de-icing of contact wires using induction method is considered. Various ways of ice removal have been proposed, including melting of ice using short-circuit currents, but this method requires a lot of energy.

It is known that high frequency currents flow only on the surface layer of conductor. It is proposed to heat a small section of wires using an inductor fed by high frequency currents. The inductor is placed on a carriage which is fixed by actuators in the immediate vicinity of the contact wire. The carriage itself is located on a mobile unit (motorcar) and moves along the contact network. Heating by high frequency currents requires relatively small amount of energy. Required power of high-frequency current generator is estimated.

Keywords: contact wire; de-icing; inductor; high frequency; heating temperature; thermal conductivity; heating process waveform.

Рашит Яхьяевич Сулейманов, канд. техн. наук, доцент; кафедра «Электрические машины» Уральского государственного университета путей сообщения; Екатеринбург, Россия. E-mail: rasul2@e1.ru.

Rashit Yakh'yevich Suleymanov, PhD in Engineering, Associate Professor; Electric Machinery Department, Ural State University of Railway Transport; Ekaterinburg, Russia. E-mail: rasul2@e1.ru.

Успешной работе железнодорожного транспорта в осенне-зимний период зачастую препятствуют отложения гололеда на проводах контактной сети. Борьба с гололедом началась с момента возникновения электрифицированных железных дорог и ведется с переменным успехом. Здесь можно упомянуть и о нагреве проводов токами короткого замыкания, и об отбивании льда специальными барабанами и о других способах.

Автором был предложен еще один способ очистки гололеда [1]. Сущность предлагаемого метода заключается в нагреве небольшого участка (10–20 см) контактного провода индукционным способом. Для этого используется индуктор, по которому протекает ток высокой частоты (рис. 1).

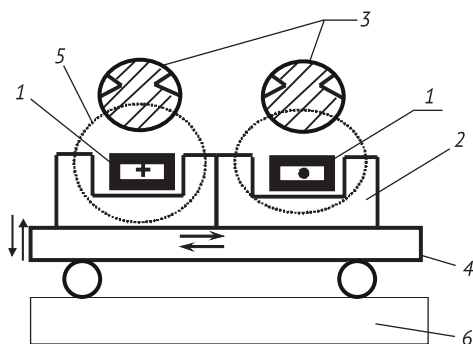


Рис. 1. Устройство для плавки гололеда
1 – индуктор; 2 – магнитопровод; 3 – контактный провод; 4 – подвижная платформа; 5 – магнитный поток; 6 – подвижная единица

Здесь под проводами контактной сети 3 параллельно последним располагается индуктор, состоящий из прямого и обратного провода 1, охваченный незамкнутым магнитопроводом 2. Индуктор соединен с генератором высокой частоты гибким высокочастотным кабелем. Генератор и индуктор располагаются на подвижной единице 6, движущейся по рельсам. Кроме того, индуктор располагается на подвижной каретке, перемещающейся в поперечном и вертикальном направлениях под

действием соответствующих следящих приводов.

Гололед образуется при температуре окружающей среды – 3–5 °С в сырую погоду. При плюсовой температуре спайка льда с металлом ослабевает. Если же нагреть металл, покрытый льдом, до вскипания пограничного слоя воды, то лед будет отпадать самопроизвольно. Однако для нагрева контактного провода и льда требуется большое количество тепловой энергии (из-за большой теплоемкости воды: одна калория на один грамм и один градус) и меди (0,1 кал).

Для отрыва льда от металла достаточно нагреть только пограничный слой между металлом и льдом. Известно, что токи высокой частоты протекают только по поверхности проводов. При подводе к проводам токов высокой частоты достаточной мощности, глубинные слои металла и льда не успевают прогреваться и, следовательно, не требуют дополнительной энергии.

Проникновение в металл электромагнитной волны определяется уравнениями Максвелла, записанными для синусоидального переменного тока [2]:

$$\operatorname{rot} \vec{H} = \gamma \vec{E},$$

$$\operatorname{rot} \vec{E} = -j\omega\mu\vec{H}.$$

Совместное решение этих уравнений приводит к понятию глубины проникновения электромагнитной волны в проводящее пространство

$$\Delta = \sqrt{\frac{2}{(\omega\mu_a\gamma)}},$$

где $\omega = 2\pi f$ – круговая частота (циклическая частота, Гц); μ_a – магнитная проницаемость; γ – удельная электропроводимость, 1/Ом·м.

Зависимость глубины проникновения электромагнитной волны от частоты приводится в [2] (таблица).

Глубина проникновения тока при различных частотах

Материал	Глубина проникновения, мм, при частоте тока (кГц)				
	10	70	440	1700	5200
Медь	0,575	0,210	0,086	0,30	0,0200

Для проведения экспериментальных исследований автором была принята частота в 100 кГц, при которой глубина проникновения оценивается в 0,2 мм. Требуемая мощность генератора, необходимая для прогрева поверхности провода, покрытого льдом, зависит от нескольких факторов. Первое: если греть малой мощностью, то потребуется много времени для подъема температуры. За это время начнут нагреваться глубинные слои металла [3]:

$$Q = \frac{k(T_2 - T_1)}{d} St,$$

где Q – количество тепла, кал; k – коэффициент теплопроводности; S – величина теплопроводящей поверхности; $T_2 - T_1$ – разность температур; d – толщина металла; t – время.

Второе: время нагрева ограничено скоростью движения индуктора вдоль проводов контактной сети. Предположим, что длина индуктора составляет 20 см. При скорости движения в 1 м/с (3,6 км/ч) участок провода в 1 см находится над индуктором всего 0,2 с. За это время поверхность провода должна нагреться как минимум на 10° (–5–+5 °C).

Проведем упрощенный расчет для оценки требуемой мощности генератора. Рассмотрим участок провода длиной 1 см. Поверхностный слой в 0,02 см имеет массу

$$m = Sl \cdot h \cdot \gamma 3,14 \cdot 1 \cdot 0,02 \cdot 8,93 = 0,56 \text{ г},$$

где m – масса поверхностного кольца; Sl – площадь поверхности кольца; h – толщина слоя; γ – удельный вес меди (8,93 г/см³).

При теплоемкости меди в 0,09 кал/г для нагрева на 100° потребуется тепловая энергия

$$Q = m\sigma\Delta T = 0,56 \cdot 0,09 \cdot 100 = 5,6 \text{ кал.}$$

Это количество тепла необходимо передать за 0,2 с. Другими словами, требуемая мощность составит при переводе калории в джоули (1 кал = 4,19 Дж):

$$P = \frac{Q \cdot 4,19}{0,2} = 117,3 \text{ Вт.}$$

Мощность на всю длину индуктора составит $117,3 \cdot 20 = 2346 \text{ Вт}$.

К расходам тепловой энергии на нагрев поверхностного слоя металла необходимо добавить нагрев приграничного слоя льда. Здесь нужно учесть то, что теплоемкость воды почти в десять раз превышает теплоемкость меди. Но если нагрев меди происходит по глубине проникновения электромагнитной волны, то нагрев льда – только в зоне соприкосновения с поверхностью провода. Исходя из этого можно предположить, что на нагрев приграничного слоя понадобится столько же тепла, сколько потребуется на нагрев металла.

При нагреве поверхностного слоя металла тепло будет передаваться в глубинные слои металла. На это потребуется дополнительная мощность. Распределение тепловой энергии в металлах происходит за счет теплопроводности, и подчиняются закону Фурье. Плотность теплового потока прямо пропорциональна градиенту температуры:

$$p = \lambda \text{grad} T,$$

где $p = dg/dt$ – вектор плотности теплового потока, Вт/м; g – количество теплоты, Дж; λ – коэффициент пропорциональности, называемый коэффициентом теплопроводности, Вт/(м·К); T – температура, °C; t – время, с.

На основании закона Фурье выводится дифференциальное уравнение теплопроводности

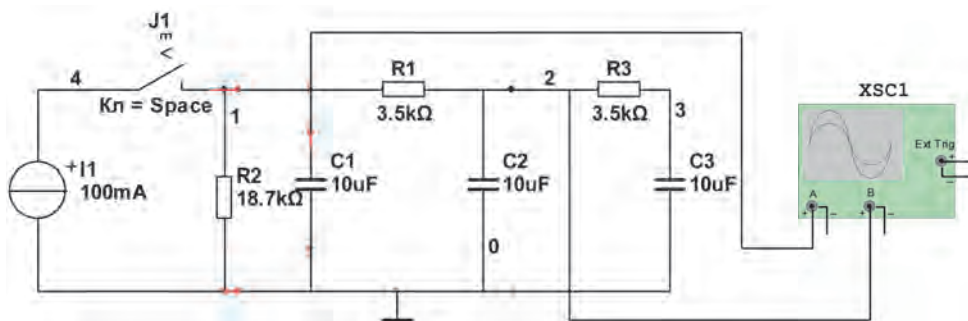


Рис. 2. Схема моделирования теплового процесса

$$\frac{dT}{dt} = a\Delta^2 T,$$

где $a = \lambda / (c\gamma)$ – коэффициент температуропроводности, $\text{м}^2/\text{с}$; c – теплоемкость, $\text{Дж}/(\text{кг} \cdot \text{К})$; γ – плотность, $\text{кг}/\text{м}^3$; Δ^2 – оператор Лапласа, который в декартовой системе координат имеет вид

$$\Delta^2 = \frac{\partial^2}{\partial x^2} + \frac{\partial^2}{\partial y^2} + \frac{\partial^2}{\partial z^2}.$$

Дифференциальное уравнение теплопроводности устанавливает связь между временными и пространственными изменениями температуры материала. Решение такого уравнения приводит к волновому уравнению, аналогичному волновому уравнению в электрических цепях с распределенными параметрами. Поэтому качественную картину

распространения тепловой энергии можно рассмотреть с помощью электрической схемы замещения. Отличие такой схемы будет заключаться в отсутствии индуктивных элементов. Согласно [4], эти уравнения совершенно идентичны уравнениям, которым удовлетворяют потенциал ψ и ток I в передающей линии с последовательным сопротивлением

лением $\frac{1}{K\Omega}$ и параллельным емкост-

ным сопротивлением $\Omega_{\text{рс}}$ на единицу длины. В соответствии с этим, составим схему замещения, ограничившись тремя звеньями. Моделирование произведем с помощью программы «Мультисим», которая позволяет нарисовать на экране схему действующей электрической цепи (рис. 2). В качестве источника

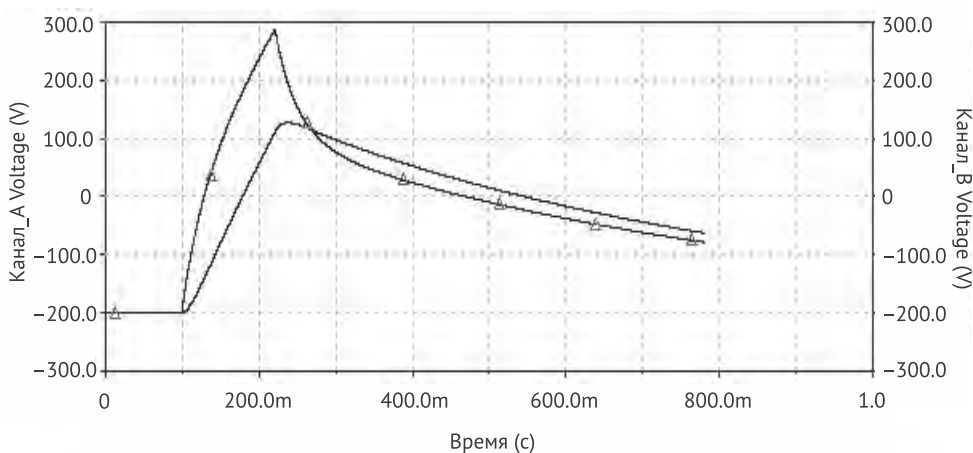


Рис. 3

энергии здесь целесообразно использовать источник тока, так как в этом случае напряжение, идентичное температуре, не будет ограничено, что соответствует действительности.

Здесь конденсаторы служат для идентификации массы слоев материала, резисторы – для задания теплопроводности. Переключение с режима нагрева в режим охлаждения осуществляется с помощью клавиши пробела. Осциллографирование процессов производится с помощью виртуального осциллографа, на вход которого подается напряжение конденсатора C1, на вход В – напряжение с конденсатора C2.

Осциллограммы процесса нагрева и охлаждения приведены на рис. 3.

Анализ этих осциллограмм показывает, что нагрев глубинных слоев идет с некоторым опозданием, чего и следовало ожидать. После выключения нагрева начинается процесс охлаждения, который идет медленнее и способствует дальнейшему нагреванию приграничного слоя гололеда.

Для проверки соответствия модели реальным условиям проведем аналитический расчет переходного процесса по операторной схеме замещения (рис. 4).

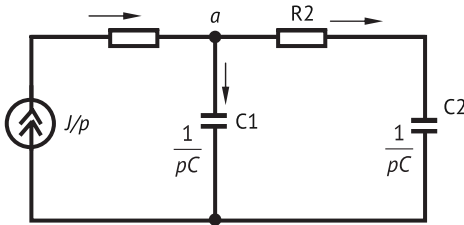


Рис. 4. Расчетная схема теплового процесса

Составим уравнение по методу узловых потенциалов для узла a при нулевых начальных условиях, т.е. при напряжениях на конденсаторах равных нулю:

$$\varphi(a) \left(\frac{1}{pC} + \frac{1}{R_2 + \frac{1}{pC}} \right) = J(p),$$

и по законам Кирхгофа в операторной форме:

$$J(p) = I_1(p) + I_2(p);$$

$$I_1(p) \frac{1}{pC} = I_2(p) \left(R + \frac{1}{pC} \right).$$

После несложных преобразований получим:

$$I_1(p) = \frac{J}{p} \cdot \frac{pCR + 1}{pCR + 2} = \frac{J}{RC} \cdot \frac{pCR + 1}{p \left(p + \frac{2}{CR} \right)}.$$

Переход к временной функции произведем по формуле теоремы разложения для случая нулевого корня в знаменателе:

$$f(t) = \frac{G(0)}{F(0)} + \frac{G(p_k)}{F'(p_k)p_k} e^{p_k t}.$$

Ток через конденсатор C1 определится как

$$i_1(t) = \frac{J}{2} + \frac{J}{2} e^{pt}, \quad A,$$

где J – величина тока, задаваемая источником; p – корень характеристического уравнения.

Напряжение конденсатора определяется как интеграл от тока:

$$u_c = \frac{1}{C} \int i dt = \frac{1}{C} \int \left(\frac{J}{2} + \frac{J}{2} e^{pt} \right) dt =$$

$$= \frac{J}{2C} t + \frac{JR}{2} e^{pt}, \quad B.$$

Это отражает процесс нагревания в соответствии с виртуальной моделью.

Для равномерного износа пантографа электроподвижного состава контактные провода подвешиваются зигзагообразно вдоль пути. Кроме того, контактные провода изменяют высоту подвески в широких пределах. При этом индуктор должен находиться в непосредственной близости от контактных проводов.

Конструктивно индуктор состоит из прямого и обратного провода трубчатого сечения, длина – 20 см. Для усиления магнитного потока концы с нижней стороны охватываются высокочастотным магнитопроводом. В рабочем режиме по проводам протекает ток большой величины, в результате чего на них выделяется значительное количество теплоты, поэтому требуется интенсивное охлаждение. В обычных индукторах высокочастотной закалки для охлаждения используется вода. В данном случае из-за низких температур окружающей среды использование воды нецелесообразно. Здесь для охлаждения индуктора приходится использовать замкнутую систему на основе автомобильного антифриза

Даже при небольшом изменении положения индуктора нарушаются настройки на передачу максимальной мощности на нагрев. Дело в том, что индуктор, обладающий некоторой индуктивностью, должен быть настроен в резонанс с помощью батареи высокочастотных конденсаторов. Естественно,

что эквивалентная индуктивность меняется при изменении расстояния от проводов. Непрерывную подстройку на резонансную частоту можно производить изменением частоты генератора, собранного на основе полумостового преобразователя на JGBT-транзисторах.

Схема генератора, собранного в лаборатории для проверки возможности нагрева контактных проводов, приведена на рис. 5. Питание инвертора осуществляется от сети напряжением 220 В через лабораторный автотрансформатор. Мощность энергии, передаваемой на нагрев, определяется по входному амперметру. В результате проведенного эксперимента установлено, при частоте 400 кГц происходит уверенный нагрев контактного провода.

При потребляемой мощности в 800 Вт происходит нагрев контактного провода длиной 20 см до температуры 100 °С за 8 с. Для увеличения скорости нагрева требуется увеличение мощности. Для этого будет целесообразно использовать трехфазный выпрямитель от сети 380 В,

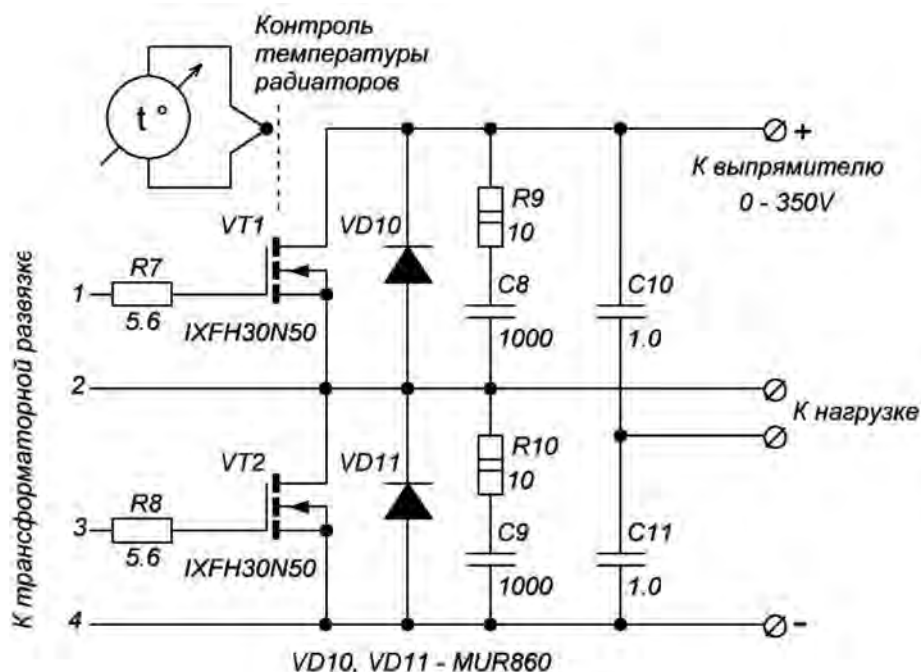


Рис. 5. Схема высокочастотного инвертора

от которого получается более сглаженное постоянное напряжение.

Для настройки системы нагрева в резонанс необходимо определять фазу подводимого напряжения и протекающего по индуктору тока. Задачей

автоуправления при этом является изменение частоты генератора таким образом, чтобы фазы напряжения и тока совпали. На экспериментальной установке эта работа успешно выполнялась вручную. ■

Литература

1. Устройство для удаления гололеда с проводов контактной сети : пат. РФ № 2476966. МПК H02G 7/16.
2. Пейсахович В. А. Оборудование высокочастотной сварки металлов. М. : Энергоатомиздат, 1988, 808 с.
3. Лыков А. В. Теория теплопроводности. М. : Высшая школа, 1967, 597 с.
4. Карслоу Г., Егер Д. Теплопроводность твердых тел. М. : Наука, 1964, 475 с.

References

1. Ustroystvo dlya udaleniya gololyoda s provodov kontaktnoy seti : pat. RF № 2476966 [An apparatus for removing ice from contact wires: RF Pat. № 2476966.] MPK N02G 7/16.
2. Peysakhovich V. A. Oborudovanie vysokochastotnoy svarki metallov. [Equipment for high-frequency welding of metals.] M. : Energoatomizdat, 1988, 808 s.
3. Lykov A. V. Teoria teploprovodnosti. [Heat conduction theory.] M. : Vysshaya shkola, 1967, 597 s.
4. Karslou G., Eger D. Teploprovodnost tverdykh tel. [Thermal conductivity of solids.] M. : Nauka, 1964, 475 s.

Статья сдана в редакцию 27 марта 2015 года

Организация образовательного процесса

УДК 378

М. Н. Оськина

Оценка результатов обучения по образовательным программам высшего образования (ФГОС) в условиях неопределенности

UDK 378

M. N. Oskina

Assessment of learning outcomes in educational programs of higher education (FGOS) under conditions of uncertainty

Аннотация

Введение ФГОС высшего образования до настоящего времени не решило проблему неудовлетворенности работодателей качеством образования выпускников вузов, недостаточности их практического опыта. Вопросы, возникшие при введении компетентностного подхода, подтверждают высокую степень неопределенности, которая не имеет тенденции к снижению и негативно сказывается на деятельности преподавателей.

Приведен анализ содержания требований к результатам освоения образовательных программ в зависимости от поколения образовательного стандарта высшего образования. Сформулированы обстоятельства, которые необходимо учитывать, чтобы оценка сформированной компетенции была объективной. Предложен вариант оценивания одной из компетенций актуализированного ФГОС. Рассмотрены варианты использования различных средств для оценки сформированности разных составляющих рассматриваемой компетенции.

Ключевые слова: качество обучения; компетентностный подход; национальная рамка квалификаций; оценка компетенций; результаты обучения; фонд оценочных средств; шкала оценивания компетенции.

Summary

Introduction of higher education FGOS has not yet solved the problem of dissatisfaction of employers with the quality of education of graduates, their lack of practical experience. Issues that arose with the introduction of competence-based approach confirm the high degree of uncertainty which is not tending to decline and adversely affects the activity of teachers.

An analysis of the essence of requirements for the outcome of educational programs is shown, in accordance with the generation of the educational standard of higher education. Facts has been highlighted that must be considered to make an objective assessment of competence. A possible option of assessment of one of the competences of the updated GEF is proposed. A variety of means are considered to assess the degree of formation of various components of the competence under consideration.

Keywords: quality of training; competence-based approach; national qualifications framework; assessment of competence; learning outcomes, assessment tools fund; competence assessment scale.

Марина Николаевна Оськина, канд. пед. наук, доцент каф. «Управление персоналом и социология» Уральского государственного университета путей сообщения; Екатеринбург, Россия. E-mail: Oskina@usurt.ru.

Marina Nikolaevna Oskina, Associate Professor; Human Resource Management & Sociology Department, Ural State University of Railway Transport; Ekaterinburg, Russia. E-mail: Oskina@usurt.ru.

Проблема качества образования обозначена еще в советское время: уже тогда выпускники вузов, с точки зрения работодателей, не имели необходимого опыта для применения на производстве полученных знаний. Первое десятилетие постсоветского периода усугубило ситуацию. В Европе проблема тоже была острой, поэтому образовалась ассоциация стран, готовых объединить усилия в части модернизации системы высшего образования. Болонская декларация закрепила эти намерения, обозначив главный принцип: использование компетентностного подхода к оценке результатов обучения. Не углубляясь в детали Болонского процесса, мы лишь упомянем, что вопросы высшего образования были не единственными, которые он затронул. Но общемировая конкуренция в области высшего образования стала его (Болонского процесса) движущей силой.

Россия, учтя общие тенденции развития образовательного пространства, включилась в Болонский процесс в 2003 г. Как следствие, в стране началось реформирование системы образования. Однако до сих пор, несмотря на кардинальные изменения, сказать, что проблема качества образования решена, нельзя — она лишь приобрела иные очертания. К известным условиям, необходимым для обеспечения качества образования [1], добавились новые: разработанные вузом образовательные программы и нормативно-правовое обеспечение образовательной деятельности, непрерывное до- и переучивание профессорско-преподавательского состава, методическое сопровождение учебной деятельности студентов и, что не менее важно, деятельности самих преподавателей. Открытыми остаются вопросы и о технологиях формирования компетенций и о том, как и каким образом можно их измерить.

Компетентностная модель выпускника вуза, используемая при разработке ФГОС, лишь в общих очертаниях дает представление, что именно должен продемонстрировать выпускник, освоивший

программу. Кроме того, имеются проблемы самих образовательных стандартов, когда компетенции сформулированы таким образом, что иногда преподавателю нужно иметь недюжинные способности, чтобы понять, что именно подразумевали разработчики. Таким образом, у вуза возникают трудности в части формирования содержания образовательной программы.

В логике Закона «Об образовании в Российской Федерации» разрабатываемая вузом образовательная программа базируется на собственно ФГОС и примерной образовательной программе. Предполагается, что примерная образовательная программа должна отталкиваться от соответствующих профессиональных стандартов. Профессиональные же стандарты должны быть разработаны в недрах Минтруда России, и логично предположить, что к этой деятельности нужно привлекать представителей соответствующей отрасли экономики. Круг замыкается: мнение работодателей должно быть учтено на этапе разработки примерных образовательных программ, которые, в свою очередь, должны быть учтены вузами в обязательном порядке. Приказ Минобрнауки от 19.12.2013 № 1367 «Об утверждении Порядка организации и осуществления образовательной деятельности по образовательным программам высшего образования — программам бакалавриата, программам магистратуры, программам специалитета» определяет, что в образовательной программе указывается квалификация выпускника. Но ФГОС такой информации не содержат. Квалификация устанавливается по приказу Минобрнауки [2], и тут возникает вопрос: если требования к результатам обучения закреплены в образовательном стандарте, имеющем силу федерального закона, почему квалификация не закреплена нормативным актом соответствующего уровня? Ответ прост: национальная рамка квалификаций находится в состоянии проекта [3]. Круг замкнулся еще раз.

В ст. 195.1 ТК РФ имеется следующее определение: «Квалификация работника – уровень знаний, умений, профессиональных навыков и опыта работника». Одновременно с этим существует и другое определение (п. 5 ст. 2 Закона «Об образовании в Российской Федерации»): «Квалификация – уровень знаний, умений, навыков и компетенции, характеризующий подготовленность к выполнению определенного вида профессиональной деятельности». О какой из множества компетенций, имеющих-ся в ФГОС, идет речь? и о какой из двух названных квалификаций идет речь при приеме на работу? а на итоговой аттестации выпускников?

Одно из условий государственной аккредитации образовательной программы – подтверждение соответствия результатов освоения образовательной программы студентами и выпускниками требованиям ФГОС.

Остановимся на этом подробнее. В таблице 1 приведен анализ содержания требований к результатам освоения образовательной программы в зависимости от поколения образовательного стандарта.

Сложность и поэтапность формирования компетенции логически связаны с последовательным освоением образовательной программы и определяют

многоуровневость ее оценки. Привычных методов и способов контроля и описания того, что студент обязан продемонстрировать, недостаточно. Необходимы как новые виды и формы контроля, так и инструментарий, позволяющий сделать оценку максимально объективной.

Переосмыслению подлежат не только ранее используемые оценочные средства, но и схемы, и технологии организации контроля результатов обучения с точки зрения оценки сформированности компетенций, заданных в ФГОС ВО, когда их демонстрирует студент на уровне проявленного поведения. То есть необходимы принципиально иная процедура аттестации и используемый для нее инструментарий. Это касается и результатов освоения ОП ВО в целом, и результатов обучения по отдельным элементам образовательной программы. Здесь необходимо понимать, что многие результаты обучения относятся к категории личностных и метапредметных, т.е. для их измерения требуется применение специальных методик и, соответственно, специальная подготовка преподавателей для их использования. Ну и наконец имеется противоречие: с одной стороны, стандартизованы результаты освоения образовательной программы, а с другой стороны, отсутствует стандартизованный

Таблица 1

Поколение образовательного стандарта	Требования
ГОС	Результаты обучения заданы в формате «знания – умения – навыки»; стандарт содержит перечень дисциплин, обязательных для изучения, а также дидактические единицы, обязательные для включения в дисциплину
ФГОС	Заданы результаты освоения образовательной программы в формате компетенций, приведены примерные дисциплины, а также планируемые результаты обучения по блокам ОП ВО
ФГОС 3+	Заданы результаты освоения образовательной программы в формате компетенций. Вуз должен самостоятельно сформировать перечень дисциплин и описать планируемые результаты обучения по дисциплинам (модулям) и практике – знания, умения, навыки и (или) опыт деятельности, характеризующие этапы формирования компетенций и обеспечивающие достижение планируемых результатов освоения образовательной программы

инструментарий для измерения этих результатов.

Таким образом, задача подтверждения вузом соответствия результатов освоения образовательной программы студентами и выпускниками требованиям ФГОС решается в условиях неопределенности высокой степени. Тем не менее решать ее необходимо.

Рассмотрим ситуацию на примере общекультурной компетенции ОК-3 бакалавра по одному из ФГОС.

В соответствии с формулировкой ОК-3, бакалавр должен обладать «способностью находить организационно-управленческие решения в нестандартных ситуациях и готовность нести за них ответственность». Чтобы измерить компетенцию, необходимо последовательно решить четыре задачи:

1) описать, в чем конкретно выразится наличие такой способности, ее проявление на уровне действия;

2) дифференцировать то, что выразили в действии, на составляющие в виде того, что он должен знать, уметь и чем владеть/что демонстрировать;

3) описать возможные уровни сформированности компетентности (пороговый, повышенный);

4) определить инструментарий, с помощью которого возможно измерить все, что мы описали.

Для решения первой задачи воспользуемся методическими рекомендациями

[4] и предложим следующие составляющие названной компетенции в действиях. Бакалавр, владеющий компетенцией ОК-3:

- анализирует ситуацию, определяет возможные трудности, прогнозирует направления ее развития;

- прогнозирует смежные области деятельности, на которых могут отразиться последствия развития такой ситуации;

- формулирует варианты организационно-управленческих решений, оценивает риски каждого из них;

- анализирует причины возникновения ситуации, предлагает меры по их устранению;

- определяет степень своей ответственности в зависимости от своей же социальной роли в данной ситуации;

- адекватно оценивает уровень своей компетентности в части принятия решения в данной ситуации.

Вариант решения второй задачи приведен в таблице 2.

Далее нужно понять, как проявятся необходимый минимум сформированной компетенции – ее пороговый уровень, затем повышенные уровни (один или несколько). Пороговый уровень – это минимум, обязательный для всех выпускников образовательной программы. Повышенные уровни могут быть: а) по одному основному признаку, б) по нескольким признакам),

Таблица 2

ОК-3	Способен находить организационно-управленческие решения в нестандартных ситуациях и готовность нести за них ответственность
ОК-3 знание	Знает: содержание типовых ситуаций, возникающих при выполнении трудовых обязанностей; возможные варианты организационно-управленческих решений; смежные области деятельности; порядок действий в нестандартных ситуациях; методы принятия решений
ОК-3 умение	Умеет: анализировать ситуацию; организовать обсуждение ситуации и обосновывать решение; использовать в поиске решения адекватные ситуации источники информации; принимать на себя или делегировать ответственность за результат в зависимости от своей социальной роли; оценивать риски и возможные последствия для смежных областей деятельности в зависимости от принятого решения
ОК-3 владение	Владеет: навыками самооценки; способами прогнозирования и оценки возможных негативных последствий от принятых организационно-управленческих решений; навыками группового принятия решения

в) по всем признакам [4]. Назначение уровней, по задумке разработчиков, – «выстраивание на их основе этапности обучения на основе постепенного повышения сложности задач, которые способны самостоятельно решать студенты» [4]. Иными словами, если компетенция формируется на протяжении одной дисциплины (модуля), то может быть рассмотрен только один уровень.

Поскольку пороговый уровень сформированности компетенции – это минимум, его характеристика должна соответствовать требованиям к квалификации (в данном случае бакалавра). При описании порогового уровня мы руководствуемся таксономией Б. Блума,

Дублинскими дескриптами [4] и проектом национальной рамки квалификаций [3] (таблица 3).

Далее необходимо определить инструментарий, с помощью которого можно измерить сформированность компетенции, иными словами, требуется фонд оценочных средств. Поскольку любая компетенция имеет личностную составляющую, ее содержание намного больше, чем просто знания, умения и непосредственно наблюдаемые действия. Поэтому сформированность компетенций необходимо проверять с использованием батареи измерительных средств, учитывая применение как объективных, так и субъективных методов.

Таблица 3

ОК-3	Способен находить организационно-управленческие решения в нестандартных ситуациях и готовность нести за них ответственность	
Национальная рамка квалификаций (6-й уровень, бакалавр) [5]	Пороговый уровень Обязательный для всех студентов-выпускников вуза по завершении освоения	Повышенный уровень * Превышение минимальных характеристик сформированности компетенции для выпускника вуза
<u>Характер знаний:</u> применение профессиональных знаний технологического или методического характера, в том числе инновационных самостоятельный поиск, анализ и оценка профессиональной информации <u>Характер умений:</u> разработка, внедрение, контроль, оценка и коррекция компонентов профессиональной деятельности, новых технологических или методических решений <u>Широта полномочий и ответственность</u> Самостоятельная деятельность, предполагающая определение задач собственной работы и/или подчиненных по достижению цели Обеспечение взаимодействия сотрудников и смежных подразделений Ответственность за результат выполнения работ на уровне подразделения или организации	Способен находить организационно-управленческие решения в нестандартных ситуациях, не имеющих далеко идущих последствий, близких к типовым и часто встречающимся, требующим использования доступных источников информации и готов нести за них ответственность, соизмеримую с конкретной социальной ролью (в соответствии с должностными обязанностями)	Способен находить организационно-управленческие решения в нестандартных (но известных) ситуациях, потенциально угрожающих смежным областям деятельности и готов нести за них ответственность, соизмеримую с конкретной социальной ролью (в соответствии с должностными обязанностями)

*Возможен следующий повышенный уровень – превосходный: максимально возможная выраженность компетенции; уровень важен как качественный ориентир для самосовершенствования.

Кроме выполнения тестовых заданий (включая задания со свободно конструируемым ответом), с помощью которых оценивается знаниевая компонента компетенций, использование объективных методов измерения возможно лишь при выполнении заданий в естественных условиях или в ситуации их моделирования. Это достаточно трудоемко с точки зрения организации процедуры оценки, затратно по времени и финансовым расходам [5, с. 245]. Поэтому в зарубежной практике измерения и диагностики компетенций широко используются методы субъективной оценки. Корреляция между самооценкой компетенций и результатами тестирования подтверждена исследованиями [5, с. 245]. Однако, с нашей точки зрения, результаты европейских исследований не совсем корректно применять в России – тут надо принимать во внимание особенности менталитета наших студентов, отсутствие у них сформированного навыка проведения самооценки. Для принятия решения о возможности использования субъективных методов при оценивании компетенций, а также валидности самооценки необходимо подтвердить результаты европейских ученых на примере выборки российских студентов.

При проектировании фонда оценочных средств необходимо обеспечить:

- его направленность на идентификацию конкретных результатов формирования компетенции (знаний, умений, владений);
- соответствие оценочных средств, показателей и критериев выбранному виду деятельности, подлежащей оценке;
- разработку шкал оценки компетенций, позволяющих дифференцировать уровень их сформированности.

Все же необходимо – учитывая зарубежный опыт – использовать методы контроля, направленные на формирование и развитие самооценки, включая методы групповых и взаимных оценок (встречная проверка студентами работ друг друга). При отборе средств и технологий оценивания требуется учитывать

их свойства в части надежности, объективности и валидности [5].

Рассмотрим варианты использования различных оценочных средств на примере той же компетенции ОК-3.

Компетенция имеет три компонента: знания, умения и владения (см. таблицу 2). Как мы уже указывали выше, знаниевая компонента может быть оценена с помощью тестов (включая задания со свободно конструируемым ответом). Что касается умений и владений, то тут возможны различные варианты оценочных средств. А поскольку компетенция содержит не только когнитивно-практическую составляющую («способен находить организационно-управленческие решения в нестандартных ситуациях...»), но психологическую («... и готовность нести за них ответственность»), то необходимо рассматривать соответствующий элемент психологической диагностики. Как вариант можно использовать специально подготовленный психологический тест-опросник.

В логике содержания компетенции ФОС по ней также должен содержать комплект проблемных задач, отражающих реальные ситуации, связанные с профессиональной практической деятельностью. Отличительная особенность такого комплекта состоит в отсутствии однозначного решения каждой из задач. Это так называемые кейс-измерители. Основная сложность разработки кейсов состоит в отсутствии необходимой практической подготовки у преподавателя: проблемные ситуации корректно и достоверно могут быть сформулированы только теми, кто имеет профессиональный опыт участия в них. Иными словами, необходимо привлекать к их разработке представителей потенциальных работодателей выпускников.

Оптимальная система критериев оценивания выполнения контрольных заданий и описание эталонов возможных результатов на разных уровнях выполнения формируют шкалу оценивания сформированности компетенции. Ее объективность и надежность определяется с помощью экспертного метода.

Таблица 4

Составляющие компетенции (в соответствии с табл.2)/средства и технологии оценки	Критерии оценивания			
	Минимальный ответ (компетенция не сформирована, соответствует академической оценке «неудовлетворительно»)	Изложенный, раскрытый ответ (уровень 1, соответствует академической оценке «удовлетворительно»)	Законченный, полный ответ (уровень 2, соответствует академической оценке «хорошо»)	Образцовый, примерный; достойный подражания ответ (уровень 3, соответствует академической оценке «отлично»)
Знание /задания со свободно конструируемым ответом/тест	Менее 60 % правильных ответов	60–74 % правильных ответов	75–89 % правильных ответов	90 % и более правильных ответов
Умение /задания для решения кейс-задач (реальные профессионально-ориентированные ситуации)/экспертная оценка	Минимальный ответ, отсутствует анализ ситуации	Анализ ситуации содержит ошибочные суждения, рекомендации также содержат ошибочные суждения	Анализ ситуации верный, имеется верный прогноз ее развития, включая риски, рекомендации содержат ошибочные суждения	Анализ ситуации верный, имеется верный прогноз ее развития, включая риски, рекомендации соответствуют выводам анализа
Владение /дискуссия/наблюдение, экспертная оценка (взаимооценка)	Минимальное участие в дискуссии, суждения ошибочные, не подтверждаются аргументами	Участие в дискуссии, аргументирует с трудом, не всегда верно, уклоняется от принятия решения и ответственности за него	Участвует в дискуссии, принимает на себя ответственность за принятое решение	Организует групповую дискуссию, проявляет гибкость: делегирует решение или принимает на себя ответственность в зависимости от аргументации оппонента
Владение /эссе/экспертная оценка	Минимальный ответ, суть проблемы не осознана, отсутствует анализ ситуации	Обозначена суть проблемы, анализ проблемы и/или прогноз и/или оценка ее последствий содержат ошибочные суждения, способы решения проблемы не в полной мере адекватны ее сути	Обозначена суть проблемы, анализ проблемы, оценка ее последствий верные, способы решения проблемы не в полной мере адекватны ее сути	Обозначена суть проблемы, анализ проблемы, оценка ее последствий, способы решения проблемы верные
Владение /самооценка участия в дискуссии/анкета-опросник	Самооценка завышенная, не соответствует оценке преподавателя – в более чем в 35 % случаях	Самооценка в целом соответствует оценке преподавателя, имеются расхождения с оценкой преподавателя от 25 до 35 % случаев	Самооценка в целом соответствует оценке преподавателя, имеются расхождения с оценкой преподавателя в 24 % и менее случаев	Самооценка соответствует оценке преподавателя

Шкала оценивания зависит от типа контрольных заданий и представляет собой многомерную оценку [6].

Представим шкалу оценивания выбранной нами компетенции с учетом возможных средств и технологий оценки (таблица 4).

Представленный нами вариант оценивания результатов обучения на примере одной из компетенций ФГОС не эталонный, поскольку логично предположить, что заданный стандартизованный результат должен измеряться аналогично стандартизированным инструментом/набором инструментов. Но до сих пор нет единой точки зрения по вопросу среды формирования той или иной компетенции. Так, например, рассматриваемая в данной статье компетенция будет намного эффективней сформирована не в стенах вуза, а в профессиональной среде.

Существующая степень неопределенности не позволяет преподавателям увидеть преимущества компетентного подхода, более того, провоцирует сомнения в его эффективности, а вместе с ним, в лучшем случае, пассивное отношение к происходящим реформам. В худшем случае мы имеем дело с открытой конфронтацией и противодействием внедряемым ФГОС [7]. Форсирование ввода актуализированных ФГОС определенно не добавило. Более того, некоторым

образом затормозило завершение перевода образовательной деятельности на ФГОС на этапе государственной итоговой аттестации первого выпуска студентов по новым стандартам. Учитывая, что многие формулировки компетенций существенно изменились, а ожидаемая унификация универсальных и общекультурных компетенций в ряде случаев не состоялась, можно с большой долей уверенности утверждать, что на качестве образовательных программ, включая все их элементы, это отразится не лучшим образом.

Позволим себе смелость задать вопрос об актуальности включения России в единое образовательное пространство Европы. Попытки механистически использовать опыт Европы, которая имеет отличный от России опыт развития системы образования, малопродуктивны. Может быть, стоит вспомнить русскую народную пословицу про то, что все новое – это хорошо забытое старое, и вернуться в исходную точку формулировки проблемы неудовлетворенности работодателей результатами обучения в вузах?

А пока на этот вопрос ответа нет, преподаватели всей страны будут продолжать решать сложную и неоднозначную задачу оценки результатов обучения по образовательным стандартам нового поколения. ■

Литература

1. Селезнева Н. А. Качество высшего образования как объект системного исследования : лекция-доклад. Изд. 4-е, стереотип. – М. : Исслед. центр проблем качества подготовки специалистов, 2004. – 95 с. ISBN 5-7563-0228-X.
2. Приказ Министерства образования и науки Российской Федерации от 18 ноября 2013 г. № 1245 [Электронный ресурс]. URL: <http://www.consultant.ru/> (дата обращения: 15.05.2015).
3. Национальное агентство развития квалификаций. URL: http://www.nark-rspp.ru/?page_id=462 (дата обращения: 17.05.2015).
4. Азарова Р. Н., Золотарева Н. М. Разработка паспорта компетенции : метод. рекомендации для организаторов проектных работ и профессорско-преподавательских коллективов вузов. URL: <http://fgosvo.ru/uploadfiles/npo/20120325222633.pdf> (дата обращения: 17.05.2015).
5. Болонский процесс: результаты обучения и компетентностный подход (книга-приложение 1) / под науч. ред. д-ра пед. наук, профессора В. И. Байденко. – М.: Исслед. центр проблем качества подготовки специалистов, 2009. – 536 с. ISBN 978-5-7563-0385-8.
6. Анастаси А., Урбина С. Психологическое тестирование (мастера психологии). 7-е изд. – СПб : Питер, 2007. 688 с. ISBN 978-5-272-00106-1.

7. Оськина М. Н. Проблемы ФГОС: традиции и инновации // Дискуссия. Разд. «Педагогика и психология». – 2013. – № 8 (38). – С. 144–148. ISSN 2077-7639.

References

1. Selezneva N. A. Kachestvo vysshego obrazovaniya kak obyekt sistemnogo issledovaniya : lektسيا-doklad. Izd. 4-e, stereotip. [The quality of higher education system as an object of study: Lecture-report. 4th ed., stereotype.] – M. : Issled. tsentr problem kachestva podgotovki spetsialistov, 2004. – 95 s. ISBN 5-7563-0228-Kh.
2. Order № 1245 of the Ministry of Education and Science of the Russian Federation dated November 18, 2013 [Electronic resource]. URL: <http://www.consultant.ru/> (data obrashcheniya: 15.05.2015).
3. The National Agency for the development of qualifications. URL: http://www.nark-rspp.ru/?page_id=462 (data obrashcheniya: 17.05.2015).
4. Azarova R. N., Zolotareva N. M. Razrabotka pasporta kompetentsii : metod. rekomendatsii dlya organizatorov proektnykh rabot i professorsko-prepodavatelskikh kollektivov vuzov. [Development of competence passport: guidelines for design work managers and faculty.] URL: <http://fgosvo.ru/uploadfiles/npo/20120325222633.pdf> (data obrashcheniya: 17.05.2015).
5. Bolonsky protsess: rezultaty obucheniya i kompetentnostny podkhod (kniga-prilozhenie 1) / pod nauch. red. d-ra ped. nauk, professora V. I. Baydenko. [The Bologna process: learning outcomes and competence-based approach (book-annex 1) / scientific editor: DSc in Pedagogics, Professor V. I. Baydenko.] – M. : Issled. tsentr problem kachestva podgotovki spetsialistov, 2009. – 536 s. ISBN 978-5-7563-0385-8.
6. Anastazi A., Urbina S. Psikhologicheskoe testirovaniye (mastera psikhologii). [Psychological Testing (master of psychology)] 7-e izd. – SPb : Piter, 2007. 688 s. ISBN 978-5-272-00106-1.
7. Oskina M. N. Problemy FGOS: tradicii i innovatsii [FGOS problems: traditions and innovations] Discussion. Section. «Pedagogics and psychology». – 2013. – №. 8 (38). – Pp. 144–148. ISSN 2077-7639.

Статья сдана в редакцию 29 мая 2015 года

С. В. Балакин

Математическое и лингвистическое моделирование концептуальных основ синтетической деривации

УДК 81.119

S. V. Balakin

Mathematical and linguistic modeling of conceptual framework of synthetic derivation

Аннотация

В настоящей статье рассматриваются способы математического моделирования взаимодействия концептуальных характеристик, влияющих на деривационные процессы синтетического типа. Синтетическая деривация подразделяется на два основных типа: префиксацию и суффиксацию. В целом и префиксация, и суффиксация характеризуются приращением определенной концептуальной характеристики к пропозиционально-фреймовой структуре. Математически данный процесс можно представить в виде линейной функции $y = f(x)$ и ее производной. Основными концептуальными характеристиками являются: бенефактивность, реверсность, безрезультатность, разделение, негативная привативность, положительная привативность, социативность, сопутствие, контейнер, аттенюация, интенсивность, тотальность, предельность, фаза, контражность, совместность, смена состояния.

Как показало исследование, суффиксальный способ словообразования по сравнению с префиксацией усложнен, так как нередко сопровождается сопутствующим процессом перехода языковой единицы из одной части речи в другую, что обозначается когнитивным механизмом частеречной преемственности за счет актуализации фреймовой структуры в определенной образ-схеме.

Ключевые слова: концептуальная деривация; синтетическая деривация; концептуальная характеристика; пропозиция; функция; приращение; частеречная преемственность; образ-схема.

Summary

This article discusses methods of mathematical modeling of interaction of conceptual characteristics that affect synthetic-type derivation processes. Synthetic derivation is divided into two main types: prefixing and suffixing. In general, prefixing and suffixing are characterized by adding a certain conceptual characteristic to propositional-frame structure. Mathematically, this process can be represented as a linear function $y = f(x)$ and its derivative. Main conceptual characteristics are: benefactiveness, reversibility, futility, division, negative privative, positive privative, sociativity, concomitance, container, attenuation, intensity, totality, boundedness, phase, contrariness, conjoining, change of status.

The study showed that the suffixing method of word-formation is complicated as compared to prefixing, as is often accompanied by a concurrent process of transition of linguistic unit from one part of speech to another one, which is designated by cognitive mechanism of succession of part of speech through actualization of frame structure in a certain image diagram.

Keywords: conceptual derivation; synthetic derivation; conceptual characteristics; proposition; function; increment; continuity of part of speech; image diagram.

Синтетическая деривация (то есть словообразование аффиксальным способом) присуща всем индоевропейским языкам, включая русский, французский, португальский и немецкий. В отдельности каждый из представленных языков обладает собственным потенциалом к аффиксации, поэтому при сравнительном анализе наблюдается определенная градация их синтетичности. Наиболее синтетическим языком оказывается русский язык, который располагает богатым и подвижным аффиксальным арсеналом, выполняющим не только словообразовательную, но и грамматическую функцию (образование видовременных форм)¹. Языком с наименьшим синтезирующим материалом – португальский. Несмотря на существование довольно разветвленной аффиксальной системы, португальский язык редко использует ее для словообразования и отдает предпочтение формированию нового слова². «Срединными» языками оказываются французский и немецкий: первый салиентен с португальской системой, немецкий же язык, напротив, обладает более богатой словообразовательной системой³. С. Ульманн замечал, что немецкий глагол, характеризуясь высокой степенью мотивированности, широко использует префиксы для спецификации разных видов действия, и эти добавочные оттенки значения в большинстве случаев игнорируются во французском (*setzen/ansetzen = mettre*) [1].

В.Г. Гак, исследуя префиксальное образование французских глаголов, выделил два типа дериватов, нехарактерных для русского языка, – атрибутивы и привативы: французские префиксы *ad-, en-, in-*, указывающие на «приближение, помещение чего-то куда-то, возникновение состояния», образуют атрибутивные глаголы, а привативные формируются при помощи префиксов *dé-, ex-, é-*. В зависимости от типов связей между основой мотивирующего слова и префиксом В.Г. Гак подразделяет привативные глаголы на две группы. Первая – привативные глаголы с внутренней объектной связью, указывающие на «удаление, извлечение того, что обозначалось именной основой». Глагольные дериваты с внутренней локальной связью, обозначающие «удаление от места, выраженное именной основой», принадлежат ко второй группе [2]. Таким образом, главным свойством префиксов является уточнение семантики деривата.

Что касается синтетической деривации по суффиксальному типу, то данный вид словообразования нередко отягощается переходом деривата в другую часть речи.

В результате выделяют следующие основные виды синтетической деривации: префиксальные, суффиксальные, префиксально-суффиксальные, постфиксальные, суффиксально-постфиксальные, префиксально-постфиксальные и префиксально-суффиксально-постфиксальные.

¹ В настоящей статье не рассматриваются вопросы образования видовременных форм. Однако необходимо уточнить, что наиболее распространенными видовыми префиксами в русском языке являются *с-* и *по-*. Поэтому в русских словарях огромное количество словарных статей на начальные буквы «п» и «с» посвящено именно глаголам.

² Большинство префиксальных глаголов в португальском языке сформировано еще в римскую эпоху заимствованием из классической и народной латыни. Данный факт характерен для всех языков романской ветви.

³ В немецкой философии еще со времен В. фон Гумбольдта широко распространена теория так называемого духа народа. Согласно ей, национальный язык отражает всю совокупность историко-культурных особенностей той или иной нации и предстает основным элементом отражения духа народа. В разные времена данная идея воспринималась по-разному. В период раздробленности немецкой нации она служила идеологическим элементом в борьбе против наполеоновского нашествия и объединения в великую Германию (братья Гримм, И.В. фон Гёте и др.). В период нацистской Германии теория «духа народа» была сильно искажена и трактовалась через призму степени развитости народов. Утверждалось, что, так как язык отражает дух народа, то языки синтетического строя (например, славянские), будучи наиболее приближенными к древним языкам (для которых характерна чисто синтетическая система), являются менее развитыми. Незавитый язык значит неразвитый народ. Однако нацистские идеологи упустили один важный фактор: в немецком языке (по сравнению, например, с французским и английским) очень сильно развит синтетический способ словообразования и словоизменения. Немецкий язык богат не только аффиксальным фондом, но обладает достаточно развитой падежной системой, выражаемой полусинтетическим, полуаналитическим способом.

Все виды синтетической деривации основаны на мыслительных процессах, происходящих в ментальном пространстве говорящего человека. Взаимосвязь мыслительных процессов и языковых явлений исследуется в русле когнитивной лингвистики, берущей свое начало от гештальной психологии, которая изучала целостные структуры в общей их совокупности, без выделения определенных элементов¹. Постулатом, взятым на вооружение лингвистическим аппаратом, является гештальтный закон выделения, впоследствии развитый в теории выделения. Согласно данному закону, все объекты окружающей действительности на начальном этапе их осмысления предстают в качестве нерасчлененного единства. В течение времени человек начинает выделять из данного образа отличительные элементы, которые впоследствии принимают прототипический статус для данного объекта, а сам объект начинает восприниматься и идентифицироваться за счет данных прототипических признаков.

Когнитивистика разработала целую парадигму подобных мыслительных признаков, объединив их термином «концепт». Под концептом понимают единицы ментального и психического ресурсов нашего сознания, ту информационную структуру, отражающую знание и опыт человека в виде неких «квантов» знания [3]. В зависимости от формы информации или знания форма концепта меняется. Выделяют такие виды концептов, как понятие, сценарий, скрипт, фрейм, пропозиция, а также гештальт, ставший одним из видов концептов (см. подробнее [3]). Исследования в русле когнитивной лингвистики охватывают всю языковую систему. Изучаются собственно концептуальные единицы, строятся их таксономические модели, категории, анализируются их взаимосвязь с языковым уровнем и влияние концептуальных единиц на процессы языке.

Большое количество работ российских ученых, посвященных различным видам изменений в языке, формирует в отечественной когнитивистике, по нашему мнению, целое направление – когнитивную дериватологию, изучающую деривацию в привязке с концептуальным уровнем.

Главный постулат когнитивной дериватологии – факт существования трихотомии: внеязыковая действительность, языковая система и концептуальный уровень. Все три системы опосредованно или напрямую влияют друг на друга. Интересным остается вопрос: что является «конечным пунктом» в данной трихотомии – язык или концептуальная система? что влияет на изменения в языке? перестраивает ли концептуальная измененная концептуальная система языковую или язык со своим ограниченным словообразовательным или словоизменительным арсеналом накладывает на концептуальную структуру лимитированные правила, в рамках которых последняя изменяется?

Эти и другие вопросы постоянно поднимаются в различных исследованиях по деривации. Одна из попыток понять возникающие вопросы заключается в моделировании на основе различных методов, когнитивных механизмов деривации с последующим их лингвистическим иллюстрированием на материалах разноструктурных языков. Здесь очень популярны методы фреймовой семантики и пропозициональной структуры.

Под фреймом (от англ. *frame* – рамка) понимается многокомпонентное концептуальное образование; оно отличается от гештальта большей детализацией. Как правило, фрейм содержит информацию о развивающейся во временном и пространственном континуумах ситуации. Поэтому для нее характерны следующие компоненты: участники ситуации, взаимодействие между ними, время, сопутствующие

¹ Гештальная психология была разработана немецкий психологом М. Ветгеймером. В основу обозначения положено немецкое слово *Gestalt*, имеющее значение «образ, форма, структура».

элементы. Все они находятся в так называемых слотах – терминальных узлах, связывающихся посредством действия – предиката. Список участников и сопутствующих элементов в одном фрейме может быть очень длинным. Ср.: *я покупаю машину/мама покупает игрушку дочке/отец покупает компьютер/правительство США покупает заемные облигации* и т.д. В неактуализированном виде все представленные элементы находятся в слотах фрейма. Актуализированные же элементы складываются в трехчленную структуру линейного типа, отображающую на ментальном уровне пропозицией.

Пропозиция (от лат. *propositio* – я излагаю) является ментальным образованием, отображающим взаимоотношения между субъектом и объектом¹. Можно выделить некоторые отличительные особенности лингвистической пропозиции. Во-первых, пропозиция представлена неким содержанием, в отличие от логического суждения, что не всегда дает право трактовать ее с позиции истинности/ложности [4]. Во-вторых, пропозиция описывает некую ситуацию и ее глубинную структуру, выражаемую различными синтаксическими структурами при одной и той же неизменной ситуации [5]. В-третьих, пропозиция включает себя следующие элементы: субъект, объект (аргументы), предикат и сирконстанты, то есть сопутствующие элементы. Рассмотрим каждый элемент подробнее.

Предикат (*f*) влияет на набор концептуальных характеристик, которыми обладают аргументы и сирконстанты, и, как правило, представлен в качестве функции, исполняемой каким-то глаголом. Глагол в виду вербоцентричности человеческого языка несет «прототипический образец простейших операций», так как «существуют некие атомарные предикаты, аксиоматические сущности» [6]. Поэтому предикат представляет собой функцию, обозначаемую глагольной

формой, поставленной в инфинитив и не осложненной формальными (грамматическими) признаками.

Субъект (*x*) – экспериенцер, каузатор и др. Категория субъекта находится в плоскости более философской, так как именно субъект формирует языковые явления и в то же время он участник различных событий в языке, в том числе и деривационных. Субъект представляется центром познания мира, в результате чего язык имеет антропоцентрический характер; остальные члены пропозиции будут определяться именно через субъект. В результате особого статуса субъекта в пропозиционно-фреймовой структуре, он оказывается ограниченным – именно субъект познает, оценивает, выделяет особые признаки во всей остальной структуре с целью дальнейшего речепорождения или формирования единиц как концептуального, так и языкового уровней.

Объект (*y*) подразделяется в зависимости от влияния на него субъекта на различные семантические роли. Глубинная падежная грамматика Ч. Филлмора показывает, какие виды предикаций возникают при субъектно-объектных отношениях. Все отношения сводимы к конечному набору основных типов событий, не отяжеленных дополнительными функциями и носящих характер чисто абстрактных корреляций: это каузация, ощущение, движение, нахождение в определенном состоянии (местоположении), претерпевании и влиянии [7].

Сирконстант (*α*) формирует большое количество концептуальных характеристик, объединяющихся в определенные онтологические категории. Под концептуальной характеристикой мы понимаем конкретное задействие ментального представления сопутствующих элементов ситуации. Сирконстанты дополняют пропозиционную структуру различными элементами, которые могут выражаться

¹ Понятие «пропозиция» возникла в русле логики и использовалось для определения степени истинности/ложности высказывания. В лингвистике данный термин стал использоваться после работ немецкого логиста Г. Фреге.

морфолого-синтаксическими элементами. В пропозицию могут входить следующие сирконстанты: фазовость, локативность, сопутствие, реверсность, бенефактивность, привативность, контейнер и т.д. Сирконстанты – это широкомасштабные концептуальные образования, нередко с иерархической структурой.

В соответствии с подобным составом лингвистическая пропозиция изучается в трех основных аспектах [3]. Во-первых, она представляется формулой $f(\hat{x}, \hat{y})$ с различными вариантами заполнения ее частей разными языковыми единицами. Во-вторых, рассматриваются предикативно-функциональные отношения между языковыми единицами. И, в-третьих, изучаются языковые единицы, которые могут быть сформированы за счёт конкретизации определенной пропозициональной функции [8]. Последний аспект тесно связан с понятием деривации, с возникновением новых структур знаний и стоящих за ними единиц языка. На данный факт указывает Е.С. Кубрякова, подмечая, что в основе любого производного слова лежит особая пропозициональная структура, имеющая перспективу на подсознательное ее выделение и развитие [9].

Как было сказано выше, пропозицию можно представить как пропозициональную функцию $f(\hat{x}, \hat{y})$, где $\hat{x} \in X$ и $\hat{y} \in Y$. X и Y суть множества субъектов и объектов соответственно [3]. Для каждого значения \hat{x} обозначим через Y_x множество всех объектов, для которых f принимает истинное значение.

Пронумеруем все элементы множества X натуральными числами, причем номер элемента \hat{x} будем обозначать через x . Соответствующим образом пронумеруем все множества Y_x , то есть множеству Y_x приписываем номер y , равный номеру x элемента \hat{x} , породившего множество Y_x . Таким образом, мы построили функцию $y(x) = x$, $x \in N$, то есть фактически мы выполнили параметризацию, заменив объекты произвольной природы числами.

Построенную функцию можно рассматривать как математическую интерпретацию пропозиции, а ее график – в качестве графической интерпретации (рис. 1).

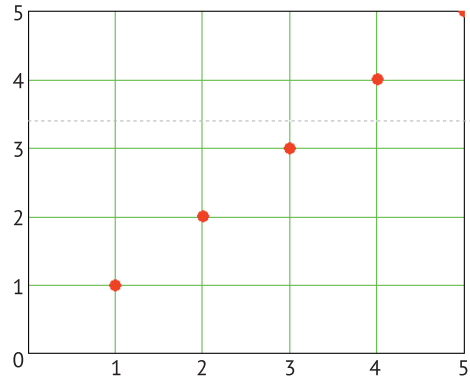


Рис. 1

Полученная конструкция допускает более глубокую детализацию, позволяющую графически интерпретировать различия между чистой и деривационной пропозициями. Чистая пропозиция отождествляется с функцией $y(x) = x$, для всех вещественных чисел $x \geq 0$, то есть с функцией, производная которой равна 1 при $x \in N$.

В свою очередь, деривационную пропозицию отождествим с функцией, совпадающей с $y(x) = x$ при $x \in N$, но имеющей производную, равную $\alpha \in (0, \infty)$, $\alpha \neq 1$ в этих точках.

Таким образом, разные сирконстанты будут соответствовать разным значениям α (рис. 2).

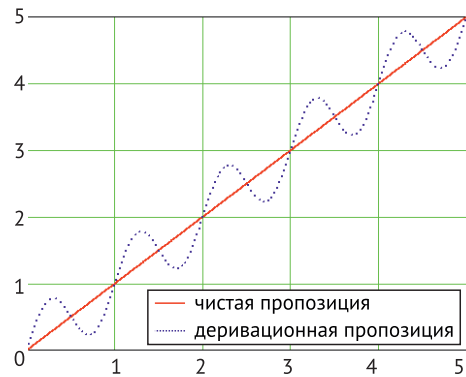


Рис. 2

Итак, если принимать во внимание тот факт, что пропозиция – это функция между субъектом и объектом, то она может быть представлена в виде функции $y = f(x)$, которая отображает все взаимоотношения, возникающие между ними, независимо от того, в какой точке происходит отношение между субъектом (x) и объектом (y).

При деривационных процессах действуют практически все элементы пропозиционально-фреймовой структуры: x – субъект, y – объект, функция $f(x, y)$ и сирконстант (α). Основными элементами и мощными деривационными узлами, при которых происходит синтетическая и аналитическая деривация, служат y , $f(x, y)$ и α .

С точки зрения когнитивной деривации, в частности синтетическая в упрощенном виде представляет собой процесс, имеющих когнитивный характер, который отображает внеязыковую действительность. Наблюдая за внеязыковой действительностью, человек подвергает ее детальной концептуализации, то есть мысленному делению на составные части или концептуальные характеристики. Составляющие и характеристики взаимодействия между субъектом и объектом предстают не как монолитное и неизменяемое – они подвергаются различным изменениям, и именно предикат оказывается центральным элементом, исполняющим функцию между субъектом и объектом, а также с прирастающим дополнительным элементом-сирконстантом (α). Поэтому, если рассматривать отношение между субъектом и объектом как пропозицию, то можно утверждать, что она трансформируется в производную, потому что прирастает новой концептуальной характеристикой. Концептуальные характеристики формируются под определенный салиентный фрейм с дальнейшим выделением наиболее важных

характеристик, имеющих прототипический статус. Как показало исследование, подобные концептуальные характеристики сводимы к конечному числу. Среди них: концептуальные характеристики фазовость, локативность, сопутствие, реверсность, бенфактивность, привативность, аттенюация, тотальность и т.д.

Вышеперечисленные характеристики являются неотъемлемой частью при построении фреймовой, а затем пропозициональной структур и могут вербализовываться различными способами – как лексическим, так и грамматическим. Так, например, концептуальная характеристика «аттенюация» передается посредством языковой единицы «немного, маленький, небольшой и т.д.» при помощи префикса *по-* либо при помощи суффикса *-чик/-чка*. Например: *поиграть* = играть недолго. Нередко концептуальная характеристика может быть выражена одновременно и грамматическим, и лексическим способами. Например: *поиграли немного*. Рассмотрим подробнее наиболее важные концептуальные характеристики.

Сирконстант «фазовость» указывает на временные отрезки разной протяженности и конфигурации, следовательно, его можно рассматривать как один из компонентов концепта «время» и выделить следующие элементы фазовости: начало, продолжение, конец, повторность, временные отрезки разной протяженности и др.

Сирконстант «локативность» раскрывает кинематические свойства субъекта или объекта и связан прежде всего с глаголами движения. Можно выделить следующие сирконстанты, входящие в данную категорию: движение субъекта/объекта из точки А в точку Б; движение субъекта по поверхности/через объект, удаление, движение впереди объекта, положение над объектом¹.

¹ Категория «локативность» очень важна для русской лингвокультуры, в которой присутствует особая категория глаголов движения. Существует 14 пар таких глаголов и в каждой из этих пар есть глагол с однонаправленным движением (идти, ехать, плыть, лезть и т.д.) и глаголы с разнонаправленными движениями (ходить, ездить, плавать, лазить и т.д.). Такие пары отсутствуют в западноевропейских языках. Можно предположить, что существование подобной категории в русской лингвокультуре обусловлено большими масштабами российского государства, а локативность является неотъемлемой частью самого предиката в пропозиции.

Сирконстант «сопутствие» указывает на одинаковые или сопровождающие действия субъекта и объекта. Поэтому фреймовая структура профилирует этот сирконстант, указывающий на параллельное протекание какого-либо действия.

Сирконстант «реверсность» определяет действие, обратное действию, произведенному над тем же объектом. Идентифицирующим свойством служит указание «на противоположность в выполнении любого действия или совершения в движении» [10]. Итогом реверсности действия, как правило, является придание объекту новой или прежней формы/состояния.

Сирконстант «аттенюация» и сопутствующее ослабление действия или неполнота могут выражаться в таких качественных параметрах, как совершение смягченного действия по сравнению с основным (подпеть); незначительность действия (погулять); незначительная интенсивность действия (пострелять); ослабленное действие (подкинуть); недоведение действия до нормы (недоговорить) [11].

Сирконстант «тотальность» по отношению к действию отражает «полноту действия в его пределах». Полнота действия выражается в следующих параметрах: всеохват действия; переход за границы субъекта; интенсивность, не переходящая за границы субъекта; тщательность действия; распространение действия на множество субъектов или на все объекты [11].

Бенефактивность отражает результат действия, а актанты, имеющие в качестве результата какую-нибудь выгоду, являются бенефициантами. Сирконстант «привативность», напротив, заключается в том, что субъекту в результате совершения действия нанесен какой-либо ущерб или объект является потерей для субъекта, а, как показало исследование, привативность, с логической точки зрения, может быть положительной.

Сирконстант «цель» определяется как понятие того, что некто «хочет и счи-

тает, что может каузировать с помощью имеющихся в его распоряжении ресурсов» [12]. Главная особенность цели – ее ориентирование на будущее, в отличие от результата, который нацелен на прошлое. Особенностью сирконстанта результат является осмыслением того, достигнута цель или нет.

Сирконстанты, будучи концептуальными образованиями, можно актуализировать и вербализовать посредством многих языковых средств различной формы. Одним из продуктивных способов их вербализации оказывается префиксация и суффиксация, так как в концептуальной структуре префиксов содержатся салиентные концептуальные характеристики сирконстантов пропозиции. За счет схожести происходит связка производящей основы с префиксом.

Что касается суффиксов, то они отличаются от префиксов большей абстрактностью и содержат следующие концептуальные характеристики: «активное действие», «операция», «свойство», «локативность», «область», «функция», «маскулинность», «фемининность».

Лингвистически общую модель деривационной пропозиции можно представить следующим образом (на примере деривации глагола):

*субъект-агнс – предикат –
– объект-агнс – сирконстант.*

В зависимости от типа глаголов, отражающих различные ситуации, пропозиции приобретают более конкретную структуру. Так, для глагола *движения* структура дополняется сирконстантом *фазовость* и выглядит следующим образом: *субъект – предикат – направление – фазовость*. Например, *идти: субъект – предикат – направление – фазовость* → *перейти: субъект – предикат – направление – преграда – фазовость*.

Если представить пропозицию в виде математической функции $f(x, y)$, то с точки зрения синтетической деривации функция пропозиции претерпевает

процесс приращения дополнительным признаком, необходимым для формирования синтетического или аналитического деривата. Однако приращение при синтетической деривации отличается от аналитической. При синтетической деривации приращение функции осуществляется дополнительным третьим элементом, при аналитической деривации этого нет, но есть выделение по типу «фигура – фон» одной из многих точек $f(x, y)$, в результате чего происходит изменение, развитие, модификация, метафоризация, полисемантичность изначального значения.

Представим данный вид деривации при помощи лингвистических моделей. Например, во французском языке:

cougir – {субъект – предикат – **локативность**¹} + *par* – {объект-препятствие – **локативность (движение субъекта через/по поверхности объекта)**} => *parcourir* – {субъект – предикат – объект-препятствие – **локативность (движение субъекта через/по поверхности объекта)**};

*On n'a point vu Rome quand on n'a point **parcouru** les rues de ses faubourgs* [13];

voir – {субъект – предикат – объект} + *pré* – {**фазовость (предшествование)**} => *prévoir* – {субъект – предикат – объект – **фазовость (предшествование)**};

*je **prévois** prochainement un test comparatif, ce n'est pas que cela soit mauvais mais les plats surgelés ont tous plus ou moins le même goût, moussaka, hachis Parmentier, poêlée méridionale, brandade et j'en passe, il doit y avoir un ingrédient **commun**, quelque chose qui domine* [13];

infecter – {субъект – предикат – (объект)} + *dés* – {**контрапность**} => *désinfecter* {субъект – предикат – (объект) – **контрапность**};

*elle dit il faudra **désinfecter**, quand tu rentreras chez toi. Elle dit viens, je vais t'amener à ta **maman*** [14].

В диахроническом плане в рамках математической модели деривационных процессов, построенной выше, предикату нулевого порядка соответствует значение $\alpha = 1$, а предикатам первого и второго порядков – значение $\alpha = 2, 3, 4$, то есть $P = \alpha - 1$.

Интересно рассмотреть отношения функций различного порядка на примере категории глаголов движения. В русском языке нулевой функцией $y = f(x)$ оказывается предикат движения, вербализуемый глаголом «перемещаться», так как при сопоставлении с другими предикатами он обладает лишь концептуальной характеристикой «локативность», то есть обозначает перемещение предмета в определённом пространстве и занятие определённого места. Производной функцией для данного предиката (f') оказывается вторичный предикат движения, актуализируемый за счет глагола «двигаться», теряющий концептуальную характеристику «занимание места в пространстве», но сохраняя концептуальную характеристику «перемещение в пространстве в определённом направлении». При приращении последующей концептуальной характеристикой «условие» получаем предикаты второго порядка «идти, ехать, лететь, плыть и д. т.». Ср.: *идти* (как? пешком, на ногах) ← *двигаться* (в определённом направлении) ← *перемещаться* (в пространстве). При дальнейшем приращении другими концептуальными характеристиками получаем дериваты типа «подойти, перейти». Эти вторичные единицы оказываются производными функциями третьего порядка, но одного ряда, так как все они произошли от предиката движения «идти», а не от друг друга. Ср.: *перейти* ← *идти*, но *перейти* ← *подойти*.

Рассмотрим на примере иллюстративного материала.

Нулевой предикат глагола «перемещаться» функционирует во фразе следующим образом: *Да, ноги перебирали*

¹ Жирным шрифтом выделена приращенная концептуальная характеристика.

шпалы, и это могло свидетельствовать, что он **перемещается в пространство** [15];

...давешний бритый здоровяк, расспрашивавший про рацион черных, отстал от них, поравнявшись с Артемом, и пристроился так, чтобы **идти с ним в ногу** [15]. В данном примере видна актуализация концептуальной характеристики «условие – как?» за счет вербализации языковой единицы «в ногу».

В последующем примере актуализирован предикат движения при помощи глагола «ехать» за счет актуализации концептуальной характеристики «субъект – транспортное средство» посредством языковой единицы «трамвай»: *Вон ваш **трамвай едет!** — сообщил билетер и зазвонил в колокольчик* [15].

Обратимся к романским (французскому и португальскому) языкам. В португальском языке эволюция предиката «перемещение» также происходит посредством приращения концептуальной характеристикой «перемещение в пространстве в определенном направлении» к нулевой функции $y = f(x)$, актуализированной при помощи глагола «passar», в результате чего наблюдаем первичную производную функцию (f'), активно использующую словоформы глагола *ir a*, имеющие значения направленного движения. Ср.: *ir a* ← *passar de um lugar para outro* [16]. В примере выделена актуализированная концептуальная характеристика перемещения в пространстве в определенном направлении. К предикату первого порядка возможны приращения других концептуальных характеристик для формирования предикатов второго и последующих порядков, то есть производных функций (f' , f'' , ... f^n). Ср.: *partir* ← *ir embora* ← *passar de um lugar para outro* [16]. Рассмотрим функционирование предикатов различных порядков на примерах.

*O casal que passou **correndo**, os pés espalhando a água da arrebentação, o sorriso nos lábios, e o terror oculto dizendo que iam ficar velhos, desinteressantes, inválidos* [17]. Здесь интересен прежде

всего не нулевой предикат, выражаемый глаголом «passar», а то доказательство, что при актуализации концептуальной характеристики «условия – как? correndo» имплицитно формируется предикат второго порядка с приращённой данной концептуальной характеристикой, так как он может быть передан полноценным глаголом «correr». Ср.: *correr* ← *passar com rapidez* [16].

В следующих примерах показаны предикаты первого и второго порядков с актуализированными лексически приращёнными концептуальными характеристиками. Ср.:

*vai até a aldeia, e compre o sal/Não sabemos **de onde vem ou para onde vai*** [17];

a partir daí, a presença do demônio se tornara cada vez mais constante [17].

Во французской лингвокультуре также формируются предикаты нескольких порядков, то есть производные функции. Однако ход их эволюции несколько другой. В своем развитии предикат «перемещение», вербализуемый во французской лингвокультуре посредством глагола «aller», из конкретной области переходит в абстрактную. Это сопровождалось постепенной утратой конкретных концептуальных характеристик в отличие от русского и португальского языков. Ср.: *aller* ← *ambulare* (лат.) = *marcher au pas* ← *se promener* ← *faire un tour*. В данный момент глагол «aller», вербализующий предикат «движение», имеет значение «перемещение субъекта/объекта в пространстве», а наличие концептуального признака «движение вперед» придает субъектам/объектам характер акциональности: *aller à pied, aller en train, aller par mer, aller à trot, aller seul* и т.д. [18].

Вследствие абстрактности генетический предикат приобретает латентность и может быть актуализирован в различных предикатах движения при актуализации одного из признаков локативности. Ср.: *partir* ← *s'en *aller*; *rendre* ← **aller (en ayant une direction)*; *passer* ← **aller d'un lieu à un autre*; *avancer* ← *aller en avant* [18]. В примере видно, что

в отличие от португальского нулевого глагола «passar», французский «passer» является глаголом, актуализирующий функцию второго порядка (*f'*).

За счет увеличения концептуальных признаков более высшего порядка предикат приобретает более латентный и атомарный характер. Например, *sortir* (третий порядок) ← **passer du dedans au dehors* (второй порядок) ← **aller d'un lieu à un autre* (первый порядок); *traverser* (третий порядок) ← **passer à travers, d'un côté à l'autre* (второй порядок) ← **aller d'un lieu à un autre* (первый порядок).

Таким образом, предикаты первого, второго и последующих порядков являются производными функциями с приращенными либо с утерянными концептуальными характеристиками.

Синтетическая деривация суффиксального типа оказывается намного сложнее, нежели префиксация, так как она нередко сопровождается переходом языковых единиц из одной части речи в другую. В результате задействуется практически вся фреймовая структура, а не отдельно взятая ее пропозициональная структура (за счет свойств салиентности, фрактальности и синкретичности), а также актуализируется когнитивный механизм частеречной преемственности, который понимается как «передача определенного объема концептуальной информации, заключенной в начальном значении слова, новому значению или значениям» [19]. Все перечисленные феномены на языковом уровне вербализуются в определенной образ-схеме. Под образ-схемами мы понимаем динамические структуры перцептивной и моторной деятельности человека, которые обеспечивают связность и упорядоченность нашего опыта [20].

Образ-схема может быть субстанциональной, так и акциональной. Если срабатывает субганциональная образ-схема, то языковая единица будет выражена существительным, если акциональная образ-схема, то глаголом. Ср.: *игра в (мяч, карты, футбол и т.д.)* → *играть в (мяч, карты, футбол и т.д.)*;

игра с (жизнью, детьми, огнем и т.д.) → *играть с (жизнью, детьми, огнем и т.д.)*. Различие может проявляться в вербализации сопутствующих элементов, которые зависят уже от особенностей самих частей речи. Ср.: *честная игра* (прилагательное + существительное) – *играть честно* (глагол + наречие).

Учитывая частеречную преемственность, следует говорить, что концептуальная структура того или иного существительного такая же, как и концептуальная структура их глагольных дериватов. Существительное и глагол характеризуют одну и ту же сущность, свойства и признаки, им присущие, «дублируются», повторяя ряд, например, одной категории на основе естественного характера, подкрепленного человеческой логикой. При наследовании показывается, какая часть информации является наиболее общей, то есть информацией по умолчанию. Поэтому максимально наглядно процесс наследования представлен у языковых полисемичных единиц.

При соотношении концептуального и языкового уровней возникает эффект свёрнутости пропозиции, под которым мы понимаем соотношение количества профилированных концептуальных признаков к количеству и виду вербализующих их языковых средств. Концептуальная характеристика может быть вербализована как при помощи лексических, так и при помощи грамматических средств. Пропозиция, элементы которой актуализированы при помощи грамматических средств, оказывается более свернутой, нежели та, которая вербализована за счет лексики. В данном случае возникает дихотомия, присущая языку в целом: несмотря на приращение и, соответственно, отягощение пропозиции концептуальной характеристикой, пропозиция, актуализированная за счет аффиксального фонда, имеет более свёрнутый вид, нежели та, которая актуализирована за счет лексического фонда.

Например, во французском языке: *mystifier* → *démystifier* → *priver de son mystère, masquer* → *démasquer* →

enlever le masque, péigner → dépeigner → priver d'arrangement des cheveux, danser → dansoter → danser un peu, tousser → toussoter → tousser d'une petite toux peu bruyante и т.д. [18].

Итак, синтетическая деривация предстает как сложный и многогранный процесс мыслительно-языкового характера. С точки зрения когнитивности, данный деривационный вид обусловлен приращением концептуальной характеристикой к трехчленной ментальной фреймовой структуре, имеющей в данном случае пропозициональную форму. Математический данный процесс можно изобразить в качестве формулы $Y(x) = X$, при $X \in N$, $\alpha \in (0, \infty)$, $\alpha \neq 1$, которая представляет собой изменение пропозициональной функции. В эволюции языка могут происходить наслоения, связанные с возникновением предикатов высших порядков за счет приращения/исчезновения концептуальных характеристик в пропозициональных структурах. Поэтому производные пропозиции будут иметь вид $(f', f'', \dots f''')$.

Данный процесс характерен прежде всего для префиксации, суффиксация же – процесс, осложненный дополнительными речемыслительными процессами, в частности переходом языковой единицы из одной части речи в другую за счет когнитивного механизма частеречной преемственности при задействовании всей фреймовой структуры.

При исследовании выяснилось, что пропозиция обладает рядом особенностей, среди которых можно обозначить фрактальность, салиентность, синкретичность и способность

к сворачиваемости. Последняя отражает дихотомию как свойство всех языковых системы.

При процессе сворачиваемости пропозиции могут возникнуть сбои, что может привести к следующему. В случае, если необходимое приращение концептуальной характеристики не произошло, то производная функции приобретает вид линейной, которая может быть названа ложной, а на языковом уровне возникает эффект энтропии (потеря части информации).

Если функция прирастает дополнительным концептуальным признаком, не принадлежащим данной функции, то возникает эффект псевдоинформации. На языковом уровне псевдоинформация заключается в возможном ложном понимании той или иной языковой единицы из-за потери одного из ее словообразовательных элементов.

Деривация, как и другие пласты языка, тесно связана со знаниями как о внеязыковой действительности, так о языковой системе и ментальной плоскости. Деривация репрезентирует особый вид мировидения и знаний, включая в себя деривационные процессы, способствующие развитию языковой системы и способы концептуализации окружающей действительности. Деривация базируется на взаимодействии концептуальных структур, стоящих за производящей основой под влиянием экстралингвистических факторов. Таким образом, язык как знаковая система оказывается «зажатым» между ментальными процессами и внеязыковой – денотативной – ситуацией. ■

Литература

1. Алимуратов О.А. Значение, смысл, концепт и интенциональность: система корреляций : дис. на соиск. уч. ст. ... д-ра филолог. наук: 10.02.19 – Теория языка / Ставропольский государственный педагогический институт. Ставрополь, 2004. 544 с.
2. Алпатов В.В. Концептуальные основы формирования религиозных топонимов // Вопросы когнитивной лингвистики. № 1. 2007. С. 86–95. ISSN 1812-3228.
3. Апресян Ю.Д. Избранные труды. Т. I. Лексическая семантика. Синонимические средства языка. – М. : Школа «Языки русской культуры», Изд. фирма «Восточная литература» РАН, 1995. – 472 с.
4. Болдырев Н.Н. Структура и принципы формирования оценочных категорий // С любовью к языку : сб. науч. трудов. Посвящается Е. С. Кубряковой. – М., Воронеж : ИЯ РАН, Воронежский государственный университет, 2002. 492 с.

5. Болдырев Н. Н. Когнитивная семантика : курс лекций по английской филологии. – Тамбов : Изд-во ТГУ им. Г. Р. Державина, 2002. – 123 с.
6. Боярская Е. Л. Когнитивные основы формирования новых значений полисемантических существительных : дис. ... на соиск. уч. ст. канд. филолог. наук: 10.02.04. – Калининград, 1999. – 217 с.
7. Васильченко О. В. Проблема языковой концептуализации субъектно-объектных отношений. М. : Ин-т языкознания РАН; Тамбов : Издательский дом ТГУ им. Г. Р. Державина, 2012. С. 368–370.
8. Гак В. Г. Беседы о французском слове (из сравнительной лексикологии французского и русского языков). М. : Международные отношения, 1986. 336 с.
9. Дейк Т. А. ван, Кинч В. Стратегия понимания связанного текста//Новое в зарубежной лингвистике. Вып. 23 : Когнитивные аспекты языка. – М. : Прогресс, 1988. С. 15 –211.
10. Кубрякова Е. С. и др. Краткий словарь когнитивных терминов / Е. С. Кубрякова, В. З. Демьянков, Ю. Г. Панкрац, Л. Г. Лузина. – М. : Изд-во МГУ, 1996. 245 с.
11. Кубрякова Е. С. Язык и знание: на пути получения знаний о языке : части речи с когнитивной точки зрения. Роль языка в познании мира / Рос. Академия наук, Ин-т языкознания. М. : Языки славянской культуры, 2004. – 560 с. ISBN 5-94457-174-8.
12. Кубрякова Е. С. Глаголы действия через их когнитивные характеристики/Логический анализ языка. Модели действия. – М. : Наука, 1992. С. 84–90.
13. Куликов В. Г. Когнитивная матрица и локальные концепты в диалектных исследованиях // Вестник ТюмГУ. №2. 2005. С. 193–201. ISSN 1994-8484.
14. Макарова И. Ю. Когнитивные основы формирования значений отсубстантивных глаголов в современном английском языке : автореф. дис. на соиск. уч. ст. ... канд. филолог. наук: 10.02.04. Тамбовский государственный университет им. Г. Р. Державина. 2007. – 18 с.
15. Милославский И. Г. Морфологические категории современного русского языка. М. : Просвещение, 1981. 254 с.
16. Никитин М. В. Полисемия на пределе (широкозначность) // Концептуальное пространство языка : сб. науч. тр. / под ред. проф. Е. С. Кубряковой. – Тамбов : Изд-во ТГУ им. Г. Р. Державина, 2005. С. 101–111.
17. Новейший немецко-русский, русско-немецкий словарь. Киев : Арий; Екатеринбург : У-Фактория, 2005. 960 с.
18. Ожегов С. И. Словарь русского языка: ок. 57000 слов / под ред. чл.-корр АН СССР Н. Ю. Шведовой. М. : Рус. яз., 1988. 750 с.
19. Полюжин М. М. Диахронно-семантический аспект префиксального словообразования в английском языке : дис. ... на соиск. уч. ст. д-ра филол. наук: 10.02.04. М., Ужгород, 1993. – 416 с.
20. Ульманн С. Семантические универсалии // Новое в лингвистике. Вып. V. М. : Изд-во «Прогресс», 1970. С. 250–299.
21. Федорова Т. Л., Щеглова О. А. Словообразовательный словарь русского языка. М. : «ЛадКом», 2012. 768 с. ISBN 978-5-91336-020-5.
22. Camus A. La mort heureuse. Paris : Gallimard, 2010. 172 p.
23. Coelho P. O demônio e a Srta. Prym. Rio de Janeiro : Sextante, 2013. 176 s.
24. Coelho P. Onze Minutos. Rio de Janeiro : Pergaminho, 2003. 240 s.
25. Cunha A. G. da Dicionário Etimológico da Língua Portuguesa. Rio de Janeiro : Nova Fronteira, 2003. 839 p.
26. Johnson M. The Body in the mind: the bodily basis of meaning, imagination and reason. Chicago; London : The University of Chicago press, 1990. 233 p.
27. Le nouveau Petit Robert. Dictionnaire alphabétique et analogique de la langue française. Paris : Le Robert, 2008. 2837 p.
28. Remarque E. M. Der Feind. Erzählungen. Köln : Kiepenheuer und Witsch, 1993. 73 s.
29. Vigan D. de No et moi. Paris : Jean-Claude Lattès, 2007. 173 p.

References

1. Alimuratov O. A. Znachenie, smysl, kontsept i intentsionalnost: sistema korrelyatsiy : dis. na soisk. uch. st. ... d-ra filolog. nauk: [The value, meaning, concept and intentionality: a system of correlations: DSc in Philology Thesis] 10.02.19 – Teoria yazyka / Stavropolsky gosudarstvennyy pedagogichesky institut. Stavropol, 2004. 544 s.

2. Alpatov V.V. Kontseptualnye osnovy formirovaniya religioznykh toponimov // Voprosy kognitivnoy lingvistiki. [Conceptual basics for the development of religious place names] №1. 2007. S. 86–95. ISSN 1812-3228.
3. Apresyan Yu.D. Izbrannye trudy. T. I. Leksicheskaya semantika. Sinonimicheskie sredstva yazyka. [Selected works. Vol. I. Lexical Semantics. Synonymous means of language.] – M. : Shkola «Yazyki russkoy kultury», Izd. firma «Vostochnaya Literatura» RAN, 1995. – 472 s.
4. Boldyrev N.N. Struktura i printsipy formirovaniya otsennochnykh kategoriy // S lyubovyu k yazyku : sb. nauch. trudov. Posvyashchaetsya E.S. Kubryakovoy. [The structure and principles of development of valuation categories // With love for language: collection of scientific works. Dedicated to E.S. Kubryakova.] – M., Voronezh : IYa RAN, Voronezhsky gosudarstvennyy universitet, 2002. 492 s.
5. Boldyrev N.N. Kognitivnaya semantika : kurs lektsiy po angliyskoy filologii. [Cognitive semantics: a course of lectures in English philology.] – Tambov : Izd-vo TGU im. G.R. Derzhavina, 2002. – 123 s.
6. Boyarskaya E.L. Kognitivnye osnovy formirovaniya novykh znacheniy polisemantichnykh sushchestvitelnykh : dis. ... na soisk. uch. st. kand. filolog. nauk: [Cognitive basics of formation of new meanings of polysemous nouns: PhD in Philology Thesis] 10.02.04. – Kaliningrad, 1999. – 217 s.
7. Vasilchenko O.V. Problema yazykovoy kontseptualizatsii subyektно-obyektnykh otnosheniy. [The problem of language conceptualization of the subject-object relationship.] M. : In-t yazykoznania RAN; Tambov : Izdatelsky dom TGU im. G.R. Derzhavina, 2012. S. 368–370.
8. Gak V.G. Besedy o frantsuzskom slove (iz sravnitel'noy leksikologii frantsuzskogo i russkogo yazykov). [Talks about the French word (from comparative lexicology of French and Russian languages).] M. : Mezhdunarodnye otnosheniya, 1986. 336 s.
9. Deyk T.A. van, Kinch V. Strategiya ponimaniya svyazannogo teksta [Associated text comprehension strategy] // Novoe v zarubezhnoy lingvistike. Vyp. 23 : Kognitivnye aspekty yazyka. – M. : Progress, 1988. S. 15 –211.
10. Kubryakova Ye.S. i dr. Kratkiy slovar kognitivnykh terminov [A short dictionary of cognitive terms] / E.S. Kubryakova, V.Z. Demyankov, Yu.G. Pankrats, L.G. Luzina. – M. : Izd-vo MGU, 1996. 245 s.
11. Kubryakova Ye.S. Yazyk i znanie: na puti polucheniya znaniy o yazyke : chasti rechi s kognitivnoy tochki zreniya. Rol yazyka v poznanii mira [Language and knowledge: towards learning about language: parts of speech from cognitive perspective. The role of language in perception of the world] / Ros. Akademiya nauk, In-t yazykoznania. M. : Yazyki slavyanskoy kultury, 2004. – 560 s. ISBN 5-94457-174-8.12.
12. Kubryakova Ye.S. Glagoly deystviya cherez ikh kognitivnye kharakteristiki [Verbs of action through their cognitive characteristics] / Logichesky analiz yazyka. Modeli deystviya. – M. : Nauka, 1992. S. 84–90.
13. Kulikov V.G. Kognitivnaya matritsa i lokalnye kontsepty v dialektnykh issledovaniyakh [Cognitive matrix and local concepts in dialect research] // Vestnik TyumGU. № 2. 2005. S. 193–201. ISSN 1994-8484.
14. Makarova I. Yu. Kognitivnye osnovy formirovaniya znacheniy otsubstantivnykh glagolov v sovremennom angliyskom yazyke : avtoref. dis. na soisk. uch. st. ... kand. filolog. nauk: [Cognitive basics of development of meanings of substantive-derived verbs in modern English: Synopsis of PhD in Philology Thesis] 10.02.04. Tambovsky gosudarstvennyy universitet im. G.R. Derzhavina. 2007. – 18 s.
15. Miloslavsky I.G. Morfologicheskie kategorii sovremennogo russkogo yazyka. [Morphological categories of modern Russian language.] M. : Prosveshchenie, 1981. 254 s.
16. Nikitin M.V. Polisemia na predele (shirokoznachnost) [Polysemy on the edge (wide meanings)] // Kontseptualnoe prostranstvo yazyka : sb. nauch. tr. / pod red. prof. Ye.S. Kubryakovoy. – Tambov : Izd-vo TGU im. G.R. Derzhavina. 2005. S. 101–111.
17. Noveyshiy nemetsko-russky, russko-nemetsky slovar. [The latest German-Russian, Russian-German dictionary.] Kiev : Ariy; Ekaterinburg : U-Faktoria, 2005. 960 s.
18. Ozhegov S.I. Slovar russkogo yazyka: ok. 57000 slov [Russian dictionary: approx. 57000 words] / pod red. chl.-korr AN SSSR N. Yu. Shvedovoy. M. : Rus. yaz., 1988. 750 s.
19. Polyuzhin M.M. Diakhronno-semantichesky aspekt prefiksalnogo slovoobrazovaniya v angliyskom yazyke : dis. ... na soisk. uch. st. d-ra filol. nauk: [Diachronic-semantic aspect of prefixal word formation in English: DSc in Philology Thesis] 10.02.04. M., Uzhgorod, 1993. – 416 s.

20. Ulmann S. Semanticheskie universalii [Semantic universals] // Novoe v lingvistike. Vyp. V. M. : Izd-vo «Progress», 1970. S. 250–299.
21. Fedorova T.L., Shcheglova O.A. Slovoobrazovatelnyy slovar russkogo yazyka. [Word-formation dictionary of the Russian language.] M. : «LadKom», 2012. 768 s. ISBN 978-5-91336-020-5.
22. Camus A. La mort heureuse. Paris : Gallimard, 2010. 172 p.
23. Coelho P. O demônio e a Srta. Prym. Rio de Janeiro : Sextante, 2013. 176 s.
24. Coelho P. Onze Minutos. Rio de Janeiro : Pergaminho, 2003. 240 s.
25. Cunha A.G. da Dicionário Etimológico da Língua Portuguesa. Rio de Janeiro : Nova Fronteira, 2003. 839 p.
26. Johnson M. The Body in the mind: the bodily basis of meaning, imagination and reason. Chicago; London : The University of Chicago press, 1990. 233 p.
27. Le nouveau Petit Robert. Dictionnaire alphabétique et analogique de la langue française. Paris : Le Robert, 2008. 2837 p.
28. Remarque E.M. Der Feind. Erzählungen. Köln : Kiepenheuer und Witsch, 1993. 73 s.
29. Vigan D. de No et moi. Paris : Jean-Claude Lattès, 2007. 173 r.

Статья сдана в редакцию 23 мая 2015 года

УДК 378.015

Н. А. Линькова-Даниелс

Технология организации учебного процесса по физическому воспитанию студентов оздоровительного отделения

UDK 378.015

N.A. Linkova-Daniels

A method for organizing physical education learning process at health departments

Аннотация

Получение образования в высших учебных заведениях можно отнести к специальному виду деятельности, связанному с высоким уровнем психических и физических нагрузок, крайне возрастающих в сессионный период, дефицитом времени, необходимостью усваивать в сжатые сроки большой объем информации, повышенными требованиями к решению проблемных ситуаций, жестоким контролем и регламентацией режима. Безусловно, это не может не сказаться на состоянии здоровья студентов, что, в конечном счете, снижает конкурентоспособность выпускников вузов на рынке труда. Одним из частых диагнозов в истории болезни учащейся молодежи является нейроциркуляторная дистония, причинами которой считаются гиподинамия, стресс и хроническое переутомление.

Поэтому одной из главных задач кафедры «Физи-

ческое воспитание» является привлечение студентов к активной физкультурной деятельности с целью формирования и развития компетенций по укреплению и сохранению здоровья. В настоящее время необходимо создание новых технологий в области оздоровительной физической культуры, цель которых направлена не только на укрепление физического здоровья студентов, но и на нормализацию психофизического состояния средствами физической культуры, а также воспитание творческого подхода к физкультурно-оздоровительной деятельности.

Привлечение студенческой молодежи к активной физкультурной деятельности невозможно без удовлетворения их интересов и потребностей в данной области, которые реализуются при соответствующей организации учебного процесса. Новые технологии должны привлекать во внимание современные методы и средства

дисциплины, что может способствовать активизации физкультурной деятельности, развитию регулярной потребности к сохранению и укреплению собственного здоровья.

Предлагаемая методика учитывает особенности современного учебного процесса, стимулирует студентов к самостоятельной учебной деятельности. Технология предлагает индивидуальный подход к профилактике заболеваний вегетативной нервной системы, разделяя студентов на практических занятиях на подгруппы «гипертоники» и «гипотоники», что предположительно должно улучшить функциональное состояние больных студентов, их физическую подготовку, а также профессионально-прикладные физические качества. Такой подход повысит функциональную готовность студентов к активной жизнедеятельности и высокопродуктивной деятельности в сложных современных условиях.

Наталья Анатольевна Линькова-Даниелс, канд. пед. наук, доцент; кафедра «Физическое воспитание» Уральского государственного университета путей сообщения; Екатеринбург, Россия; помощник врача медицинского объединения «Tempsmart Agency». Брисбен, Австралия. E-mail: linkovadaniels@gmail.com.

Natalia Linkova-Daniels, Ph. D., Associate Professor of the Department of Physical Education of the Ural state University of Railway Transport; Ekaterinburg, Russia; Registered Nurse medical association «Tempsmart Agency», Brisbane, Australia. E-mail: linkovadaniels@gmail.com.

Выводы по педагогическому эксперименту

Студенты, поступающие в университет, имеют достаточно низкий уровень функционального состояния и физической подготовленности. За последние годы значительно увеличилось число студентов с заболеваниями вегетативной нервной системы.

Специальные физические упражнения для студентов с сосудистыми заболеваниями головного мозга позволяют индивидуализировать процесс физического воспитания. Предложенные индивидуальные программы, обеспечивают профилактику психофизического состояния студентов, повышают умственную и физическую работоспособность.

Компетенции студентов в области управления своим психоэмоциональным состоянием здоровья значительно повышают их работоспособность, что влияет на физическую подготовку и активную учебную деятельность.

Предлагаемая технология элективного курса создает основу для творческого и методически обоснованного использования физкультурно-оздоровительной деятельности студентов, эффективно интегрирует в общий учебный процесс, повышает готовность студентов к активной жизнедеятельности и высокопродуктивному современному учебному труду.

Ключевые слова: технология; психофизическое состояние; здоровье; студенты; физическая культура; функциональное состояние; физическая подготовка.

SUMMARY

Learning process in universities can be referred to as a special kind of activity

associated with a high level of mental and physical stress, drastically increasing during exams, as well as lack of time, the need to absorb large amount of information in a short period, increased requirements to solving arising issues, tight control and discipline. Of course it affects the health of students, which ultimately reduces the competitiveness of university graduates in the labor market. One of the most common diagnoses in medical history of students is cardiopsychoneurosis, the causes of which are considered to be lack of exercise, stress and chronic fatigue.

Therefore, one of the main objectives of physical education department is to engage students in active sports activity with a view to create and develop competencies needed for health promotion. Today new methods in health-improving physical education need to be created, to be focused not only on strengthening the physical health of students, but also on bringing psycho-physical condition back to normal through physical training, as well as on development of creative approach to sports and recreational activities.

Engaging students in active sports activity is impossible without addressing their interests and needs in this area, which are met through organization of an appropriate educational process. New approaches must take into account modern methods and means of discipline that can promote sports activities, development of a regular need to preserve and strengthen own health.

The proposed method takes into account the specifics of modern educational process, and encourages students to engage into independent learning activities. The method offers a personalized

approach to prevention of autonomic nervous system diseases, dividing students during practical training into «hypertensive» and «hypotensive» subgroups, which is supposed to improve the functional state of weak students, their physical fitness, and applied professional physical qualities. Such an approach will enhance the functional readiness of students for active life and highly efficient work in complex modern context.

Conclusions following pedagogical experiment

Students entering the university have relatively poor level of functional status and physical fitness. The number of students with diseases of autonomic nervous system has increased significantly in the recent years.

Special exercises for students with vascular brain diseases allow to customize physical education process. The proposed individual programs ensure checking of psychophysical condition of students, improve mental and physical performance.

Students' competences related to the control of psychoemotional state of their health significantly improve their performance, which affects physical training and intense learning activities.

The proposed elective course method forms the basis for creative and methodically sound application of sports and recreational activities of students, seamlessly integrating into the overall learning process, and increases the readiness of students for active life and highly efficient learning work.

Keywords: technology; psychophysical condition; health; students; physical culture; functional state; physical fitness.

Education in higher educational institutions can be attributed to a special type of activity that is associated with a high level of mental and physical exertion, greatly increasing the busy period, lack of time, the need to assimilate in a short time a large amount of information, increased requirements for problem solving, poor control and regulation of regime. Of course, this should not affect the state of health of students, which, ultimately, reduces the competitiveness of graduates in the labour market. One of the most frequent diagnoses (about 30 %) in the medical history of students is neurocirculatory dystonia [1]. In particular nosological group today dedicated «syndrome of the manager» – a complex variety of symptoms, causes are lack of exercise, stress and chronic fatigue [2].

Therefore, one of the main tasks of the Department of Physical Education is to engage students in active physical activity with the purpose of formation and development of competencies for strengthening and maintaining the health. Currently, there is a need for creation of new technologies in the field of health physical education, the aim of which should be not only improving the physical health of students, but also to normalise the psychophysical state of the means of physical culture. Attracting students to active athletic activity is impossible without addressing their interests and needs in this area, which is implemented by the corresponding organisation of the educational process. New technologies must take into account modern methods and means of discipline that can contribute to the enhancement of athletic activity, the development of regular needs to maintain and strengthen their health.

According to the results of the medical examination, at the Ural State University of Railway Transport (USURT) over the last 5 years (2008–2009 throughout 2013–2014 school year), the number of sick students increased from 30 to 42 % of the total number of students receiving tuition. Statistical analysis of the incidence in students demonstrates growth in the

number of students with variation in the autonomic nervous system (7.9 to 19.3 % of the total number of students health Department). In the 2013–2014 school year were trained over 200 students in this category, i.e. about 20 % of all patients and temporarily freed from the practical lessons. Disorders of the autonomic nervous system, naturally, should not affect the functional, psycho-physical condition of the students and their professionally-applied physical qualities. If no action is taken for the prevention of autonomic dysfunction in the 2017–2018 school years, the number of students with the disorder will increase twofold.

In this regard, it becomes pertinent to the effective formulation of physical education and self-improvement of students, which is dictated by the need to ensure physical reliability and readiness for active life and productive work in today's complex environment. However, it should be noted that student physical education Wellness Department has its own characteristics that are associated with the nature of the disease and the diversity of forms. This raises certain methodological difficulties in conducting practical classes.

The aim of the research was to investigate the influence of modern technology on the physical education of students aimed at improving functional status and physical training of students within the conditions of the Ural state University of railway engineering.

Objectives: to study the psychophysical and functional state of students before and after the experiment; to analyze the physical preparation of students before and after the experiment; to provide a theoretical and practical importance of technology.

To determine mental and physical health of the students a test to determine the stress of the coronary profile was used. The test was developed by the Institute Director Harold Brown of San Francisco together with Professor Friedman and Dr. Rosenman. A study of predictors of stroke was analyzed using a «quick

test», developed by a medical psychologist O. Konina. Depression status of students was studied by using two tests: «Identification of classic depression», developed by the American psychologist, the experimenter Stanley Hall of the American Psychological Association, «a test for depression, the bulk of research and medical diagnostics», developed at the Institute of Psychoneurology. The functional state of the cardiovascular system was determined using the index «Rufe». The level of physical preparedness was analyzed by assessing physical fitness by B. H. Landa (2004). The analysis of the external signs of fatigue was carried out according to the method of B. N. Pravosudov, J. A., Teclenko, to assess the external data of the functional state of students with physical exercise, namely, the color of the skin, sweating, respiration. The presence or absence of headache was assessed subjectively by each student.

Sixty first year students of the faculty of Economics and Management were included in the experiment. Health Department justifies at the age of 17–18 years. The conditions of the experiment: the students were divided into four groups of 15 people each, two experimental and two control groups. Experimental groups used special exercises [3, 4], respectively specificity diseases of the autonomic nervous system, the control group was done according to the standard program of the health Department.

In total the survey included 160 students from first to fourth course justification (each course for 40 people), young men and women aged 17 to 21 years. An additional questionnaire included 120 students from first to fourth courses justifies (each course for 30 people), young men and women aged 17 to 21 years.

Practical exercises with the experimental groups were carried out using a methodology developed by Professor of the Department of Physical Education the Ural state University of Railway Transport justifies N. A. Linkova [5, 6]. The proposed method takes into account the peculiarities of modern educational process and

encourages students to participate in independent learning activities. Technology offers an individual approach to the prevention of diseases of the autonomic nervous system, dividing students in practical classes into subgroups: «hypertension» and «hypotension» that supposedly should improve the functional status of students, their physical training, as well as professionally-applied physical quality. In General, this approach will increase the functional readiness of students for active life and productive activities in complex modern conditions.

Tested modular organization of the educational process: lectures; conducted methodological and practical classes; presented a discussion on the issue of risk of diseases of the autonomic nervous system and their prevention by means of physical culture; conducted role-play in groups, to study the effects of exercise on the functional state of the organism; practical training on the technique of phase Wellness program physical exercises aimed at prevention of autonomic dysfunction; reviewed and used for practical training methods of control and self-monitoring health status.

Testing of the functional status and physical fitness of freshmen showed in all groups, both the control and experimental fairly low on all indicators. Index «Rufe» in the experimental and control groups (11.2 and 10.83), which corresponds to only satisfactory performance in low range. This fact is alarming and confirms the need to develop new approaches in methodology of physical education to strengthen the adaptive capacities of students with poor health.

As a result of the survey on stress coronary profile found that 26.1% of students surveyed prone to coronary heart disease and blood vessels of the brain. The survey showed a fairly high risk of mental and physical disorders (36.9 %), which are related to difficulties of high intensification and informatisation of the educational process, and adaptation to new professional and domestic conditions. Thus, more than 1/3 of the number of surveyed

students needs interventions to reduce psychological stress, and about 42.5 % the need to change lifestyles.

Due to the high risk of students' mental and physical disorders, the need arose for the study of the problem of depression state of students, for this purpose an additional survey were conducted. Students from first to fourth courses were interviewed. Tests for the Detection of «classical depression» and depression for bulk studies and to medical diagnosis have shown that students of different age groups have different psycho-emotional states. Undergraduates are more prone to depression than younger students. This suggests that it is necessary to differentiate physical activity, the system of psycho-emotional discharge, prevention of depression.

The results of the medical examination at the end of the school year revealed positive dynamics of the functional state of students of the experimental groups, the index «Rufe» was 8.3 and 8.6. In the control groups there is no significant improvement, the figure has remained satisfactory, but within the high boundaries (10.1 and 10.5). Thus, the functional state of students of experimental groups indicates higher efficiency, readiness, both mental and physical activity. Visual observation of the students during the practical exercises showed a small degree of fatigue during exercise, this was evidenced by: the normal color of the skin or slight redness, slight sweating, increased respiration, no violation of coordination of movements and normal cheerful gait that characterizes the body's positive response to physical activity.

It is important to note that the growth rate of General endurance in the experimental groups is higher (16 and 14 %) than in the control (1 and 6 %). The trend also indicates the improvement of the functional state of the cardiovascular system that characterizes the improvement of health and health level of students.

In the experimental groups a significantly improved measure of muscle strength (22 and 36 %), while in the

control was 20 and 20 %. The growth rate is possible with a regularity that would have been impossible with frequent headaches, because the exercise took into account three basic rules, one of which was not to exercise aimed at developing strength, even when not significant headache that would eliminate spasm of cerebral vessels in a natural way. Thus, the growth of this index indicates an improvement in the health of students.

The results of the survey of students of the experimental groups at the end of the school year showed a decrease of the initial signs of depression, episodes of headache, stress management. In class the students were asked questions about their disease, the possible risk factors of the disease, method of nutrition, were interested in the relationship between physical activity and functional status of the organism, offered the kinds of physical exercises, proving their effectiveness and comfortable sensations.

During the experiment formed a scientific student group, which is deeply involved in the problems of health physical culture. With this period, the students take an active part in competitions of scientific research, scientific conferences of young scientists and students both within the University and internationally. Thus, there is the interest of the students in the educational-cognitive activity, methods to improve their own health, which in turn, can not affect the formation of professionally-applied qualities of future specialists.

Conclusion

1. Students entering the University have quite low functional status and physical fitness. In recent years there have been a significantly increasing number of students with diseases of the autonomic nervous system.

2. Special exercises for students with vascular diseases of the brain allow us to individualize the process of physical education, dividing them into groups («hypertension», «hypotension»). Proposed individual program, ensure the prevention of psycho-physical condition of the

students, increase mental and physical performance.

3. The proposed technology elective course provides the basis for creative and methodologically informed use of

health-improving activities of students effectively integrates into the overall learning process, increases the willingness of students to an active life and highly productive modern educational work. ■

References

1. Sokolov A. C., Rakita D. R., Sokolov S. A., Svintsova C. E. Neurocirculatory dystonia: a modern approach to diagnosis and treatment at the rehabilitation stage // Bulletin of rehabilitation medicine. 2009. № 2. Pp. 30–33.
2. Kotov O. C. The Manager Syndrome: from diagnosis to treatment // New pharmacy. 2010. № 9. Pp. 20–21.
3. Linkova N. A. Technique of improving physical exercises for students with cerebrovascular diseases: dissertation ... PhD thesis. ped. sciences: 13.00.04 – Theory and Methodology of Physical Education, Sport Training and Physical Culture / Tyumen. state univ. 2000. 160 p.
4. Linkova N. A. Technique of improving physical exercises for students with cerebrovascular diseases (selected chapters of the monograph) M // Proceedings of the 10th School Anaesthetist Tyumen region. Tyumen : «The printer». 2012. Pp. 53–85.
5. Linkova N. A. Methodology Wellness physical exercise in the prevention of vascular diseases of the brain : methodical recommendations for students of special medical groups of all specialties of full-time tuition. Ekaterinburg : USURT, 2012. 18 p.
6. Linkova N. A. Methodological recommendations for organizing and conducting practical classes with students suffering autonomic nervous system dysfunction: educational-methodical recommendations on physical education for full-time students. Ekaterinburg : USURT, 2013. 19 p.

Статья сдана в редакцию 10 апреля 2015 года

Публикуется в авторской редакции.

Аспирантская тетрадь

УДК 338.27

Аль-Саиди Сабах Хасан Джасим, Форгани Маджид Али

Регрессионная модель потребления природного газа в зависимости от населения и температуры в регионе Миссана (Аль-Амара)

UDC 338.27

Sabah Alsaidi, Majid Forghani

Natural Gas Consumption Regression Model for The Relationship With Population and Temperature in Missan Region (Al Amara)

Аннотация

Природный газ играет очень важную роль в энергетической сфере. Большинство стран создают и развивают газотранспортную систему на основе прогнозируемого потребления спроса. В этой статье мы представили множественную линейную регрессионную модель, которая показывает отношение населения и температуры с потреблением газа в регионе Миссан в городе Аль Амаре (Ирак). Мы использовали программное обеспечение Matlab для моделирования данных. Население и температура среды имеют значительное влияние на количество потребляемого газа. Результаты моделирования могут быть использованы для расчета будущего спроса на природный газ в этой области.

Abstract

The natural gas plays very important role in energy field. Most of countries create and develop the gas transmission system based on forecasted consuming demand. In this paper, we presented a multiple linear regression model that shows the relationship of population and temperature on the gas consumption in the Missan region in Al Amara city (Iraq). We used Matlab software for simulation of data. According to result, the population and temperature have significant relation with gas consumption. The result of simulation can be used for future consuming demand of natural gas in this region.

Keywords: natural gas (NG); missan; multiple linear regression; Matlab; temperature; population.

Аль-Саиди Сабах Хасан Джасим, магистрант; кафедра алгебры и дискретной математики Института математики и компьютерных наук Уральского федерального университета. E-mail: sabah.h.alsaedi@gmail.com.

Форгани Маджид Али, аспирант; кафедра информатики и процессов управления Института математики и компьютерных наук Уральского федерального университета. E-mail: majid.forghani@urfu.ru.

Al-Saidi Sabah Hassan Jasim, Graduate Student; Algebra and Discrete Mathematics Department, Institute of Mathematics and Computer Science of the Ural Federal University. E-mail: sabah.h.alsaedi@gmail.com.

Forghani Majid Ali, Postgraduate Student; Department of Computer Science and Control Processes, Institute of Mathematics and Computer Science of the Ural Federal University. E-mail: majid.forghani@urfu.ru.

1. Introduction

Natural gas (NG) is one of important resource of energy and is believed by many to be the most important energy source for the future. Arab League is one of main exporter of natural gas in the world. Iraq is member of Arab League and for example it exported about 880,000,000 m³ in 2011. One of factors for NG export is consuming demand. The subject of energy consumption especially natural gas and its relation to the different economic measure is one the subjects has been discussed by the authorities in the field of energy management [1]. Natural gas demand typically peaks during the coldest months and tapers off during the warmest months, with a slight increase during the summer to meet the demands of electric generators. The weather during any particular season can affect the cyclical demand for natural gas. Then, one of the main determinants of residential natural gas consumption is temperature and therefore, in order to obtain reliable forecasts, one should embed temperature forecasting into the forecasting procedure. Natural gas is used in industrial, transportation, electric generation. The changing demographics population also affects the demand for natural gas. Even if areas have generally warmer climates, there will be an increase in demand for cooling, and less of a demand for heating, need more electric generation and gas consumption, in some countries such as U.S. Local and international gas markets are historically based on long-term contracts. One of the risk factor of natural gas distribution is the demand uncertainty. Therefore, accurate forecasting of the demand for natural gas is critical for an efficient management of energy resources [2, 3]. In order to achieve lower emissions of global warming pollution it is important to efficiently use natural gas. Therefore, an accurate prediction of gas consumption is needed due to the fact that distributors are required (by their suppliers) to nominate the amount of natural gas they will need. The models created for different

countries and regions vary according to the methodology used, selection of input variables, time horizons, and the accuracy of prediction [4]. Interested reader can read a summary of the literature that focuses on forecasting natural gas consumption during the past century by Soldo [5]. The tasks of evaluating and forecasting of product deliveries, stability and reliability of deliveries and methods of forming estimates of predicted values were discussed in detail in [6, 7].

The main objective of this paper is find relationship between the population and temperature on the natural gas consumption in Missan region. We mention that data was collected by the «public company of gas mobilization» (Al Amara office). A multiple linear regression analysis is carried out to predict the values of dependent variable, natural gas consumption, given a set of explanatory variables, population and temperature.

In the next section, we give the theoretical background for the multiple linear regression after that we apply method to data by Matlab software. Finally the conclusion is given in last section.

2. Theory

In modern science, regression analysis is a necessary part of virtually almost any data reduction process. In a regression analysis we study the relationship, called the regression function, between one variable Y , called the dependent variable, and several others X_i , called the independent variables. Regression function also involves a set of unknown parameters β_i . If a regression is linear in the parameters we term it a linear regression model otherwise the model is called non-linear. Linear regression with one independent is called simple linear model and with more than one independent variable is referred to as multiple linear model. Another method for find the linearity between two variables is correlation. The correlation measures the strength of association between two variables [8]. Pearson product-moment correlation coefficient is a measure of the linear correlation

(dependence) between two variables X and Y , giving a value between $+1$ and -1 inclusive, where 1 is total positive correlation, 0 is no correlation, and -1 is total negative correlation. Therefore, we can check relation between independent and dependent variable with correlation coefficient. A scatter plot can suggest various kinds of correlations between variables and we can use it to check the existence of linear relation between them. For this study, we used the multiple linear regression model.

Multiple linear regression model is as:

$$Y = \beta_0 + \beta_1 X_1 + \dots + \beta_p X_p + \varepsilon,$$

where Y – dependent variable (predicted by regression model);

β_0 – intercept (or constant);

X_i – independent variable, $i = 1, \dots, p$;

β_i – coefficient corresponding to X_i , $i = 1, \dots, p$;

ε – random error term.

Sometimes, we refer to X_i 's as the predictor or regressor variable and as the response variable. An important objective of regression analysis is to estimate the unknown parameters in the regression model. This process is also called fitting the model to the data. We have several parameter estimation techniques and one of them is the method of least square fit [9].

Our primary goal is to determine the best set of parameter such that the model predicts the value of the independent variables as accurately as possible. We should check whether our model is adequate to fit the observed data and all terms in our model are significant or not.

3. Simulation

We applied Matlab software for estimation of parameters and check the validity of our model. The data was collected by «public company of gas mobilization» (Al Amara office) for 4 years (2010–2013). We consider natural gas consumption as dependent variable Y , mean temperature value and population as independent variables, X_1 & X_2 .

Population was collected for each year, and we assume it for 12 months of year. Temperature is mean of minimum and maximum value of temperature per month.

NG is transported by cylinder in Mis-san region and we mention the quantity of NG cylinders as dependent variable in this paper.

Assume that:

Y = Natural gas consumption per month (quantity of NG cylinder);

X_1 = Population;

X_2 = Mean of temperature per month (centigrade);

X = Independent variables vector;

β_0 = Intercept;

The regression model is:

$$Y \sim 389560 + 1,2455X_1 - 831,31X_2$$

The figure 1 presents the top model.

Testing of Parameter's Significance

A T-test will tell you if a single variable is statistically significant and an F-test will tell you if a group of variables are jointly significant. In many cases we want to know whether two or more variables are jointly significant in a regression model. When we have more complicated hypotheses, T-test no longer works. Hypotheses involving multiple regression coefficients require a different test statistic and a different null distribution. We call the test statistics F_0 and its null distribution the F-distribution, after R. A. Fisher (we call the whole test an F -test, similar to the t-test). An F statistic is a value you get when you run an ANOVA test or a regression analysis to find out if the means between two populations are significantly different [10, 11].

We refer to table 1 and use F -statistic to find if the regression is significant or not. If regression is not significant, then Y (natural gas consumption) is not dependent to the X_i $i = 1, \dots, p$ (population and mean temperature value).

Consider the hypotheses as:

$$H_0: \beta_1 = \beta_2 = \dots = \beta_p = 0,$$

$$\text{Model: } Y = \beta_0 + \varepsilon.$$

$$H_1: \text{at least one of the } \beta_i \neq 0.$$

$$\text{Model: } Y = \beta_0 + \beta_1 X_1 + \beta_2 X_2 + \dots + \beta_p X_p + \varepsilon.$$

$$\text{Test statistic } F = \frac{\text{MS}(\text{regression})}{\text{MS}(\text{residual})}.$$

If $F > F_{p, n-p, \alpha}$, then H_0 is rejected and we conclude that Y (natural gas consumption) depends on X (population and mean temperature value). Otherwise, H_1 is rejected and H_0 is accepted, this means that natural gas consumption does not depend on the X . The result shows that F value is 60,031 with 2 and 45 degrees, P value is $1,9964e - 13$ that shows the X are jointly significant.

We want to check whether one of X_i 's and Y have linear relation. For example in obtained regression model if X_1 increases by one unit while all other independent variables, here X_2 , remain constant, Y will increase by 1,2455. We apply T -test to check the relation between independent variable X_i and Y as below.

Hypothesis test about β_i :

$H_0: \beta_i = 0$. There is no linear relation between X_i and Y given the rest of X_i variables.

$H_1: \beta_i \neq 0$. There is a linear relation between X_i and Y given the rest of X_i variables.

$$\text{Test statistic } T = \frac{\hat{\beta}_i}{\text{std.Error}(\hat{\beta}_i)}.$$

We reject the H_0 if $T > t_{n-k, \alpha/2}$ or $T < -t_{n-k, \alpha/2}$. Otherwise we accept the null hypothesis..

Consider X_1 as population and X_2 as mean of temperature, according to table 2 we have $T_1 = 9,759$. P value = $1,1103e - 12$ and have $T_2 = -4,2677$, P value = $0,00010039$ for X_1 , X_2 respectively.

Then null hypothesis is rejected for both of them and the independent variables X_j 's individually have linear relation with natural gas consumption.

4. Conclusion

As mentioned, NG consuming demand is strongly dependent to geographical region and environment parameters such as temperature, population and etc. One of important problem for NG companies is prediction of NG consuming demand. In this paper, we found a NG regression linear model with independent parameters, population and mean temperature. Actually, the novelty of constructed model is an algorithm for calculating the delay taken into account into account the effect of parameters on the predicted value. This algorithm is based on finding the highest correlation between proper subset of linear ordered sets of raw data and the actual values of predicted variable. This regression was obtained with collected data for 4 recent years by «public company of gas mobilization» (Al Amara office). The result shows significant relationship between the independent variables and NG demand in our model, originally and individually. This model can be used for prediction in NG demand in Missan. In future work, we will consider more parameters such as rain, wind, family income for more accurate model. ■

Table 1

ANOVA

	SumSq	DF	MeanSq	F	pValue
Total	2,6042e + 10	47	5,5409e + 08	—	—
Model	1,8942e + 10	2	9,4712e + 09	60,031	1,9964e-13
Residual	7,0997e + 09	45	1,5777e + 08	—	—

Table 2

Coefficients

	Estimate	SE	tStat	pValue
(Intercept)	−389560	63114	−6,1722	1,7322e − 07
X_1	1,2455	0,12762	9,759	1,1103e − 12
X_2	−831,31	194,79	−4,2677	0,00010039

Table 3

Variables and Model

Natural gas consumption	Y
Population	X_1
Mean temperature	X_2
Linear regression model	$Y \sim 1 + X_1 + X_2$

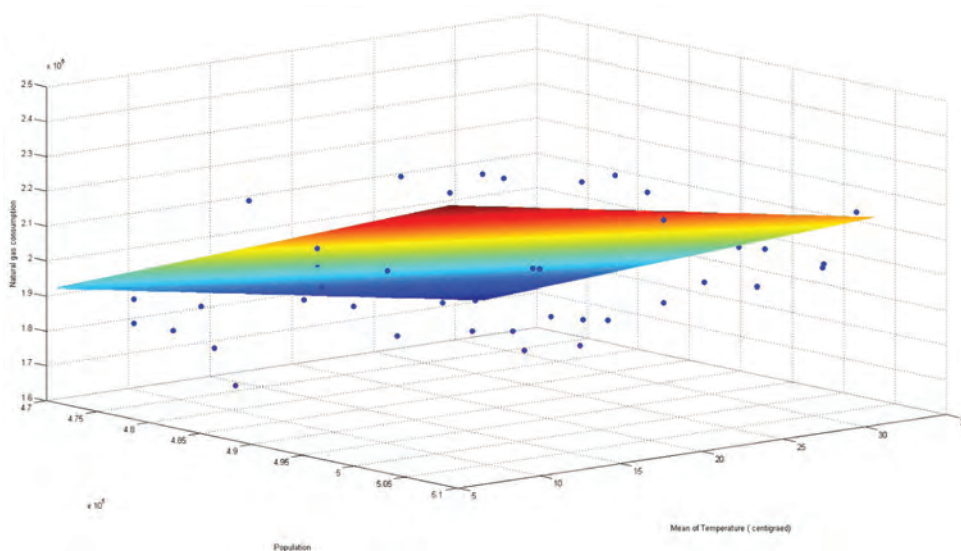


Figure 1

References

1. Karimi T., Niknam A.R., Moghadam M.S., Natural Gas Consumption and Temperature: Balanced and Unbalanced Panel Data Regression Model // *Advances in Environment, Biotechnology and Biomedicine*. 2012. Pp. 81–86.
2. Natural Gas Demand. URL: <http://naturalgas.org/business/demand/> (data accessed: 25.04.2015).
3. Goncu A., Karahan M.O., Kuzubas T.U. Forecasting Daily Residential Natural Gas Consumption: A Dynamic Temperature Modelling Approach // *Bogazici University, Department of Economics*. 2013. № 2013/11.
4. Sabo K., Scitovski R., Vazler I., Zekic-Susac M. Mathematical models of natural gas consumption//*Energy conversion and management* 52/3, (2011). Pp. 1721–1727. ISSN 0196-8904.
5. Soldo B., Forecasting natural gas consumption // *Applied Energy*. 2012. № 92. Pp. 26–37. ISSN 0306-2619.

6. Сай В.М., Сизый С.В. Организационные структуры как мультиоператорные сети. Задачи прочности и устойчивости // Транспорт Урала. 2009. № 2 (21). С. 5–9. ISSN 1815-9400.
7. Сизый С.В. Оценки экономической привлекательности предприятий с использованием линейных форм / С.В. Сизый, В.К. Фомин // Вестник УрГУПС. 2009. № 3–4. С. 33–41. ISSN 2079-0392.
8. Orlov M.L. Multiple linear regression analysis using Microsoft Excel. Chemistry Department, Oregon State University (1996).
9. Montgomery D.C., E.A. Peck and G.G. Vining. Introduction to linear regression analysis. Vol. 821. 2012. John Wiley & Sons. ISBN 978-0-470-54281-1.
10. F Statistic: Definition and How to find it. URL: <http://www.statisticshowto.com/f-statistic/> (data accessed: 25.04.2015).
11. Blackwell M., Multiple Hypothesis Testing: The F-test. URL: <http://www.matthblackwell.org/files/teaching/ftests.pdf> (data accessed: 20.04.2015).

References

1. Karimi T., Niknam A.R., Moghadam M.S., Natural Gas Consumption and Temperature: Balanced and Unbalanced Panel Data Regression Model//Advances in Environment, Biotechnology and Biomedicine. 2012. Rr. 81–86.
2. Natural Gas Demand. URL: <http://naturalgas.org/business/demand/> (data accessed: 25.04.2015).
3. Goncu A., Karahan M.O., Kuzubas T.U. Forecasting Daily Residential Natural Gas Consumption: A Dynamic Temperature Modelling Approach // Bogazici University, Department of Economics. 2013. № 2013/11.
4. Sabo K., Scitovski R., Vazler I., Zekic-Susac M. Mathematical models of natural gas consumption // Energy conversion and management 52/3, (2011). Rp. 1721–1727. ISSN 0196-8904.
5. Soldo B. Forecasting natural gas consumption//Applied Energy. 2012. № 92. Rp. 26–37. ISSN 0306-2619.
6. Say V.M., Sizy S.V. Organizatsionnye struktury kak multioperatornye seti. Zadachi prochnosti i ustoychivosti [Organizational structures as multioperator networks. Strength and stability problems] // Transport of the Urals. 2009. № 2 (21). S. 5–9. ISSN 1815-9400.
7. Sizy S.V. Otsenki ekonomicheskoy privlekatelnosti predpriyatiy s ispolzovaniem lineynykh form. [Assessment of economic attractiveness of companies using linear forms.] / S.V. Siziy, V.K. Fomin // USURT Herald. 2009. № 3–4. S. 33–41. ISSN 2079-0392.
8. Orlov M.L. Multiple linear regression analysis using Microsoft Excel. Chemistry Department, Oregon State University (1996).
9. Montgomery D.C., E.A. Peck and G.G. Vining. Introduction to linear regression analysis. Vol. 821. 2012. John Wiley & Sons. ISBN 978-0-470-54281-1.
10. F Statistic: Definition and How to find it. URL: <http://www.statisticshowto.com/f-statistic/> (data accessed: 25.04.2015).
11. Blackwell M., Multiple Hypothesis Testing: The F-test. URL: <http://www.matthblackwell.org/files/teaching/ftests.pdf> (data accessed: 20.04.2015).

Статья сдана в редакцию 13 апреля 2015 года

Публикуется в авторской редакции

И. Д. Громов, Т. К. Чернушевич

Оценка рисков в деятельности сетевых организационных структур

I. D. Gromov, T. K. Chernushevich

Risk assessment in activities of network organizational structures

Аннотация

Проблема оценки риска в сетевых организационных структурах на сегодняшний день весьма актуальна. В рыночных условиях любая сетевая структура неизбежно сталкивается с неординарными ситуациями, с незапланированными или непредвиденными событиями, на которые необходимо адекватно реагировать, чтобы не понести убытки. Зачастую в конкурентной среде для достижения успехов приходится рисковать, что существенно повышает требования к качеству выработки и обоснования принятого управленческого решения.

В статье предложена формализация определения оценки рисков хозяйствующих субъектов, входящих в холдинговую компанию, по нескольким основным показателям их производственно-хозяйственной деятельности. Выполнен анализ статистических данных холдинговой компании с 2009 по 2014 гг. Построены зависимости показателей рисков по двум показателям: отношение собственных оборотных средств к общему количеству оборотных средств; отношение труднореализуемых активов к постоянным пассивам.

Предложена интегральная оценка риска в сети с использованием аддитивной сверстки показателей.

Ключевые слова: риски; риски в сетевых структурах; оценка рисков; интегральный показатель рисков.

Summary

The problem of risk assessment in network organizational structures to date is very relevant. In market context, any network structure is inevitably faced with extraordinary situations, unplanned or unexpected events that need to be addressed adequately to avoid losses. Often, in a competitive environment one need to take risks to succeed, hence it significantly increases the demands on the quality of management decision-making and justification of management decisions.

The paper proposes a formalization of the definition of risk assessment of economic entities within the group of companies for several key performance indicators. Statistics of the management company from 2009 to 2014 have been analyzed. Risk factors dependences have been created for two indicators: ratio of working capital to total assets; ratio of illiquid assets to continuing liabilities.

A cumulative risk assessment in the network is proposed that employs additive compiling of indicators.

Keywords: risk; risks in network structures; risk assessment; integrated risk parameter.

Игорь Дмитриевич Громов, аспирант; кафедра «Путь и железнодорожное строительство» Уральского государственного университета путей сообщения; Екатеринбург, Россия. E-mail: idgromov@gmail.com.

Таисия Константиновна Чернушевич, инженер; кафедра «Путь и железнодорожное строительство» Уральского государственного университета путей сообщения; Екатеринбург, Россия. E-mail: tk_ch@mail.ru.

Igor Dmitriyevich Gromov, graduate student; Railway Construction and Railway Track Department, Ural State University of Railway Transport; Ekaterinburg, Russia. E-mail: idgromov@gmail.com.

Taisia Konstantinovna Chernushevich, Postgraduate Student; Railway Construction and Railway Track Department, Ural State University of Railway Transport; Ekaterinburg, Russia. E-mail: tk_ch@mail.ru.

В процессе осуществления деятельности железнодорожного предприятия и вообще любого предприятия возникают различные виды риска. Риск — это вероятность угрозы и потери хозяйствующим субъектом части своих ресурсов, недополучения доходов или появления дополнительных расходов в результате возникновения событий, влияющих на отклонение параметров функционирующей системы хозяйствования [1].

Наличие риска сводится прежде всего к получению убытка или недостаточной суммы дохода, чтобы окупить вложенные средства. При этом предприятия с высокой капиталоемкостью продукции (железнодорожное строительство) подвержены наибольшему влиянию риска из-за очевидного высокого фактора неопределённости [1].

Учет рисков связан с трудностями из-за особенностей строительства — стационарность, неподвижность строительной продукции — как в период ее создания, так и в течение всего времени эксплуатации.

Размещение строительной продукции на определенном земельном участке обременяет строительную продукцию детерминированными зависимостями такими, как стоимость земельного участка, конъюнктура цен на рынке земли, природные и климатические условия, которые оказывают существенное влияние на строительный процесс.

Кроме того, к особенностям строительства относятся длительные производственный цикл и подготовительная стадия, высокая капиталоемкость строительной продукции; все это порождает высокую степень неопределенности. Неопределённость — это неполнота и неточность информации об условиях осуществления деятельности [1].

Неопределенность порождается различными причинами: экономической нестабильностью, спросом на рынке, меняющимся объемом договоров, рыночной конъюнктурой, политикой государства, надежностью поставок, выходом из строя механизированного оборудования,

курсом валюты, уровнем инфляции, налоговой политикой, биржевой ситуацией, экологической обстановкой, стихийными бедствиями и т.д. [1].

Деятельность предприятий сама по себе обладает высокой степенью неопределённости в смысле результата. При использовании классических методов определения риска необходимо произвести вероятностную оценку возникновения альтернативных событий, что сделать невозможно, так как информация о базовом событии сама по себе неопределённая. В этом случае распределение вероятности считается по нормальному закону распределения и вероятности для альтернативных сценариев назначают экспертно. А это не совсем некорректно — не имея статистической базы, ретроспективного опыта, фактически придётся полагаться на интуицию группы экспертов [1].

В связи с этим процесс оценки рисков должен быть сведен к оценке конкретных фактических достигнутых показателей деятельности [2].

Расчет будем вести на примере строительного холдинга *Z*. Организационная структура холдинга приведена на рис. 1.

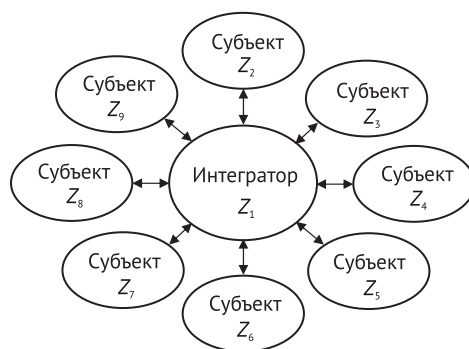


Рис. 1. Структура железнодорожного холдинга *Z*

Холдинг *Z* производит продукцию для содержания транспортной инфраструктуры и организации перевозочного процесса на железной дороге. Функции интегратора сети выполняет субъект Z_1 [3, 4].

Итак, задача: оценить риск результата финансово-хозяйственной деятельности организации на основе двух показателей.

Отношение собственных оборотных средств к общему количеству оборотных средств – показатель 1 (Π_1). Отношение труднореализуемых активов (A_4) к постоянным пассивам (Π_4) – показатель 2 (Π_2). Числовые значения показателя Π_1 для каждой из существующих зон

риска представлены в таблице 1. Числовые значения показателя Π_2 для каждой из существующих зон риска представлены в таблице 2. Расчетные значения показателя Π_1 для предприятий холдинга и интегратора – в таблице 3, а расчетные значения показателя Π_2 – в таблице 4 (для интегратора и предприятий холдинга). Для сети в целом расчетные значения Π_1 располагаются в таблице 5, значения Π_2 – в таблице 6.

Таблица 1

Числовые значения показателя Π_1 для существующих зон риска

Безрисковая зона	Зона допустимого риска	Зона критического риска	Зона катастрофического риска
1–0,95	0,95–0,7	0,7–0,3	0,3–0

Таблица 2

Числовые значения показателя Π_2 для существующих зон риска

Безрисковая зона	Зона допустимого риска	Зона критического риска	Зона катастрофического риска
0–1	1–2,5	2,5–4	4–10

Таблица 3

Расчетные значения показателя Π_1

Предприятие	2009 г.	2010 г.	2011 г.	2012 г.	2013 г.	2014 г.
Z1	0,57	0,93	0,64	0,73	0,87	1,00
Z2	0,11	0,65	0,62	0,70	0,96	0,90
Z3	0,17	0,54	0,58	0,61	0,98	0,51
Z4	0,52	0,93	0,57	0,63	0,26	0,41
Z5	0,41	1,00	0,47	0,13	0,63	0,78
Z6	0,70	0,80	0,40	0,55	0,95	0,58
Z7	0,57	0,97	0,67	0,73	1,00	0,90
Z8	0,30	0,95	0,48	0,11	0,65	0,30
Z9	0,56	0,74	0,33	0,67	1,00	0,96

Таблица 4

Расчетные значения показателя Π_2

Предприятие	2009 г.	2010 г.	2011 г.	2012 г.	2013 г.	2014 г.
Z1	0,85	0,41	1,20	1,70	0,40	0,83
Z2	0,53	0,47	1,54	2,79	0,98	0,95
Z3	0,94	1,56	4,05	2,78	0,96	1,60
Z4	0,58	0,74	0,87	1,76	0,47	0,87
Z5	1,80	0,47	1,35	3,06	0,98	0,54
Z6	2,78	0,38	3,98	2,65	1,60	3,60
Z7	0,31	0,47	0,87	0,37	1,95	0,95
Z8	0,45	1,58	0,98	0,98	0,84	2,63
Z9	1,78	0,48	0,45	1,32	0,90	0,71

Таблица 5

Расчетные значения показателя Π_1 для холдинга Z

Холдинг	2009 г.	2010 г.	2011 г.	2012 г.	2013 г.	2014 г.
Z	0,30	0,80	0,51	0,39	0,68	0,64

Таблица 6

Расчетные значения показателя Π_2 для холдинга Z

Холдинг	2009 г.	2010 г.	2011 г.	2012 г.	2013 г.	2014 г.
Z	1,11	0,73	1,70	1,93	1,01	1,41

С использованием данных показателей процесс оценки риска сведен к оценке конкретных фактических достигнутых показателей деятельности предприятий в холдинге. Показатели позволяют проследить динамику развития риска на предприятиях по годам. При помощи расчетных значений показателей предприятия распределяются по существующим зонам риска. Графическое изображение Π_1 и Π_2 представлено на рис. 2–3.

Рис. 4 отражает динамику развития показателей Π_1 и Π_2 на предприятиях железнодорожного холдинга Z , а на рис. 5 отражена динамика показателей

железнодорожного холдинга Z . При оценке риска в сетевой организационной структуре, нижняя граница оценки – это линия тренда показателя Π_1 , верхняя граница – линия тренда показателя Π_2 .

Поскольку оценка риска производится при помощи двух показателей, то существует возможность интенсификации риска: нагнетаем риск, пока не достигнем верхней границы.

Расчетное значение каждого из показателей отражает финансовое положение интегратора, всех хозяйствующих субъектов и холдинга в целом. На построенных по расчетным значениям

Рис. 2. Графическое изображение показателя Π_1

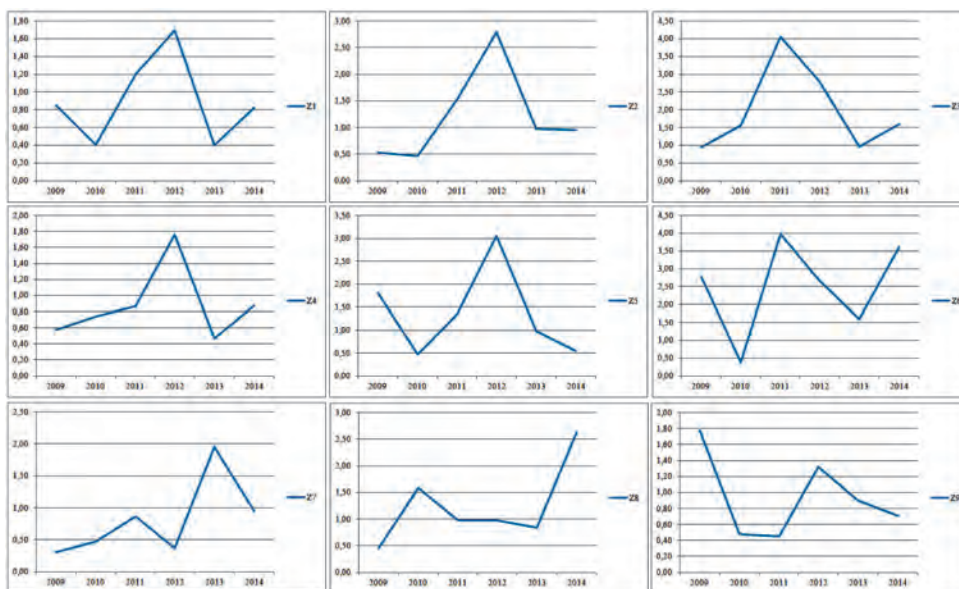


Рис. 3. Графическое изображение показателя P_2

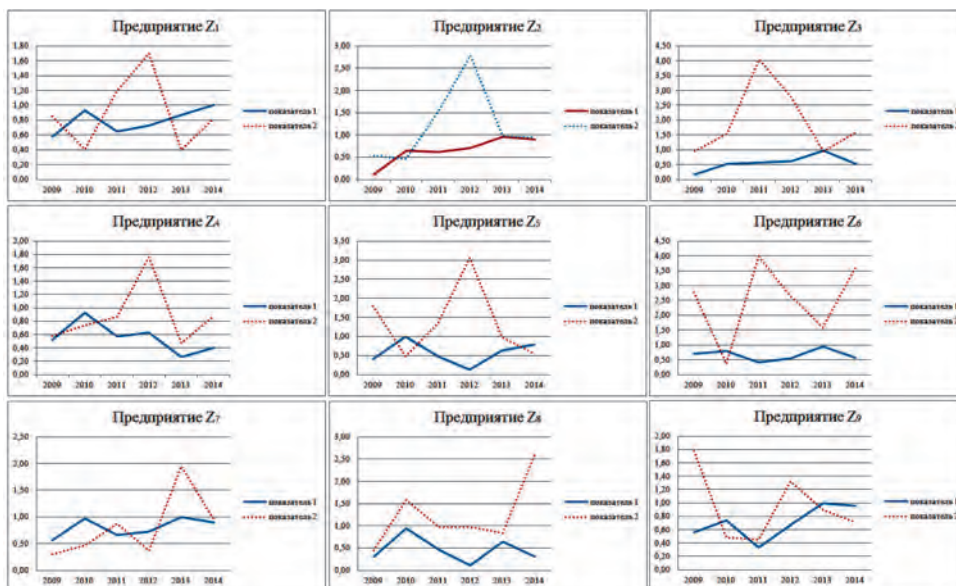


Рис. 4. Показатели P_1 и P_2 в железнодорожном холдинге Z

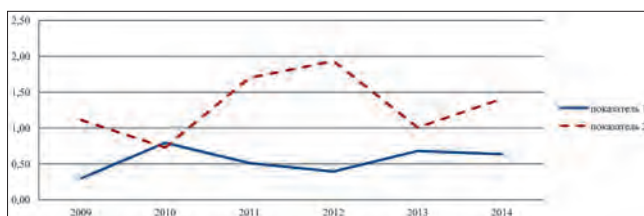


Рис. 5. Показатели P_1 и P_2 железнодорожного холдинга Z

графиках можно оценить не только развитие риска на предприятиях холдинга и по сети в целом, но и увидеть компенсацию риска одного показателя другим.

Для каждого хозяйствующего субъекта организационной сети Z , а также сети в целом, были определены показатели Π_1 и Π_2 и проанализирована динамика их изменения с 2009-го по 2014-й гг.

Следующий этап расчета – выработка некоторой интегральной оценки риска на примере организационной сети Z .

В качестве интегральной оценки риска примем безразмерный показатель $K_{\text{инт}}$, изменяющийся в интервале $[0;1]$. Назначение данного показателя – отслеживать динамику развития сети, вести мониторинг эффективности мероприятий по снижению экономических рисков субъектов и сети в целом.

Расчет $K_{\text{инт}}$ представим как сумму двух показателей, характеризующих риски:

$$K_{\text{инт}} = \alpha \cdot \Pi_1 + (1 - \alpha)(1 - \Pi_2), \quad (1)$$

где α – весовой коэффициент показателя Π_1 .

Аддитивная свертка показателей Π_1 и Π_2 является наиболее простым и эффективным способом их интеграции.

Весовой коэффициент позволяет подстраивать расчетную формулу согласно

задачам предприятия. В текущей работе показатель Π_2 принят основным, следовательно, и его вклад в $K_{\text{инт}}$ должен превышать вклад показателя Π_1 . Итак, $\alpha_1 = 0,6$, тогда $\beta = 1 - \alpha = 1 - 0,6 = 0,4$.

Идеальным является состояние сети, соответствующее $K_{\text{инт}} = 1$. Воспользуемся имеющейся классификацией зон риска и поделим интервал возможных значений $K_{\text{инт}}$ на четыре равные зоны по следующей схеме:

зона 1 $[0; 0,25]$ – зона катастрофического риска;

зона 2 $(0,25; 0,5]$ – зона критического риска;

зона 3 $(0,5; 0,75]$ – зона допустимого риска;

зона 4 $(0,75; 1)$ – зона минимального риска.

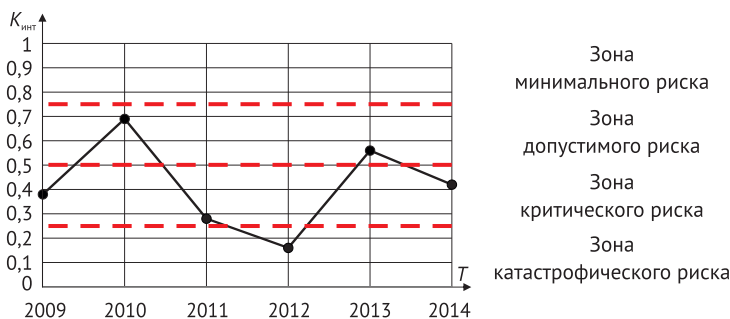
Таким образом, появляется возможность оценить динамику показателя $K_{\text{инт}}$ и в дальнейших исследованиях разрабатывать рекомендации применительно к каждой из выделенных зон.

Далее, на основании расчетных данных Π_1 и Π_2 , определим значения показателя $K_{\text{инт}}$ для организационной сети в 2009–2014 гг. Расчеты целесообразно провести с использованием программного комплекса Microsoft Excel. Результаты расчетов приведены в таблице 7. График изменения рисков по годам представлен на рис. 6.

Таблица 7

Рассчитанные значения интегрального показателя риска $K_{\text{инт}}$ по годам

Год	2009	2010	2011	2012	2013	2014
$K_{\text{инт}}$	0,38	0,69	0,28	0,16	0,56	0,42

Рис. 6. Динамика интегральной оценки риска в холдинге Z

Наилучшее состояние сети было достигнуто в 2010 г. ($K_{\text{инт}} = 0,69$), а наихудшее – в 2012 г. ($K_{\text{инт}} = 0,16$). Результаты анализа управленческих решений, приходящихся на эти годы, должны стать основой для разработки нового подхода к организации взаимодействия в сети холдинга, направленного на повышение эффективности и надежности ее работы и, как следствие, на выход в зону малого риска или безрисковую зону [5–8].

Определение интегральной оценки риска в сетевых организационных структурах может использоваться в двух направлениях обоснования управленческих решений:

– как инструмент стратегического управления риском, позволяющий контролировать достижение планируемого (оптимального) финансово-экономического состояния развития предприятий (основное назначение показателя);

– как инструмент точечной оценки риска банкротства предприятий по наиболее критичным факторам, выделенным для конкретного исследуемого предприятия.

С помощью предложенного подхода можно оценить развитие рисков в деятельности предприятий транспортной инфраструктуры. Использование ряда показателей и проведение между ними сравнительного анализа делает оценку более полной и объективной. Используются исключительно фактические данные, что устраняет фактор неопределённости. В результате проведенного исследования получены показатели, которые основываются на статистических данных с предприятий и в совокупности представляют комплексную характеристику состояния субъектов, что позволяет оперативно оценить риск и перспективу развития любого хозяйствующего субъекта сети или сетевой организационной структуры целиком. ■

Литература

1. Хайруллин В.А., Сайфуллина С.Ф. Оценка рисков в деятельности экономических систем с высоким фактором неопределённости // Наукоедение. № 4. 2013. С. 12–15. ISSN 1607-2979.
2. Ступаков В.С., Токаренко Г.С. Риск-менеджмент. – М. : Финансы и статистика, 2003. С. 15–17.
3. Сай В.М. Формирование организационных структур управления : научная монография. – М. : ВИНТИ РАН, 2002. – 437 с. ISBN S-9000242-307.
4. Сай В.М., Сизый С.В. Образование, функционирование и распад организационных сетей : монография. – Екатеринбург : Изд-во УрГУПС, 2011. – 270 с. ISBN 978-5-94614-199-4.

References

1. Khayrullin V.A., Sayfullina S.F. Otsenka riskov v deyatel'nosti ekonomicheskikh sistem s vysokim faktorom neopredelyonnosti [Risk assessment in economic system operation with a high factor of uncertainty] // Naukovedeniye. № 4. 2013. S. 12–15. ISSN 1607-2979.
2. Stupakov V.S., Tokarenko G.S. Risk-menedzhment. [Risk management] – M. : Finansy i statistika, 2003. S. 15–17.
3. Say V.M. Formirovaniye organizatsionnykh struktur upravleniya : nauchnaya monografiya. – [Formation of organizational management structures: a monograph.] M. : VINITI RAN, 2002. – 437 s. ISBN S-9000242-307.
4. Say V.M., Sizy S.V. Obrazovaniye, funktsionirovaniye i raspad organizatsionnykh setey : monografiya. [Development, operation and decomposition of institutional networks: a monograph.] – Ekaterinburg : Izd-vo UrGUPS, 2011. – 270 s. ISBN 978-5-94614-199-4.

Статья сдана в редакцию 20 мая 2015 года

УДК 61

Аль-Фарттуси Сами Атия Саид, Форгани Маджид Али

Регрессионная модель для соотношения возраста и уровня холестерина с кровяным давлением

UDC 61

Sami Atiyah Sayyid Al-Farttoosi, Majid Forghani

A Regression Model for The Relationship Between Age and Blood Cholesterol on Blood Pressure

Аннотация

Артериальное давление – очень важный показатель, потому что высокое кровяное давление указывает на высокий риск проблем со здоровьем. В этой статье мы исследуем взаимосвязь возраста человека и уровня холестерина в крови. Данные для этого исследования были собраны в Миссан-центре сердечной болезни и хирургии в Аламара (Ирак). Мы использовали программное обеспечение Matlab для моделирования. Линейный регрессионный анализ показал, что уровень холестерина в крови и возраст имеют непосредственное отношение к систолическому артериальному давлению.

Abstract

The blood pressure is important because the high blood pressure indicates higher risk of health problem in the future. In this paper, we investigate the relationship of age and blood cholesterol on blood pressure. The data for this research was collected by «Missan Center For Cardiac Disease & Surgery» in Alamara (in Iraq). We used Matlab software for simulation. The linear regression analyses showed that cholesterol and age are directly related to systolic blood pressure for collected data.

Keywords: the Blood Pressure; Systolic; Cholesterol; Diastolic; Multiple Regression Model; Missan region; Alamara city.

1. Introduction

The Blood pressure (BP) is the force of blood moving through arteries. When blood pressure is high, heart has to work harder. The BP is recorded as ratio of two numbers (Systolic/Diastolic). The systolic is measure of pressure in the arteries when the heart beats (when the heart contracts) and the diastolic is measure of pressure in the arteries between heart beats (when the heart is resting). The systolic is higher than diastolic. High blood pressure is known as the «silent killer» because it often has no symptoms. If not treated, high blood pressure raises chances of stroke, heart attack, kidney problems, eye problems and death [1, 2]. Raised blood pressure throughout its range is the most significant cause of death and disability in the world [3]. The normal BP is less than 120/80, even a small rise in either number increases risk for heart disease and stroke. The BP between 120/80 – 140/90 may lead to higher blood pressure and is called Prehypertension. High BP (hypertension) is 140/90 and higher. High BP has no symptoms and it is considered a silent condition [4]. BP is affected by medication, cardiovascular

Аль-Фарттуси Сами Атия Саид, магистрант кафедры алгебры и дискретной математики Института математики и компьютерных наук Уральского федерального университета имени первого президента России Б. Н. Ельцина. E-mail: sami.alfarttoosi@gmail.com.

Форгани Маджид Али, аспирант кафедры информатики и процессов управления Института математики и компьютерных наук Уральского федерального университета имени первого президента России Б. Н. Ельцина. E-mail: majid.forqani@urfu.ru.

Al-Farttusi Sami Atia Said, Graduate Student; Algebra and Discrete Mathematics Department, Institute of Mathematics and Computer Science of the Ural Federal University. E-mail: sami.alfarttoosi@gmail.com.

Forghani Majid Ali, Postgraduate Student; Department of Computer Science and Control Processes, Institute of Mathematics and Computer Science of the Ural Federal University. E-mail: majid.forqani@urfu.ru.

or urological disorders, neurological conditions and physiological factors such as stress and anger. Even diet and posture can play a role. Some researchers have been done on the association between dietary cholesterol and age on blood pressure (BP) [5–7]. The blood cholesterol is a fatty substance that occurs naturally in the body and which is necessary for hormone production, cell metabolism and other vital process. High blood cholesterol is one of the major risk factors for heart disease. When there is too much cholesterol (a fat-like substance) in your blood, it builds up in the walls of your arteries. Over time, this buildup causes «hardening of the arteries» so that arteries become narrowed and blood flow to the heart is slowed down or blocked and this affects on the BP directly [1]. As people get older, their cholesterol levels rise. It has been demonstrated by cross-sectional and most of the longitudinal studies that among adults, blood cholesterol concentration increases with age. There is a general consensus that the total cholesterol level rises as the body mass index rises [8]. The geographical region has effect on blood pressure and some articles consider this [9], the blood pressure means value might differ among different areas, due to such factors as climate and diet [10].

The main objective of this paper is find relationship between the cholesterol and age on the BP on data from Missan Center For Cardiac Disease & Surgery. We mention that data was collected for patient who has problem in heart. A multiple linear regression analysis is carried out to predict the values of dependent variable, blood pressure, given a set of explanatory variables, age and cholesterol blood. The methodology of estimation by linear forms and obtaining predictive value of test parameters for investigated process was discussed in details in [11, 12].

2. Theory

Multiple linear regression attempts to model the relationship between two or more explanatory variables and a response

variable by fitting a linear equation to observed data. Every value of the independent variable X_i is associated with a value of the dependent variable Y . The regression line for p explanatory variables X_1, X_2, \dots, X_p is defined to be

$$X = (X_1, X_2, \dots, X_p), \\ m_Y = \beta_0 + \beta_1 X_1 + \beta_2 X_2 + \dots + \beta_p X_p.$$

This line describes how the mean response μ_Y changes with the explanatory variables. The observed values for Y vary about their means μ_Y and are assumed to have the same standard deviation.

Since the observed values for Y vary about their means μ_Y , the multiple regression model includes a term for this variation. In words, the model is expressed as

$$\text{DATA} = \text{FIT} + \text{RESIDUAL},$$

where the «FIT» term represents the expression $\mu_Y = \beta_0 + \beta_1 X_1 + \beta_2 X_2 + \dots + \beta_p X_p$. The «RESIDUAL» term represents the deviations of the observed values from their means μ_Y [13].

Linear regression models are often fitted using the least squares approach, but they may also be fitted in other ways, such as by minimizing the «lack of fit» in some other norm (as with least absolute deviations regression), or by minimizing a penalized version of the least squares loss function as in ridge regression (L2 – norm penalty) and lasso (L1 – norm penalty).

Fundamentally the novelty in our work is to build a multi-parameter predictive model using the algorithm for computing the delay (lag) influence values of the initial data on the predicted value.

3. Simulation

Matlab software was employed for the estimation of parameters and calculation. As we mentioned, the data was collected for cardiovascular patients from Missan Center For Cardiac Disease & Surgery. We choose one patient for each week in 4 years randomly, then total number of patients are 192. We want to

check whether age and blood cholesterol have relation with Systolic Blood Pressure (SBP).

If we consider both of age and blood cholesterol as independent and the systolic blood pressure (SBP) as dependent variable, we have

Y = Systolic blood pressure (SBP).

X_1 = Age.

X_2 = Blood cholesterol.

β_0 = Intercept.

The regression model is:

$$Y \sim 102,37 + 0,5127X_1 + 0,59003X_2$$

The figure 1 shows these relation.

Testing of Parameter's Significance

In linear regression, the F -statistic is the test statistic for the analysis of variance (ANOVA) approach to test the significance of the model or the components in the model. The F -statistic in the linear model output display is the test statistic for testing the statistical significance of the model. We refer to table 1 and use F -statistic to find if the regression is significant or not. If regression is not significant, then Y (systolic blood pressure) is not dependent to the X_i , $i = 1, \dots, p$ (blood cholesterol and age).

Consider the hypotheses as:

$$H_0: \beta_1 = \beta_2 = \dots \beta_p = 0,$$

$$\text{Model: } Y_i = \beta_0 + \varepsilon_i.$$

$$H_1: \text{at least one of the } \beta_i \neq 0; i = 1, \dots, p.$$

$$\text{Model: } Y_i = \beta_0 + \beta_1 X_1 + \beta_2 X_2 + \dots + \beta_p X_p + \varepsilon_i.$$

$$\text{Test statistic } F = \frac{\text{MS}(\text{regression})}{\text{MS}(\text{residual})}.$$

If $F > F_{p, n-p, \alpha}$ then H_0 is rejected and we conclude that Y (systolic blood pressure) depends on X (age and blood cholesterol). Otherwise, H_1 is rejected and H_0 is accepted, this means that SBP does not depend on the X [7].

According to the table (1), F value is 43.05 with 2 and 189 degrees, that shows

the result is strongly significant indicating that they are jointly significant.

Next, we want to check whether if there is a linear relation between one of X_i 's and Y given the rest of the X_i variables. For example if age increases by one unit while all the other variables, blood cholesterol, remain constant the Y , SBP, will increase by 0.5127.

We check this with next hypothesis.

Hypothesis test about β_i :

$H_0: \beta_i = 0$. There is no linear relation between X_i and Y given the rest of X_i variables.

$H_0: \beta_i \neq 0$. There is a linear relation between X_i and Y given the rest of X_i variables.

$$\text{Test statistic } T = \frac{\hat{\beta}_i}{\text{std.Error}(\hat{\beta}_i)}.$$

We reject the H_0 if $T > t_{n-k, \alpha/2}$ or $T < -t_{n-k, \alpha/2}$. Otherwise we accept the null hypothesis.

Consider age variable then we have:

$H_0: \beta_i = 0$. No relationship between age and systolic blood pressure given blood cholesterol.

$H_0: \beta_i \neq 0$. Linear relationship between age and systolic blood pressure given blood cholesterol [7].

Observed from table (2) that $T = 8.3279$ and $P\text{value} = 1.6367e-14$. Then null hypothesis is rejected and we have linear relation between age and systolic blood pressure given blood cholesterol. Also if we repeat the hypothesis for blood cholesterol given age, we have $T = 1.1457$ and $P\text{value} = 0.25338$.

Then both of age and blood cholesterol individually have linear relation with systolic blood pressure.

4. Conclusion

Based on our results, We observe that age and blood cholesterol has significant relation on systolic blood pressure. We mention that the blood pressure is not dependent only to age and blood

cholesterol, but also to many other parameters such as climate and diet. This study was done for cardiovascular patients data and compare with similar study for high blood pressure patients [7], we found that blood pressure is dependent to blood cholesterol for cardiovascular

patients too. According to our result (fig.), we strongly suggest to every cardiovascular patient above the age 30 to check the blood pressure regularly. In future study, We will consider more variables to make more complex model. ■

Table 1

ANOVA

	SumSq	DF	MeanSq	F	pValue
Total	23070	191	120.79	—	—
Model	7220.9	2	3610.5	43.053	3.9157e-16
Residual	15850	189	83.86	—	—

Table 2

Coefficients

	Estimate	SE	tStat	pValue
(Intercept)	102.37	3.6481	28.061	2.5964e-69
X_1	0.5127	0.061564	8.3279	1.6367e-14
X_2	0.59003	0.51501	1.1457	0.25338

Tables 3

Variables and Model

Blood Pressure	Y
Age	X_1
Blood Cholesterol	X_2
Linear regression model	$\sim 1 \ Y \approx 1 + X_1 + X_2$

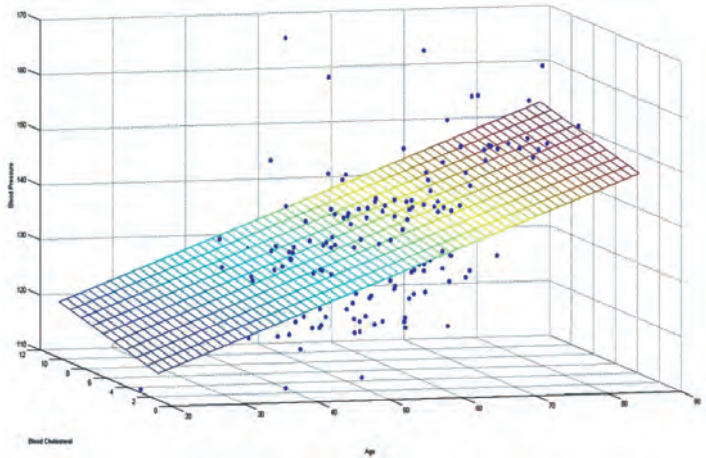


Fig.

References

1. NIH study: High blood pressure linked to steeper decline in walking speeds in seniors. URL : <http://www.nih.gov/news/health/mar2011/nhlbi-15.htm> (data accessed: 19.04.2015).
2. Mahmoud K. S., et al., Values of ambulatory blood pressure monitoring for prediction of cognitive function impairment in elderly hypertensive patients // *The Egyptian Heart Journal*. 2015. 67(1). Pp. 7–12. ISSN 1110-2608.
3. Lopez A. D. et al., Global and regional burden of disease and risk factors, 2001: systematic analysis of population health data // *The Lancet*. 367(9524). Pp. 1747–1757. ISSN 0140-6736.
4. Blood pressure and your health. URL: <http://www.ash-us.org/documents/bloodpressurehealthenglish.pdf> (data accessed: 20.04.2015).
5. Stamler J. et al., Relationship to Blood Pressure of Combinations of Dietary Macronutrients Findings of the Multiple Risk Factor Intervention Trial (MRFIT) // *Circulation*. 1996. № 94(10). Pp. 2417–2423. ISSN 1524-4539.
6. Stamler J. et al. Eight-year blood pressure change in middle-aged men relationship to multiple nutrients // *Hypertension*. 2002. № 39(5). Pp. 1000–1006. ISSN 1524-4563.
7. Ogunsakin R. et al. On Regression Analysis of The Relationship Between Age And Blood Cholesterol On Blood Pressure // *International Journal of Scientific & Technology Research*. 2012. 1(9). ISSN 2277-8616.
8. Gostynski M. et al. Analysis of the relationship between total cholesterol, age, body mass index among males and females in the WHO MONICA Project // *Int J Obes Relat Metab Disords*. 2004. № 28(8). Pp. 1082–1090. ISSN 0307-0565.
9. Wang Z. et al. Comparison of blood pressure levels among four age groups of Chinese children matched by height // *Journal of Human Hypertension*. 2012. № 26(7). Pp. 437–442. ISSN 0950-9240.
10. Das B., Mukherjee B. Variation in systolic and diastolic pressure with changes in age and weight // *Gerontology*. 1963. № 8(2–3). Pp. 92–104. ISSN 0304-324X.
11. Siziya S. V., Ostrovskaia E. V. Methods of Evaluation Enterprises Economic Attractiveness, Stability and Degree of Confidence // *Applied Mathematical Sciences*. 2014. № 8. Pp. № 61. Pp. 3027–3033. ISSN 1314-7552.
12. Сай М., Сизый С. В., Образование, функционирование и распад организационных сетей. Екатеринбург : Изд-во УрГУПС, 2011. 270 с. ISBN 978-5-94614-199-4.
13. Multiple Linear Regression URL: <http://www.stat.yale.edu/Courses/1997-98/101/linmult.htm> (data accessed: 20.04.2015).

References

1. NIH study: High blood pressure linked to steeper decline in walking speeds in seniors. URL : <http://www.nih.gov/news/health/mar2011/nhlbi-15.htm> (data accessed: 19.04.2015).
2. Mahmoud K. S., et al., Values of ambulatory blood pressure monitoring for prediction of cognitive function impairment in elderly hypertensive patients // *The Egyptian Heart Journal*. 2015. 67(1). Rp. 7–12. ISSN 1110-2608.
3. Lopez A. D. et al., Global and regional burden of disease and risk factors, 2001: systematic analysis of population health data // *The Lancet*. 367(9524). Rp. 1747–1757. ISSN 0140-6736.
4. Blood pressure and your health. URL: <http://www.ash-us.org/documents/bloodpressurehealthenglish.pdf> (data accessed: 20.04.2015).
5. Stamler J. et al., Relationship to Blood Pressure of Combinations of Dietary Macronutrients Findings of the Multiple Risk Factor Intervention Trial (MRFIT) // *Circulation*. 1996. № 94(10). Rp. 2417–2423. ISSN 1524-4539.
6. Stamler J. et al. Eight-year blood pressure change in middle-aged men relationship to multiple nutrients // *Hypertension*. 2002. № 39(5). Rp. 1000–1006. ISSN 1524-4563.
7. Ogunsakin R. et al. On Regression Analysis of The Relationship Between Age And Blood Cholesterol On Blood Pressure // *International Journal of Scientific & Technology Research*. 2012. № 1(9). ISSN 2277-8616.
8. Gostynski M. et al. Analysis of the relationship between total cholesterol, age, body mass index among males and females in the WHO MONICA Project // *Int J Obes Relat Metab Disords*. 2004. № 28(8). Rp. 1082–1090. ISSN 0307-0565.
9. Wang Z. et al. Comparison of blood pressure levels among four age groups of Chinese children matched by height//*Journal of Human Hypertension*. 2012. № 26(7). Rp. 437–442. ISSN 0950-9240.

10. Das B., Mukherjee B. Variation in systolic and diastolic pressure with changes in age and weight // Gerontology. 1963. № 8(2–3). Rp. 92–104. ISSN 0304-324X.
11. Sizy S.V., Ostrovskaya E. V. Methods of Evaluation Enterprises Economic Attractiveness, Stability and Degree of Confidence // Applied Mathematical Sciences. 2014. № 8. Rp. № 61. Rr. 3027–3033. ISSN 1314-7552.
12. Say M., Sizy S.V., Obrazovanie, funktsionirovanie i raspad organizatsionnykh setey. [Development, operation and disintegration of organizational networks.] Ekaterinburg : Izd-vo UrGUPS, 2011. 270 s. ISBN 978-5-94614-199-4.
13. Multiple Linear Regression URL: <http://www.stat.yale.edu/Courses/1997-98/101/linmult.htm> (data accessed: 20.04.2015).

Статья сдана в редакцию 13 апреля 2015 года

Публикуется в авторской редакции.

Уважаемые коллеги!

Информирую вас о требованиях, предъявляемых к оформлению статей.

При наборе используйте Word-2003 или Word-2007; шрифт (по всему тексту, в том числе в рисунках и таблицах) — тип Times, размер шрифта — 14, межстрочное расстояние — 1,5, абзацный отступ — 1,25 (1,27) см, поля — 2 см; расстановка переносов по всему тексту — автоматическая.

Набор формул: простые формулы и сочетания символов ($x^2 < y^2$; $E = mc^2$; $a^2 + b^2 = c^2$; Q_{i-1} ; ψ_j) — только в текстовом режиме, сложные

$$\left(s^2 = \frac{1}{n-1} \left[\sum_{j=1}^n x_j^2 n_j - \frac{1}{n} \left(\sum_{j=1}^n x_j n_j \right)^2 \right] \right); \left(\frac{\sigma_a}{[n]} \right)$$

или S_i^m) — только в редакторе формул

Equation или в MathType.

Написание букв: русские (а, б, в, А, Б, В), греческие (Θ, Σ, Ω, Ψ, α, β, δ, ε, λ, π), а также цифры и функции (1, 2, 3; I, II, III; max, lg, sin и т. п.) пишутся только прямо; латинские (*a, b, n, A, B, N* и т. д.) — только курсивом. Исключение — курсив во вспомогательном тексте (слова «Таблица» и «Рис.», примечания в рисунках и ссылки в тексте на эти примечания).

Оформление текста: левый верхний край — инициалы, фамилия; заголовков — все буквы ПРОПИСНЫЕ, жирные, расположение — по центру набора; таблиц и рисунков: в таблицах размер шрифта — на полтора-два размера меньше, чем в основном тексте (11,5–12), расположение текста в «шапке» таблицы — по центру, в столбцах — по ширине; межстрочное расстояние — 1; слово «Таблица» — курсивное начертание, в правый край таблицы; название таблицы — начертание нормальное (прямое), расположение — по центру таблицы. В рисунках (графиках, диаграммах): размер подрисуноч-

ной подписи — 14, расположение — по центру набора, слово «Рис.» — курсив, название рисунка — нормальное начертание, описание рисунка (экспликация) — нормальное начертание, условные обозначения — курсивное начертание, их расшифровка — нормальное. Расположение таблиц и рисунков — строго после ссылки на них.

Кроме того, рисунки обязательно прилагаются к материалу (один рисунок — один файл; формат — *.jpg).

Ссылки на литературу в тексте пишутся в квадратных скобках ([1], [1, 2] или [3–5]); нумерация сквозная. Список литературы/источников оформляется по ГОСТ 7.0.5–2008.

В конце статьи обязательно ставится дата отсыла материала в редакцию.

Объем статьи — не более 14-ти страниц.

Название файла: Фамилия. Первое слово заголовка. Многоточие. Последнее слово заголовка (Сидоров. Синтез... электроприводом).

К материалу (статье) обязательно прилагаются (отдельным файлом): УДК, сведения об авторе, аннотация, ключевые слова (название файла: УДК 000. Сидоров. Синтез... электроприводом).

Материалы для очередного номера журнала «Вестник УрГУПС» принимаются до 30 числа первого месяца квартала (до 30-го января, 30-го апреля, до 30-го июля, до 30-го октября). Материалы, поступившие в редакцию после 30-го числа, будут опубликованы только в следующем номере.

Успешной работы!

*Л. Барышникова,
литературный и выпускающий
редактор журнала «Вестник УрГУПС»*